



دانشگاه صنعتی شاهرود
دانشکده علوم ریاضی
گروه ریاضی کاربردی

حل رده ای از معادلات با مشتقات جزئی با استفاده از توابع B –
اسپلاین

اساتید راهنما

آقای دکتر احمد نزاکتی رضازاده
آقای دکتر علیرضا ناظمی

نگارش

مرضیه دوستی

پایان نامه جهت اخذ درجه کارشناسی ارشد

۲۶ شهریور ۱۳۹۰



مدیریت تحصیلات تکمیلی
فرم شماره (۶)

بسمه تعالی

شماره :
تاریخ :
ویرایش :

فرم صورتجلسه دفاع از پایان نامه تحصیلی دوره کارشناسی ارشد

با تأییدات خداوند متعال و با استعانت از حضرت ولی عصر (عج) ارزیابی جلسه دفاع از پایان نامه کارشناسی ارشد خانم مرضیه دوستی رشته ریاضی گرایش ریاضی کاربردی تحت عنوان: حل رده ای از معادلات دیفرانسیل با مشتقات جزئی با استفاده از توابع B - اسپلاین که در تاریخ ۹۰/۶/۲۶ با حضور هیأت محترم داوران در دانشگاه صنعتی شاهرود برگزار گردید به شرح ذیل اعلام می گردد:

قبول (با درجه : عالی - امتیاز ۲۰) دفاع مجدد مردود

- ۱- عالی (۲۰-۱۹) ۲- بسیار خوب (۹۹-۱۸/۱۸)
۳- خوب (۹۹-۱۷/۱۶) ۴- قابل قبول (۹۹-۱۵/۱۴)
۵- نمره کمتر از ۱۴ غیر قابل قبول

عضو هیأت داوران	نام و نام خانوادگی	مرتبه علمی	امضاء
۱- استاد راهنما	دکتر احمد نزاکتی	دانشیار	
	دکتر علیرضا ناظمی	استادیار	
۲- نماینده شورای تحصیلات تکمیلی	دکتر محمد آرشی	استادیار	
۴- استاد ممتحن	دکتر علی مس فروش	استادیار	
۵- استاد ممتحن	دکتر رضا پورقلی	استادیار	

رئیس دانشکده ریاضی
دانشگاه صنعتی شاهرود

بسمه تعالی
احتراماً

به استحضار می رساند که عنوان روی جلد صحیح می باشد

تقدیم به:

پدوم به خاطر تمام تلاش‌هایش، چون که توانش سختی را خسته کرده است

مادم طیه‌ای که برایم حرمت عشق و سرپرشته لطف و کرامت است

برادران و خواهرانم مشوقینم در تحصیل

قدردانی

سپاس و ثنا خاص درگاه احدیت است. خدای را شکر می‌کنم که به من توانایی عطا فرمود تا این مرحله از تحصیلاتم را با موفقیت به پایان برسانم. این مجال نیزگذشت و تجلی گاهش این چند سطر ایست که شاید بماند که تنها نوشتار است که وقتی حک می‌شود ابدی است.

ندای وجدان بر این است تا در مقام یک شاگرد، قدردانی نمایم از تمام کسانی که از ابتدای خلقتم رسالت آموزگاری مرا به عهده داشته‌اند. از مادر عزیزم که اولین معلم زندگی ام می‌باشد و همه معلمانم که تا به امروز اندیشه‌هایشان، درخت اندوخته‌هایم را بارور کرده‌اند. در این مورد خاص جا دارد از جناب آقای دکتر علیرضا ناظمی به پاس کوشش‌هایی که در فرهیختگی ام نمودند، مراتب سپاس خود را از ایشان داشته باشم. همچنین از زحمات و کمک‌های جناب آقای دکتر احمد نزاکتی رضازاده تشکر و قدرانی نمایم. از اساتید محترم جناب آقای دکتر علی مس فروش و جناب آقای دکتر رضا پورقلی که زحمت مطالعه و داوری پایان‌نامه را متقبل شده‌اند، کمال تشکر را دارم. همچنین از نماینده تحصیلات تکمیلی جناب آقای دکتر محمد آرشی صمیمانه تشکر می‌کنم.

از خانواده مهربانم که در طول تحصیل پشتیبان من بوده‌اند، سپاسگزاری نمایم. در پایان از دوستانی که در انجام این پایان‌نامه اینجانب را مورد تفقد قرار دادند نیز سپاسگزارم.

مرضیه دوستی

۲۶ شهریور ۱۳۹۰

تعهد نامه

اینجانب مرضیه دوستی دانشجوی دوره کارشناسی ارشد رشته ریاضی کاربردی دانشکده علوم دانشگاه صنعتی شاهرود نویسنده پایان نامه حل عددی رده ای از معادلات دیفرانسیل با مشتقات جزئی با استفاده از توابع B – اسپلاین تحت راهنمایی دکتر احمد نزاکتی و دکتر علی رضا ناظمی متعهد می شوم

- تحقیقات در این پایان نامه توسط اینجانب انجام شده است و از صحت و اصالت برخوردار است .
- در استفاده از نتایج پژوهشهای محققان دیگر به مرجع مورد استفاده استناد شده است .
- مطالب مندرج در پایان نامه تاکنون توسط خود یا فرد دیگری برای دریافت هیچ نوع مدرک یا امتیازی در هیچ جا ارائه نشده است .
- کلیه حقوق معنوی این اثر متعلق به دانشگاه صنعتی شاهرود می باشد و مقالات مستخرج با نام « دانشگاه صنعتی شاهرود » و یا « **Shahrood University of Technology** » به چاپ خواهد رسید .
- حقوق معنوی تمام افرادی که در به دست آمدن نتایج اصلی پایان نامه تأثیرگذار بوده اند در مقالات مستخرج از پایان نامه رعایت می گردد.
- در کلیه مراحل انجام این پایان نامه ، در مواردی که از موجود زنده (یا بافتهای آنها) استفاده شده است ضوابط و اصول اخلاقی رعایت شده است .
- در کلیه مراحل انجام این پایان نامه، در مواردی که به حوزه اطلاعات شخصی افراد دسترسی یافته یا استفاده شده است اصل رازداری ، ضوابط و اصول اخلاق انسانی رعایت شده است .

تاریخ ۱۳۹۰/۰۶/۲۶

امضای دانشجو

مالکیت نتایج و حق نشر

- کلیه حقوق معنوی این اثر و محصولات آن (مقالات مستخرج ، کتاب ، برنامه های رایانه ای ، نرم افزار ها و تجهیزات ساخته شده است) متعلق به دانشگاه صنعتی شاهرود می باشد . این مطلب باید به نحو مقتضی در تولیدات علمی مربوطه ذکر شود .
- استفاده از اطلاعات و نتایج موجود در پایان نامه بدون ذکر مرجع مجاز نمی باشد.

* متن این صفحه نیز باید در ابتدای نسخه های تکثیر شده پایان نامه وجود داشته باشد .

چکیده

در این پایان نامه معادلات دیفرانسیل با مشتقات جزئی با استفاده از توابع B - اسپلاین همراه با شرایط اولیه و شرایط مرزی می پردازیم. در ابتدا به معرفی معادلات دیفرانسیل با مشتقات جزئی و توابع B - اسپلاین می پردازیم. سپس روش کالوکیشن با استفاده از تابع B - اسپلاین مرتبه ۴ برای حل عددی معادله برگرز شرح داده شده است. در ادامه معادله برگرز را با B - اسپلاین مرتبه هفت و روش کالوکیشن حل شده است. در فصل ۳ و ۴ یک روش عددی بر اساس توابع B - اسپلاین و روش کالوکیشن برای حل معادله تلگراف هذلولوی خطی مرتبه دوم استفاده می کنیم. در فصل ۵ معادله تلگراف توسط روش شبه درونیاب B - اسپلاین مکعبی بصورت عددی حل خواهد شد. در پایان طرح کالوکیشن B - اسپلاین مرتبه چهار برای یافتن جواب عددی معادله غیر خطی فرنبرگ - وایتهم بکار می بریم. در انتهای هر فصل کارایی طرح مذکور توسط چند مثال نشان داده می شود. تمام محاسبات انجام شده و همچنین رسم نمودارها در سرتاسر رساله با توجه به نرم افزار مطلب ۷ صورت گرفته است.

واژه های کلیدی: B - اسپلاین، معادله تلگراف، معادله فورنبرگ - وایتهم، روش کالوکیشن، پایداری

لیست مقالات مستخرج از پایان نامه

1. Solving one-dimensional hyperbolic telegraph equation using cubic B - spline quasi - interpolation, Marzieh Dosti and Alireza Nazemi, International Journal of Mathematical and Computer Sciences 7:2, 57-62, 2011.
2. Septic B - spline collocation method for solving one - dimensional hyperbolic telegraph equation, Marzieh Dosti and Alireza Nazemi, World Academy of Science, Engineering and Technology 80: 1085- 1089, 2011.
3. A numerical solution of the telegraph equation using Quartic B- spline, The 4th Mathematics Annual National Conference of PNU Payam Noor University, Ardabil, Iran, sep 25-26, 2011.

فهرست مطالب

لیست جداول ذ

لیست تصاویر ز

۱	مقدمه و مفاهیم اولیه	۱
۲ مقدمه	۱.۱
۲ معادله دیفرانسیل با مشتقات جزئی	۲.۱
۶ انواع معادلات دیفرانسیل با مشتقات جزئی	۳.۱
۶ ۱.۳.۱ معادلات دیفرانسیل با مشتقات جزئی مرتبه اول	
۷ ۲.۳.۱ معادلات دیفرانسیل با مشتقات جزئی مرتبه دوم	
۹ جواب عددی و جواب تحلیلی	۴.۱
۱۰ B - اسپلاین ها	۵.۱
۱۰ ۱.۵.۱ نظریه اساسی	
۱۱ ۲.۵.۱ B - اسپلاین درجه صفر	
۱۴ ۳.۵.۱ B - اسپلاین درجه یک	
۱۵ ۴.۵.۱ خواص B - اسپلاین	
۱۷ ۵.۵.۱ مشتق و انتگرال B - اسپلاین	
۱۹ B - اسپلاین های مراتب بالاتر	۶.۱
۲۲ ۱.۶.۱ نرم ها	

۲۶	حل معادله برگرز به کمک توابع B - اسپلاین	۲
۲۷ مقدمه	۱.۲
۲۷ معرفی معادله	۲.۲
۲۸ روش کالوکیشن B - اسپلاین مرتبه ۴ (QBCM۱)	۳.۲
۳۲ روش دوم کالوکیشن B - اسپلاین مرتبه چهار (QBCN۲)	۴.۲

۳۵	مثال های عددی	۵.۲
۴۱	روش کالوکیشن B - اسپلاین مرتبه ۷	۶.۲
۴۷	آنالیز پایداری	۷.۲
۵۰	نتایج عددی	۸.۲
۵۶	حل معادله تلگراف با استفاده از B - اسپلاین مرتبه ۴	۳
۵۷	مقدمه	۱.۳
۵۷	معرفی معادله	۲.۳
۵۹	روش کالوکیشن B - اسپلاین مرتبه ۴	۳.۳
۶۴	نتایج عددی	۱.۳.۳
۷۱	حل عددی معادله تلگراف با استفاده از B - اسپلاین های مرتبه ۷	۴
۷۲	مقدمه	۱.۴
۷۲	آشنایی با معادله	۲.۴
۷۳	B - اسپلاین مرتبه ۷ و روش کالوکیشن	۳.۴
۷۹	مثال های عددی	۴.۴
۸۳	حل معادله تلگراف به روش شبه درونیاب با B - اسپلاین مکعبی	۵
۸۴	مقدمه	۱.۵
۸۴	معرفی معادله	۲.۵
۸۶	طرح عددی شبه درونیابی B - اسپلاین یک متغییره	۳.۵
۹۰	طرح عددی با استفاده از شبه درونیاب B - اسپلاین مکعبی	۴.۵
۹۱	مثال های عددی	۵.۵
۹۹	حل عددی معادله فرنبرگ - وایتهام	۶
۱۰۰	مقدمه	۱.۶
۱۰۰	معرفی معادله	۲.۶
۱۰۱	روش کالوکیشن B - اسپلاین مرتبه ۴	۳.۶
۱۰۴	آنالیز پایداری	۴.۶
۱۰۵	مثال عددی	۵.۶
۱۰۸	نتایج و پیشنهاداتی برای کارهای آینده	
۱۱۰	مراجع	

لیست جداول

۱۹ مقادیر B_i و B'_i	۱.۱
۲۰ مقادیر B_i و B'_i و B''_i	۲.۱
۲۱ مقادیر Q_i ، Q'_i ، Q''_i ، Q'''_i	۳.۱
۲۱ مقادیر B_i ، B'_i ، B''_i ، B'''_i	۴.۱
۲۲ مقادیر Q_i ، Q'_i ، Q''_i ، Q'''_i	۵.۱
۲۲ مقادیر ϕ_m ، ϕ'_m ، ϕ''_m ، ϕ'''_m	۶.۱
۳۷ مقایسه نتایج در زمان های متفاوت برای $\Delta t = 0.01$	۱.۲
 مقایسه نتایج در زمان $t = 0.5$ برای $v = 0.01$ به ازای $h = 1/36$ و $\Delta t = 0.01$	۲.۲
۳۸ مقایسه خطای نرم L_∞ جواب های عددی	۳.۲
۴۱ نتایج در $t = 0.1$ برای $v = 1$ ، نرم $ e _1$	۴.۲
۴۲ مقادیر ϕ_m ، ϕ'_m ، ϕ''_m و ϕ'''_m	۵.۲
۵۱ نرم خطای L_2 و L_∞ در $\Delta x = 0.005$ ، $\Delta t = 0.01$ و $v = 0.0015$	۶.۲
۵۱ نرم خطای L_2 و L_∞ در $\Delta x = 0.02$ ، $\Delta t = 0.01$ و $v = 0.01$	۷.۲
۵۱ نرم خطای L_2 و L_∞ در $\Delta x = 0.02$ ، $\Delta t = 0.01$ و $v = 0.01$	۸.۲
۵۴ نرم خطای L_2 و L_∞ در $\Delta x = 0.05$ ، $\Delta t = 0.01$ و $v = 0.001$	۹.۲
۵۴ نرم خطای L_2 و L_∞ در $\Delta x = 0.02$ ، $\Delta t = 0.01$ و $v = 0.01$	۱۰.۲
۶۰ مقادیر Q_i ، Q'_i ، Q''_i ، Q'''_i	۱.۳
 نتایج خطای میانگین و خطای ماکزیمم در $\Delta t = 0.001$ و $\Delta x = 0.0005$ در مثال (۱.۳.۳)	۲.۳
۶۵ نتایج خطای میانگین و خطای ماکزیمم در $\Delta t = 0.0001$ و $\Delta x = 0.0005$ در مثال (۲.۳.۳)	۳.۳
۶۷ نتایج خطای میانگین و خطای ماکزیمم در $\Delta t = 0.01$ و $\Delta x = 0.0005$ در مثال (۳.۳.۳)	۴.۳
۶۷ نتایج خطای میانگین و خطای ماکزیمم در $\Delta t = 0.001$ و $\Delta x = 0.0005$ در مثال (۴.۳.۳)	۵.۳

۷۴ مقادیر $\phi_m, \phi'_m, \phi''_m, \phi'''_m$	۱.۴
	نتایج خطای میانگین مربع و خطای ماکزیمم به ازای $\Delta t = 0.001$ و	۲.۴
۸۱ در مثال (۱.۴.۴) $\Delta x = 0.005$	
	نتایج خطای میانگین مربع و خطای ماکزیمم به ازای $\Delta t = 0.001$ و	۳.۴
۸۱ در مثال (۲.۴.۴) $\Delta x = 0.01$	
	نتایج خطای میانگین مربع و خطای ماکزیمم با $\Delta t = 0.001$ و $\Delta x =$	۱.۵
۹۴ در مثال (۱.۵.۵)	
	نتایج خطای میانگین مربع و خطای ماکزیمم با $\Delta t = 0.001$ و $\Delta x =$	۲.۵
۹۵ در مثال (۲.۵.۵)	
	نتایج خطای میانگین مربع و خطای ماکزیمم با $\Delta t = 0.0005$ و	۳.۵
۹۶ در مثال (۳.۵.۵) $\Delta x = 0.002$	
	نتایج نرم خطای ماکزیمم و خطای میانگین مربع در $\Delta t = 0.001$ و	۱.۶
۱۰۶ $\Delta x = 0.005$	

لیست تصاویر

۱۳ B_i - اسپلین B_i	۱.۱
۱۴ B_i^1 - اسپلین B_i^1	۲.۱
۳۶ $h = 0.005, \Delta t = 0.01$	۱.۲
۳۸ خطا (جواب تحلیلی - تقریبی) برای $v = 0.0005$ در $t = 3/1$	۲.۲
۳۹ $v = 0.01, h = 1/36, \Delta t = 0.01$	۳.۲
۳۹ خطا (جواب تحلیلی - تقریبی) در زمان $t = 0.5$	۴.۲
۴۰ $h = 0.05, \Delta t = 0.01, v = 1$	۵.۲
۴۱ $h = \Delta t = 0.025, v = 0.1$	۶.۲
	ارتباط بین جواب عددی و فاصله در $\Delta t = 0.01, \Delta x = 0.005$ و	۷.۲
۵۲ $v = 0.0015$	
	ارتباط بین جواب عددی و فاصله در $\Delta t = 0.01, \Delta x = 0.02$ و	۸.۲
۵۲ $v = 0.005$	
	ارتباط بین جواب عددی و فاصله در $\Delta t = 0.01, \Delta x = 0.02$ و	۹.۲
۵۳ $v = 0.01$	
	ارتباط بین جواب عددی و فاصله در $\Delta t = 0.01, \Delta x = 0.005$ و	۱۰.۲
۵۵ $v = 0.001$	
	ارتباط بین جواب عددی و فاصله در $\Delta t = 0.01, \Delta x = 0.02$ و	۱۱.۲
۵۵ $v = 0.01$	
۶۴ نمودار سه بعدی جواب تقریبی در مثال ۱.۳.۲	۱.۳
	نمودار مقایسه جواب تقریبی و تحلیلی به ازای t های مختلف در مثال	۲.۳
۶۵ (۱.۳.۳)	
۶۶ نمودار سه بعدی جواب تقریبی در مثال (۲.۳.۳)	۳.۳
	نمودار مقایسه جواب تقریبی و تحلیلی به ازای t های مختلف در مثال	۴.۳
۶۶ (۲.۳.۳)	
۶۸ نمودار سه بعدی جواب تقریبی در مثال (۳.۳.۳)	۵.۳
۶۹ نمودار مقایسه جواب تقریبی و تحلیلی به ازای t های مختلف (۳.۳.۳)	۶.۳

۶۹	نمودار سه بعدی جواب تقریبی در مثال (۴.۳.۳)	۷.۳
	نمودار مقایسه جواب تقریبی و تحلیلی به ازای t های مختلف در مثال (۴.۳.۳)	۸.۳
۷۰		
۷۹	نمودار سه بعدی جواب تقریبی مثال (۱.۴.۴)	۱.۴
	مقایسه جواب تحلیلی و جواب تقریبی مثال (۱.۴.۴) در زمان های مختلف	۲.۴
۸۰		
۸۱	نمودار سه بعدی جواب تقریبی مثال (۲.۴.۴)	۳.۴
	مقایسه جواب تحلیلی و جواب تقریبی مثال (۲.۴.۴) در زمان های مختلف	۴.۴
۸۲		
۹۲	نمودار سه بعدی جواب تقریبی در مثال (۱.۵.۵)	۱.۵
	نمودار مقایسه جواب تحلیلی و جواب تقریبی به ازای $t = 0/2, t = 0/4, t = 0/6, t = 0/8, t = 1$	۲.۵
۹۳		
۹۳	خطای مطلق جواب تحلیلی و جواب تقریبی در مثال (۱.۵.۵)	۳.۵
۹۴	نمودار سه بعدی جواب تقریبی در مثال (۲.۵.۵)	۴.۵
	نمودار مقایسه جواب تحلیلی و جواب تقریبی در $t = 0/4, t = 0/8, t = 1$	۵.۵
۹۵		
۹۶	خطای مطلق جواب تحلیلی و جواب تقریبی در مثال (۲.۵.۵)	۶.۵
۹۷	نمودار سه بعدی جواب تقریبی در مثال (۳.۵.۵)	۷.۵
	نمودار مقایسه جواب تحلیلی و جواب تقریبی به ازای $t = 0/2, t = 0/4, t = 0/6, t = 0/8, t = 1$	۸.۵
۹۷		
۹۸	خطای مطلق جواب تحلیلی و جواب تقریبی در مثال (۳.۵.۵)	۹.۵
۱۰۵	نمودار سه بعدی جواب تقریبی	۱.۶
	مقایسه جواب تحلیلی و جواب تقریبی در زمان های $t = 0/6, t = 1/2, t = 2/4, t = 3/4, t = 1$	۲.۶
۱۰۶		
۱۰۷	خطای مطلق بین جواب تحلیلی و جواب تقریبی	۳.۶

فصل ۱

مقدمه و مفاهیم اولیه

۱.۱ مقدمه

اکثر پدیده های فیزیکی، چه در دینامیک سیالات، الکتریسیته، مغناطیس، کوانتوم و ... با معادلات دیفرانسیل با مشتقات جزئی^۱ توصیف می شوند؛ در واقع اکثر مطالب ریاضی فیزیک بصورت معادلات دیفرانسیل با مشتقات جزئی مدلسازی می شوند. در این فصل ما ابتدا خلاصه ای از معادلات دیفرانسیل با مشتقات جزئی که چه هستند، چرا مفیدند، و چگونه حل می شوند و همچنین بحث کوتاهی از طرز رده بندی انواع مختلف آنها بیان می کنیم، سپس به بیان تعاریف اولیه و قضایای مربوط به B-اسپلاین ها^۲ می پردازیم. در انتها به تعاریف و قضایای مورد نیاز در فصل های بعدی اشاره خواهیم کرد.

۲.۱ معادله دیفرانسیل با مشتقات جزئی

یک معادله دیفرانسیل با مشتقات جزئی معادله ای با مشتقات پاره ای است. تفاوت آن با معادله دیفرانسیل معمولی^۳ که در آنها تابع مجهول فقط به یک متغیر بستگی دارد، در این است که در این معادلات تابع مجهول به چندین متغیر بستگی دارد.

برای تسهیل در نمادگذاری قرار داده ایم:

$$u_t = \frac{\partial u}{\partial t}, \quad u_x = \frac{\partial u}{\partial x}, \quad u_{xx} = \frac{\partial^2 u}{\partial x^2}.$$

حال چند معادله دیفرانسیل با مشتقات جزئی معروف بیان می کنیم.

$$u_t = u_{xx},$$

معادله گرما^۴

^۱Partial Differential Equation

^۲B-Splines

^۳Ordinary Differential Equation

^۴Heat Equation

$$u_{tt} = u_{xx},$$

معادله موج^۵

$$u_{xx} + u_{yy} = 0,$$

معادله لاپلاس^۶

اکثر قوانین فیزیک، نظیر معادلات ماکسول^۷، قانون تبرید نیوتن^۸، معادلات ناویه^۹ - استوکس^{۱۰} و معادله شرودینگر^{۱۱} در مکانیک کوانتوم بر حسب معادلات دیفرانسیل با مشتقات جزئی بیان شده اند (یا قابل بیانند)؛ یعنی این قوانین پدیده ای فیزیکی را به وسیله ارتباط فضا و مشتقات نسبت به زمان توضیح می دهند. وجود مشتق ها در این معادلات بدان خاطر است که مشتق ها چیز های طبیعی (مانند سرعت، شتاب، نیرو، شار و شدت جریان) را نمایش می دهند. از اینرو معادلاتی داریم که مشتقات جزئی کمی مجهولی را که می خواهیم بیابیم به هم ارتباط می دهند.

هدف ما این است که چطور معادلات دیفرانسیل با مشتقات جزئی را همراه با شرایط اولیه و مرزی را حل نماییم.

سوالی که برای ما پیش می آید این است که معادلات دیفرانسیل با مشتقات جزئی را چطور حل کنیم؟

روش های زیادی برای این کار وجود دارند مهمترین آنها روش هایی هستند که معادلات دیفرانسیل با مشتقات جزئی را به معادلات دیفرانسیل معمولی تغییر دهند. ده تکنیک مفید عبارتند از

^۵Wave Equation

^۶Laplace's Equation

^۷Maxwell

^۸Newton

^۹Navier

^{۱۰}Stokes

^{۱۱}Schrodinger

۱. جداسازی متغیرها^{۱۲}: این تکنیک یک معادله دیفرانسیل با مشتقات جزئی با n متغیر را به m معادله دیفرانسیل معمولی تحویل می‌کند.

۲. تبدیل‌های انتگرال^{۱۳}: این روند یک معادله دیفرانسیل با مشتقات جزئی با n متغیر مستقل را به یک معادله با دیفرانسیل با مشتقات جزئی با $n - 1$ متغیر تحویل می‌کند.

۳. تغییر مختصات^{۱۴}: این روش با تغییر مختصات مسئله (دوران محور یا کارهای از این قبیل) معادله دیفرانسیل با مشتقات جزئی را به یک معادله دیفرانسیل معمولی یا معادله مشتقات جزئی دیگر (آسانتر) تغییر می‌دهد.

۴. تبدیل متغیر وابسته^{۱۵}: این روش مجهول یک معادله دیفرانسیل با مشتقات جزئی را به یک مجهول جدید که آسانتر به دست می‌آیند تبدیل می‌کند.

۵. روش‌های عددی^{۱۶}: این روش یک معادله دیفرانسیل با مشتقات جزئی را به یک دستگاه معادلات تفاضلی که بشود آن را با تکنیک‌های مکرر در کامپیوتر حل کرد تغییر می‌دهند. در بسیاری حالات، این تنها تکنیکی است که کار می‌کند. علاوه بر روش‌های جایگزینی معادله دیفرانسیل با مشتقات جزئی با معادلات تفاضلی، روش‌های دیگری نیز هستند که جواب‌ها را با سطوح چندجمله‌ای تقریب می‌کنند (تقریب‌های اسپلاین). امروزه بیشترین روش‌های مورد استفاده روش‌های المان

^{۱۲}Separation of Variables

^{۱۳}Integral Transforms

^{۱۴}Change of Coordinates

^{۱۵}Transformation of the Dependent Variable

^{۱۶}Numerical Methods

محدود^{۱۷}، روش تفاضلات متناهی^{۱۸}، روش عناصر مرزی^{۱۹}، روش آدومین^{۲۰}، روش تکرار وردشی^{۲۱}، روش حجم محدود^{۲۲} و روش هموتویی^{۲۳} می باشد.

۶. روش اختلال^{۲۴}: این روش یک مسئله غیرخطی را به یک رشته مسائل خطی که مسئله غیرخطی را تقریب می کنند تغییر می دهد.

۷. تکنیک پاسخ - ضربه ای^{۲۵}: این روند شرایط اولیه و مرزی مسئله را به ضربه های ساده تجزیه کرده و پاسخ مربوط به هر ضربه را پیدا می کند. سپس پاسخ کل با افزودن این پاسخ های ساده به دست می آیند.

۸. معادلات انتگرال^{۲۶}: این تکنیک یک معادله دیفرانسیل با مشتقات جزئی را به یک معادله انتگرال تغییر می دهد سپس معادله انتگرال با تکنیک های مختلف حل می شود.

۹. روش های حساب تغییرات^{۲۷}: این روش ها جواب معادله دیفرانسیل با مشتقات جزئی را با تنظیم مجدد معادله به صورت یک مسئله مینیمم سازی می یابند.

^{۱۷}Finit Element Differential

^{۱۸}Boundary Element Method

^{۱۹}Finite Difference Method

^{۲۰}Adomian method

^{۲۱}Variational Iteration Method

^{۲۲}Finite Volume Method

^{۲۳}Homotopy Perturbation Method

^{۲۴}Perturbation Methods

^{۲۵}Impulser- Response Technique

^{۲۶}Integral Equations

^{۲۷}Calculus of Variations Methods

۱۰. بسط تابع ویژه ای^{۲۸}: این روش جواب یک معادله با مشتقات جزئی را به صورت یک مجموع نامتناهی از توابع ویژه می یابد. این توابع ویژه با حل آنچه به عنوان یک مسئله مقدار ویژه نظیر مسئله اصلی معروف است به دست می آیند.

برای جزئیات بیشتر میتوان به [۱] مراجعه کرد.

۳.۱ انواع معادلات دیفرانسیل با مشتقات جزئی

معادله دیفرانسیل با مشتقات جزئی بر اساس معیارهای مختلفی رده بندی می شوند. رده بندی مفهوم مهمی است زیرا نظریه عمومی و روش های حل معمولاً فقط بر یک رده از معادلات داده شده اعمال می شود.

فرم کلی معادلات دیفرانسیل با مشتقات جزئی به صورت زیر است

$$G(u, u_x, u_{xx}, \dots, u_x^{(n)}, u_t, u_{tt}, \dots, u_t^{(m)}, u_{xt}, \dots) = 0, \quad (1.1)$$

که در آن $u(x, t)$ تابعی وابسته به x و t می باشد.

تعریف ۱.۳.۱. مرتبه یک معادله دیفرانسیل با مشتقات جزئی، مرتبه بالاترین مشتق جزئی است.

۱.۳.۱ معادلات دیفرانسیل با مشتقات جزئی مرتبه اول

فرض کنید u تابعی از دو متغیر مستقل x و t باشد. کلی ترین معادله دیفرانسیل با مشتقات جزئی مرتبه اول با دو متغیر مستقل به صورت زیر است

$$G(x, t, u, u_x, u_t) = 0,$$

^{۲۸}Eigenfunction Expansion

معادله مرتبه اول را به صورت های زیر رده بندی می کنیم. هر معادله مرتبه اول به صورت کلی زیر

$$P(x, t, u)u_x + Q(x, t, u)u_t = R(x, t, u), \quad (۲.۱)$$

اگر توابع P و Q و R در حالت کلی به x ، t و u بستگی داشته باشد، شبه خطی^{۲۹} گوییم. توجه داشته باشید رابطه (۲.۱) نسبت به مشتقات u_x و u_t خطی^{۳۰} است. و هر معادله به صورت کلی

$$P(x, t)u_x + Q(x, t)u_t = H(x, t, u), \quad (۳.۱)$$

اگر P و Q به u بستگی نداشته باشد یک معادله نیمه خطی^{۳۱} نامیده می شود. و بالاخره معادله کلی

$$P(x, t)u_x + Q(x, t)u_t + C(x, t)u = D(x, t, u), \quad (۴.۱)$$

را یک معادله مرتبه اول خطی می نامیم، طرف چپ نسبت به متغیرهای u_x ، u_t و u یک عبارت خطی است. هر معادله مرتبه اول که به صورت های فوق نباشد، غیرخطی^{۳۲} نامیده می شود.

۲.۳.۱ معادلات دیفرانسیل با مشتقات جزئی مرتبه دوم

فرض کنید u تابعی از دو متغیر مستقل x و t باشد. یک معادله دیفرانسیل با مشتقات جزئی مرتبه دوم رابطه ای است بین متغیرهای x ، t ، u و مشتقات جزئی مرتبه اول و مرتبه

^{۲۹}Quasi-linear

^{۳۰}Linear

^{۳۱}Half-Linear

^{۳۲}Non-Linear

دوم u نسبت x و t یعنی

$$G(x, t, u, u_x, u_t, u_{xx}, u_{xt}, u_{tt}) = 0, \quad (5.1)$$

در حالت خاص یک معادله مرتبه دوم بصورت

$$Au_{xx} + 2Bu_{xy} + Cu_{tt} = F, \quad (6.1)$$

که در آن ضرایب A, B, C و F هر یک تابعی هستند از پنج متغیر x, t, u, u_x و u_t تقریباً خطی یا نیمه خطی گفته می شود زیرا این معادله نسبت به مشتقات مرتبه دوم خطی است. اگر در رابطه (۶.۱) ضرایب A, B, C تابعی فقط از x, t و F تابعی خطی از u, u_x و

u_t یعنی

$$F = a(x, t)u + b(x, t)u_x + c(x, t)u_t,$$

آنگاه (۶.۱) را خطی می نامیم. پس صورت کلی یک معادله مرتبه دوم خطی

$$Au_{xx} + 2Bu_{xt} + Cu_{tt} + Du_x + Eu_t + Hu = 0, \quad (7.1)$$

که ضرایب A, B, C, D, E, H هر یک تابعی فقط از x و t هستند.

معادلات خطی مرتبه دوم نیمه خطی به صورت (۶.۱) یا خطی به صورت (۷.۱) را به

شکل زیر دسته بندی می کنیم.

الف) اگر $B^2 - AC > 0$ ، در مجموعه ای از نقاط xt ، معادله را هذلولوی^{۳۳} می نامیم.

ب) اگر $B^2 - AC = 0$ ، در مجموعه ای از نقاط xt ، معادله را سهموی^{۳۴} می نامیم.

ج) اگر $B^2 - AC < 0$ ، در مجموعه ای از نقاط xt ، معادله را بیضوی^{۳۵} می نامیم.

^{۳۳}Hyperbolic

^{۳۴}Parabolic

^{۳۵}Elliptic

۴.۱ جواب عددی و جواب تحلیلی

تعریف ۱.۴.۱. جوابهای تحلیلی^{۳۶} جواب هایی هستند که در آنها متغیر مجهول u به صورت عبارتی ریاضی بر حسب متغیرهای مستقل و پارامترهای دستگاه که معمولاً سری نامتناهی یا انتگرال اند داده شده است.

تعریف ۲.۴.۱. جواب عددی^{۳۷} یعنی یافتن جواب معادله دیفرانسیل با مشتقات جزئی به وسیله تعویض معادله دیفرانسیل با یک معادله تقریبی و حل معادله آسانتر.

نتیجه معمولاً جدولی از اعداد است که جواب u را به ازای مقادیر مختلفی از متغیرهای مستقل لیست می کند.

مزایای جواب تحلیلی

۱. اگر جواب تحلیلی به صورت سری باشد برای بدست آوردن نقطه مشخص (x, t) ، به آسانی می توان برای خطا کران بالایی یافت.

۲. جواب تحلیلی اجازه یافتن جواب را در تنها نقطه (x, t) بدون انجام تمام فرایند مارش برای یافتن جواب در سایر نقاط، به ما می دهد.

۳. جواب تحلیلی یافتن جواب را نه تنها در نقاط شبکه بلکه در هر نقطه مجاز می سازد.

۴. مهمتر از همه موارد بالا شاید این باشد که جواب تحلیلی نحوه تاثیر پارامترهای فیزیکی و شرایط اولیه و مرزی را بر جواب بازگو می کند.

جواب های عددی این روابط را آشکار نمی کند، زیرا ما جواب عددی را به ازای پارامترها و شرایط اولیه و مرزی خاصی پیدا می کنیم. در بسیاری از حالات، دانستن رابطه بین

^{۳۶}Analytic Solutions

^{۳۷}Numerical Solution

پارامترهای مدل و جواب مهم است، زیرا ممکن است هدف تخمین پارامترها از جواب باشد.

مزایای جواب عددی

جواب های عددی یک مزیت مهم دارند، و آن این است که بسیاری از مسائل دارای جواب تحلیلی معلوم نیستند. عملاً تمام معادله دیفرانسیل با مشتقات جزئی غیر خطی را به روش عددی حل کرد و در واقع اغلب مدل های حقیقی در فیزیک، شیمی، زیست شناسی و ماهیت غیر خطی دارند.

بعضی از معادلات غیر خطی بسیا مهم :

$$1. \text{ معادله موج غیرخطی } u_{tt} = u_{xx} + f(u)$$

$$2. \text{ معادله واکنش - پخش } u_t = u_{xx} + f(u)$$

$$3. \text{ معادلات هودگکین }^{38} - \text{هاکسلی }^{39} \begin{cases} u_t = u_{xx} + f(u, v), \\ v_t = g(u, v), \end{cases}$$

جواب های تحلیلی معلومی به ازای جمیع غیرخطی های f و g ندارند. لذا، حمله کلی به اغلب مسائل غیرخطی (و بعضی از مسائل خطی) مستلزم استفاده از جواب های عددی می باشد [۱].

۵.۱ - اسپلاین ها

۱.۵.۱ نظریه اساسی

در این بخش به دستگاهی از توابع اسپلاین اختصاص یافته که از آنها کلیه توابع اسپلاین دیگر می توانند با تشکیل ترکیب های خطی به دست آیند. این اسپلاین ها یک پایه برای

^{۳۸}Hodgkin

^{۳۹}Huxley

فضاهای اسپلاین‌های خاص فراهم می‌کنند و بنابراین B -اسپلاین^{۴۰} نامیده می‌شوند. با معلوم بودن گره‌ها، B -اسپلاین‌ها به وسیله روابط بازگشتی به راحتی قابل تولید هستند و الگوریتم آنها نیز نسبتاً ساده است. B -اسپلاین‌ها به واسطه برخورداری از نظریه‌ای زیبا و رفتاری نمونه در محاسبات عددی متمایز هستند. بعلاوه B -اسپلاین‌ها می‌توانند تعمیم پیدا کنند.

با دستگاہی از گره‌های x_i بر روی اعداد حقیقی شروع می‌کنیم. در عمل معمولاً به یک مجموعه متناهی نیاز است اما برای گسترش راحت تر است که گره‌ها یک مجموعه نامتناهی از راست تا $+\infty$ و از چپ تا $-\infty$ را شامل باشد

$$\dots < x_{-2} < x_{-1} < x_0 < x_1 < x_2 < \dots$$

در تمام مباحث این گره‌ها ثابت فرض می‌شوند و تمام اسپلاین‌ها را بر این گره‌ها استوار می‌کنیم.

۲.۵.۱ - B - اسپلاین درجه صفر

B - اسپلاین درجه صفر را با نماد B_i^0 نمایش می‌دهیم و به صورت زیر تعریف می‌کنیم.

تعریف ۱.۵.۱.

$$B_i^0(x) = \begin{cases} 1, & x_i \leq x < x_{i+1}, \\ 0, & \text{در غیر این صورت} \end{cases}$$

که دارای شکل (۱.۱) می‌باشد. این B -اسپلاین‌ها دنباله نامتناهی $\{B_i^0 : i \in \mathbb{Z}\}$ را

تشکیل می‌دهند.

برخی از خواص B -اسپلاین فوق در زیر آمده است.

^{۴۰}B spline

۱. محمل B_i° ^{۴۱} (یعنی مجموعه هایی که $B_i^{\circ} \neq 0$) بازه $[x_i, x_{i+1})$ می باشد.

۲. $B_i^{\circ}(x) \geq 0$ به ازای همه x ها و i ها.

۳. B_i° از راست پیوسته است.

۴. $\sum_{i=-\infty}^{+\infty} B_i^{\circ}(x) = 0$ به ازای تمام x ها.

نکته مهم دیگر این است که B -اسپلاین های درجه صفر یک پایه برای همه B -اسپلاین های درجه صفر تشکیل می دهند به شرط آنکه چنین B -اسپلاین هایی را به پیوسته بودن از راست استاندارد کنیم. برای اثبات این ادعا، فرض کنید S یک تابع اسپلاین درجه صفر باشد. آنگاه این اسپلاین قطعه ای ثابت ^{۴۲} است و به صورت زیر تعریف می شود

$$x_i \leq x \leq x_{i+1}, i \in Z \rightarrow S(x) = c_i,$$

واضح است که

$$S(x) = \sum_{i=-\infty}^{i=+\infty} B_i^{\circ}(x),$$

بنابراین ما یک پایه به مفهوم شودر ^{۴۳} داریم (هر بردار در فضا یک نمایش منحصر بفرد به صورت یک سری نامتناهی $\sum_{i=-\infty}^{i=+\infty} c_i B_i^{\circ}$ دارد).

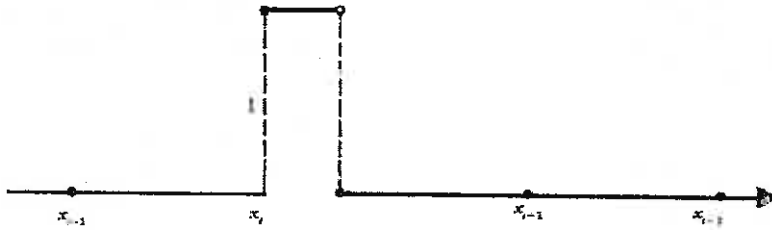
توابع B_i° نقطه شروعی برای تعریف بازگشتی همه B -اسپلاین های از درجه بالاتر هستند. رابطه بازگشتی برای بدست آوردن B -اسپلاین های با درجه بالاتر عبارتست از

$$B_i^k(x) = \left(\frac{x - x_i}{x_{i+k} - x_i}\right) B_i^{k-1}(x) + \left(\frac{x_{i+k+1} - x}{x_{i+k+1} - x_{i+1}}\right) B_{i+1}^{k-1}(x), \quad (k \geq 1) \quad (۸.۱)$$

^{۴۱}Support

^{۴۲}Piecewise Constant

^{۴۳}Schauder

شکل ۱.۱: B - اسپلاین B_i^k

تمام ویژگی های B - اسپلاین از درجه بالاتر از این تعریف بازگشتی نتیجه خواهد شد. با وارد کردن برخی توابع خطی خاص

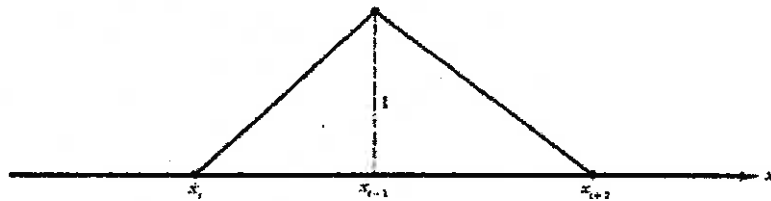
$$V_i^k(x) = \frac{x - x_i}{x_{i+k} - x_i}, \quad (9.1)$$

می توانیم رابطه بازگشتی را به صورت زیر بازنویسی کنیم

$$B_i^k = V_i^k B_i^{k-1} + (1 - V_{i+1}^k) B_{i+1}^{k-1}, \quad (10.1)$$

چون B_i^k یک چند جمله ای قطعه به قطعه^{۴۴} از درجه صفر است و V_i^k خطی است لذا B_i^k یک چند جمله ای حداکثر از درجه یک می باشد. به همین دلیل میتوان نشان داد که بطور کلی B_i^k یک چند جمله ای قطعه به قطعه حداکثر از درجه k می باشد.

^{۴۴}Piecewise Polynomial

شکل ۲.۱: B-اسپلاین B_i^1

۳.۵.۱ B-اسپلاین درجه یک

با توجه به رابطه (۸.۱)، B-اسپلاین درجه یک را به صورت زیر به دست می آوریم.

$$B_i^1(x) = \left(\frac{x - x_i}{x_{i+1} - x_i}\right) B_i^*(x) + \left(\frac{x_{i+2} - x}{x_{i+2} - x_{i+1}}\right) B_{i+1}^*(x),$$

لذا

$$B_i^1(x) = \begin{cases} \frac{x - x_i}{x_{i+1} - x_i} & x_i \leq x < x_{i+1}, \\ \frac{x_{i+2} - x}{x_{i+2} - x_{i+1}} & x_{i+1} \leq x < x_{i+2}, \\ 0 & \text{در غیر این صورت.} \end{cases}$$

نمودار B_i^1 را می توان در شکل (۲.۱) دید. خواص B-اسپلاین درجه یک به صورت زیر می باشد.

۱. محمل B_i^1 بازه $[x_i, x_{i+2})$ می باشد.

۲. $B_i^1(x) \geq 0$ به ازای همه x ها و i ها.

۳. B_i^1 از راست پیوسته است و در هر نقطه به جز x_i ، x_{i+1} و x_{i+2} مشتق پذیر است.

۴. $\sum_{i=-\infty}^{+\infty} B_i^1(x) = 0$ به ازای تمام x ها.

۴.۵.۱ خواص B - اسپلاین

لم ۲.۵.۱. اگر $k \geq 1$ ، آنگاه $B_i^k(x) = 0$ اگر $x \notin (x_i, x_{i+k+1})$.

لم ۳.۵.۱. فرض کنید $k \geq 0$ ، اگر $x \in (x_i, x_{i+1})$ ، آنگاه $B_i^k(x) > 0$.

لم ۴.۵.۱. داریم: $\sum_{i=-\infty}^{+\infty} c_i B_i^k = \sum_{i=-\infty}^{+\infty} [c_i V_i^k + c_{i-1}(1 - V_i^k)] B_i^{k-1}$.

رویه عددی

در لم (۴.۵.۱)، ضرایب می توانند ثابت یا تابع باشند. بنابراین لم راهی برای محاسبه

یک تابع داده شده به شکل زیر فراهم می می کند.

$$f(x) = \sum_{i=-\infty}^{+\infty} C_i^k(x) B_i^k(x),$$

فرض می کنیم که توابع C_i^k داده شده باشند؛ البته آنها ممکن است ثابت باشند. حال

تعریف می کنیم

$$C_i^{k-1}(x) = C_i^k(x) V_i^k(x) + C_{i-1}^k(x) [1 - V_i^k(x)], \quad (11.1)$$

سپس بنابر لم (۴.۵.۱) و رابطه (۱۱.۱) داریم

$$\sum_{i=-\infty}^{+\infty} C_i^k(x) B_i^k(x) = \sum_{i=-\infty}^{+\infty} C_i^{k-1}(x) B_i^{k-1}(x),$$

باتکرار بحث برای $k-1, k-2, \dots, 1, 0$ بالاخره به دست می آوریم

$$\sum_{i=-\infty}^{+\infty} C_i^k(x) B_i^k(x) = \sum_{i=-\infty}^{+\infty} C_i^0(x) B_i^0(x),$$

همان طور که می دانیم عبارت سمت راست به راحتی محاسبه می شود. برای $x_j \leq x < x_{j+1}$ مقدارش برابر $C_j^j(x)$ است. رابطه (۱۱.۱) را با استفاده از رابطه (۱۰.۱) با جزئیات بیشتر به صورت زیر می نویسیم

$$C_i^{j-1}(x) = \frac{(x - x_i)C_i^j(x) + (x_{i+j} - x)C_{i-1}^j(x)}{x_{i+j} - x_i}, \quad (12.1)$$

ملاحظات قبلی ما را به رویه عددی زیر هدایت می کند.

الگوریتم ۱ اگر ضرایب C_i^k مفروض باشند، تابع اسپلاین $S(x) = \sum_{i=-\infty}^{+\infty} C_i^k(x)B_i^k(x)$ برای یک x داده شده می توانند به صورت زیر محاسبه شود: اندیس m را به گونه ای تعیین کنید که $x_m \leq x < x_{m+1}$. با استفاده از معادله (۱۲.۱) آرایه مثلثی زیر را محاسبه کنید.

$$\begin{array}{ccccccc} C_m^k & C_m^{k-1} & \dots & C_m^1 & C_m^0 & & \\ C_{m-1}^k & C_{m-1}^{k-1} & \dots & C_{m-1}^1 & & & \\ \vdots & & & & & & \\ C_{m-k+1}^k & C_{m-k+1}^{k-1} & & & & & \\ C_{m-k}^k & & & & & & \end{array}$$

$$. S(x) = C_m^0 \text{ آنگاه}$$

لم ۵.۵.۱. به ازای هر k ,

$$\sum_{i=-\infty}^{+\infty} B_i^k(x) = 1.$$

۵.۵.۱ مشتق و انتگرال B - اسپلاین

لمی که ارائه خواهیم کرد فرمول مهم برای مشتق B_i^k ارائه می دهد. بهتر است از رابطه برای V_i^k استفاده کرده و قرار می دهیم

$$\alpha_i^k = \frac{1}{x_{i+k} - x_i},$$

با این نمادگذاری ملاحظه می کنیم که

$$\frac{d}{dx} V_i^k(x) = \alpha_i^k,$$

بقیه فرمول های دیگر که تحقیق آنها بدیهی است، عبارتند از:

$$\alpha_i^k V_i^{k+1} = \alpha_i^{k+1} V_i^k,$$

$$\alpha_{i+1}^k (1 - V_i^{k+1}) = \alpha_{i+1}^{k+1} (1 - V_{i+1}^k),$$

لم ۶.۵.۱. به ازای $k \geq 2$

$$\frac{d}{dx} B_i^k(x) = \left(\frac{k}{x_{i+k} - x_i} \right) B_i^{k-1}(x) - \left(\frac{k}{x_{i+k+1} - x_{i+1}} \right) B_{i+1}^{k-1},$$

وقتی $k=1$ معادله برای تمام x ها به جز $x = x_i, x_{i+1}, x_{i+2}$ برقرار است.

لم ۷.۵.۱. به ازای $k \geq 1$ ، B - اسپلاین های B_i^k به رده پیوستگی $C^{k-1}(R)$ تعلق دارند.

لم ۸.۵.۱.

$$\int_{-\infty}^x B_i^k(s) ds = \left(\frac{x_{i+k+1} - x_i}{k+1} \right) \sum_{j=i}^{\infty} B_j^{k+1}(x).$$

اگر f یک تابع و K یک زیر مجموعه از دامنه اش باشد، آنگاه $f|_k$ تحدید^{۴۵} f به K

را نمایش می دهد. بنابراین،

$$(f|_k)(x) = f(x) \quad (x \in K),$$

^{۴۵}Restriction

این مفهوم در کار با اسپلاین ها مفید می باشد، زیرا هر تابع $(x_j, x_{j+1}) | B_i^k$ یک چندجمله ای (به طور دقیق تر تحدید یک چند جمله ای) است. وقتی گفته می شود که یک مجموعه از توابع f_i بر روی یک مجموعه K مستقل خطی اند، به این معناست که مجموعه توابع تحدید شده $f_i | K$ به مفهوم معمول مستقل خطی هستند.

حال توابع $B -$ اسپلاین B_1^k, \dots, B_n^k را در نظر بگیرید. وقتی اینها به هر بازه تنهایی بین گره های (x_v, x_{v+1}) محدود شوند، نتیجه یک مجموعه از چند جمله ای های از درجه کوچکتر یا مساوی k می باشد. یک واقعیت مفید و تعجب آور آن است که اگر بازه (x_k, x_{k+1}) باشد این تحدید ها یک پایه برای فضای چندجمله ای هایی \prod_k تشکیل می دهند.

لم ۹.۵.۱. مجموعه $B -$ اسپلاین های $\{B_j^k, B_{j+1}^k, \dots, B_{j+k}^k\}$ بر روی بازه (x_{k+j}, x_{k+j+1}) مستقل خطی است.

لم ۱۰.۵.۱. مجموعه $B -$ اسپلاین های $\{B_{-k}^k, B_{-k+1}^k, \dots, B_{n-1}^k\}$ بر روی بازه (x_0, x_n) مستقل خطی اند.

پایه ای برای فضای S_n^k : S_n^k مجموعه تمام توابع از رده C^{k-1} و چند جمله ای های قطعه به قطعه از درجه کوچکتر مساوی k بر روی n بازه $[x_0, x_1], [x_1, x_2], \dots, [x_{n-1}, x_n]$ می باشد. برای اینکه دامنه $B -$ اسپلاین ها یکسان باشد، $B -$ اسپلاین ها را به بازه $[x_0, x_n]$ محدود می کنیم و با نماد $[x_0, x_n] | B_i^k$ نمایش می دهیم.

قضیه ۱۱.۵.۱. یک پایه برای فضای S_n^k عبارت است از

$$\{B_i^k | [x_0, x_n] : -k \leq i \leq n-1\}, \quad (13.1)$$

در نتیجه بعد S_n^k ، $n+k$ می باشد.

جدول ۱.۱: مقادیر B_i و B'_i .

x	x_{i-1}	x_i	x_{i+1}	x_{i+2}
B_i	۰	۱	۱	۰
B'_i	۰	$\frac{2}{h}$	$-\frac{2}{h}$	۰

۶.۱ B - اسپلاین های مراتب بالاتر

در بخش های قبلی به B - اسپلاین درجه صفر و درجه یک اشاره کردیم. همچنین اشاره کردیم با توجه به رابطه بازگشتی میتوان B - اسپلاین های درجه بالاتر با همان خواص را تولید کرد.

برای راحتی کار و ساده نویسی فرض می کنیم فاصله گره ها از یکدیگر ثابت باشد یعنی

$$h = x_{i+1} - x_i$$

حال با توجه به رابطه (۱۰.۱) و B - اسپلاین مرتبه یک میتوان B - اسپلاین مرتبه دو^{۴۶}

را به صورت زیر بدست آورد:

$$B_i(x) = \frac{1}{h^2} \begin{cases} (x_{i+2} - x)^2 - 3(x_{i+1} - x)^2 + 3(x_i - x)^2 & [x_{i-1}, x_i], \\ (x_{i+2} - x)^2 - 3(x_{i+1} - x)^2 & [x_i, x_{i+1}], \\ (x_{i+2} - x)^2 & [x_{i+1}, x_{i+2}], \\ 0 & \text{در غیر این صورت} \end{cases} \quad (14.1)$$

و در جدول (۱.۱) مقادیر B - اسپلاین و مشتقاتش در گره ها بدست آورده شده است.

دوباره با توجه به رابطه بازگشتی (۱۰.۱) و رابطه (۱۴.۱) B - اسپلاین مرتبه سه^{۴۷} برابر

^{۴۶} Quadratic B-spline

^{۴۷} Cubic B-spline

جدول ۲.۱: مقادیر B_i و B'_i و B''_i .

x	x_{i-2}	x_{i-1}	x_i	x_{i+1}	x_{i+2}
B_i	۰	۱	۴	۱	۰
B'_i	۰	$-\frac{2}{h}$	۰	$\frac{2}{h}$	۰
B''_i	۰	$\frac{6}{h^2}$	$-\frac{12}{h^2}$	$\frac{6}{h^2}$	۰

است با

$$B_i(x) = \frac{1}{h^3} \begin{cases} (x - x_{i-2})^3 & [x_{i-2}, x_{i-1}], \\ h^3 + 3h^2(x - x_{i-1}) + 3h(x - x_{i-1})^2 - 3(x - x_{i-1})^3 & [x_{i-1}, x_i], \\ h^3 + 3h^2(x_{i+1} - x)^2 + 3h(x_{i+1} - x) - 3(x_{i+1} - x)^3 & [x_i, x_{i+1}], \\ (x_{i+2} - x)^3 & [x_{i+1}, x_{i+2}], \\ 0 & \text{در غیر این صورت} \end{cases} \quad (15.1)$$

به همین ترتیب B - اسپلاین های درجه چهار^{۴۸} و پنج^{۴۹} و شش^{۵۰} و هفت^{۵۱} را به صورت زیر خواهیم داشت که همگی داری خواص ذکر شده در بخش های پیشین را دارا می باشند و به ترتیب جدول های (۳.۱)، (۴.۱)، (۵.۱) و (۶.۱) نشان دهنده مقادیر B - اسپلاین در نقاط گره ای می باشد.

$$Q_i(x) = \frac{1}{h^4} \begin{cases} (x - x_{i-2})^4 & [x_{i-2}, x_{i-1}], \\ (x - x_{i-2})^4 - 5(x - x_{i-1})^4 & [x_{i-1}, x_i], \\ (x - x_{i-2})^4 - 5(x - x_{i-1})^4 + 10(x - x_i)^4 & [x_i, x_{i+1}], \\ (x_{i+2} - x)^4 - 5(x_{i+2} - x)^4 & [x_{i+1}, x_{i+2}], \\ (x_{i+2} - x)^4 & [x_{i+2}, x_{i+3}], \\ 0 & \text{در غیر این صورت} \end{cases} \quad (16.1)$$

^{۴۸}Quartic B-spline

^{۴۹}Quintic B-spline

^{۵۰}Sextic B-spline

^{۵۱}Septic B-spline

جدول ۳.۱: مقادیر Q_i, Q'_i, Q''_i, Q'''_i .

x	x_{i-2}	x_{i-1}	x_i	x_{i+1}	x_{i+2}	x_{i+3}
Q_i	•	۱	۱۱	۱۱	۱	•
Q'_i	•	$-\frac{f}{h}$	$-\frac{1f}{h}$	$\frac{1f}{h}$	$\frac{f}{h}$	•
Q''_i	•	$\frac{1f}{h^2}$	$-\frac{1f}{h^2}$	$-\frac{1f}{h^2}$	$\frac{1f}{h^2}$	•
Q'''_i	•	$-\frac{2f}{h^3}$	$\frac{f}{h^3}$	$-\frac{f}{h^3}$	$\frac{2f}{h^3}$	•

جدول ۴.۱: مقادیر B_i, B'_i, B''_i, B'''_i .

x	x_{i-2}	x_{i-1}	x_i	x_{i+1}	x_{i+2}	x_{i+3}
B_i	•	۱	۶۶	۶۶	۱	•
B'_i	•	$-\frac{5}{h}$	$-\frac{5}{h}$	$\frac{5}{h}$	$\frac{5}{h}$	•
B''_i	•	$\frac{5}{h^2}$	$-\frac{17}{h^2}$	$\frac{5}{h^2}$	$\frac{5}{h^2}$	•
B'''_i	•	$-\frac{6}{h^3}$	$\frac{17}{h^3}$	$-\frac{17}{h^3}$	$\frac{6}{h^3}$	•

$$B_i(x) = \frac{1}{h^5} \begin{cases} (x - x_{i-2})^5 & [x_{i-2}, x_{i-2}], \\ (x - x_{i-2})^5 - 6(x - x_{i-2})^4 & [x_{i-2}, x_{i-1}], \\ (x - x_{i-2})^5 - 6(x - x_{i-2})^4 + 15(x - x_{i-1})^4 & [x_{i-1}, x_i], \\ (x_{i+2} - x)^5 - 6(x_{i+2} - x)^4 + 15(x_{i+1} - x)^4 & [x_i, x_{i+1}], \\ (x_{i+2} - x)^5 - 6(x_{i+2} - x)^4 & [x_{i+1}, x_{i+2}], \\ (x_{i+2} - x)^5 & [x_{i+2}, x_{i+2}], \\ 0 & \text{در غیر این صورت} \end{cases} \quad (17.1)$$

$$B_i(x) = \frac{1}{h^6} \begin{cases} (x - x_{i-2})^6 & [x_{i-2}, x_{i-2}], \\ (x - x_{i-2})^6 - 6(x - x_{i-2})^5 & [x_{i-2}, x_{i-1}], \\ (x - x_{i-2})^6 - 6(x - x_{i-2})^5 + 21(x - x_{i-1})^5 & [x_{i-1}, x_i], \\ (x - x_{i-2})^6 - 6(x - x_{i-2})^5 + 21(x - x_{i-1})^5 - 35(x - x_i)^5 & [x_i, x_{i+1}], \\ (x - x_{i-2})^6 - 6(x - x_{i-2})^5 + 21(x - x_{i-1})^5 & [x_{i+1}, x_{i+2}], \\ (x - x_{i-2})^6 - 6(x - x_{i-2})^5 & [x_{i+2}, x_{i+2}], \\ (x - x_{i-2})^6 & [x_{i+2}, x_{i+2}], \\ 0 & \text{در غیر این صورت} \end{cases} \quad (18.1)$$

جدول ۵.۱: مقادیر Q_i, Q'_i, Q''_i, Q'''_i

x	x_{i-3}	x_{i-2}	x_{i-1}	x_i	x_{i+1}	x_{i+2}
Q_i	۱	۵۷	۳۰۲	۳۰۲	۵۷	۱
Q'_i	$-\frac{2}{h}$	$-\frac{150}{h}$	$-\frac{240}{h}$	$\frac{240}{h}$	$\frac{150}{h}$	$\frac{2}{h}$
Q''_i	$\frac{24}{h^2}$	$\frac{270}{h^2}$	$-\frac{300}{h^2}$	$-\frac{300}{h^2}$	$\frac{270}{h^2}$	$\frac{24}{h^2}$
Q'''_i	$-\frac{120}{h^3}$	$-\frac{120}{h^3}$	$-\frac{960}{h^3}$	$\frac{960}{h^3}$	$\frac{120}{h^3}$	$\frac{120}{h^3}$

جدول ۶.۱: مقادیر $\phi_m, \phi'_m, \phi''_m, \phi'''_m$

x	x_{m-4}	x_{m-3}	x_{m-2}	x_{m-1}	x_m	x_{m+1}	x_{m+2}	x_{m+3}	x_{m+4}
ϕ_i	۰	۱	۱۲۰	۱۱۹۱	۲۴۱۶	۱۱۹۱	۱۲۰	۱	۰
ϕ'_i	۰	$\frac{7}{h}$	$\frac{292}{h}$	$\frac{1715}{h}$	۰	$-\frac{1715}{h}$	$-\frac{292}{h}$	$-\frac{7}{h}$	۰
ϕ''_i	۰	$\frac{42}{h^2}$	$\frac{1008}{h^2}$	$\frac{620}{h^2}$	$-\frac{2220}{h^2}$	$\frac{620}{h^2}$	$\frac{1008}{h^2}$	$\frac{42}{h^2}$	۰
ϕ'''_i	۰	$\frac{210}{h^3}$	$\frac{1680}{h^3}$	$-\frac{2990}{h^3}$	۰	$\frac{2990}{h^3}$	$-\frac{1680}{h^3}$	$-\frac{210}{h^3}$	۰

$$\phi_i(x) = \frac{1}{h^4} \begin{cases} (x - x_{i-4})^4 & [x_{i-4}, x_{i-3}], \\ (x - x_{i-4})^4 - 4(x - x_{i-3})^4 & [x_{i-3}, x_{i-2}], \\ (x - x_{i-4})^4 - 4(x - x_{i-3})^4 + 6(x - x_{i-2})^4 & [x_{i-2}, x_{i-1}], \\ (x - x_{i-4})^4 - 4(x - x_{i-3})^4 + 6(x - x_{i-2})^4 - 4(x - x_{i-1})^4 & [x_{i-1}, x_i], \\ (x_{i+4} - x)^4 - 4(x_{i+3} - x)^4 + 6(x_{i+2} - x)^4 - 4(x_{i+1} - x)^4 & [x_i, x_{i+1}], \\ (x_{i+4} - x)^4 - 4(x_{i+3} - x)^4 + 6(x_{i+2} - x)^4 & [x_{i+1}, x_{i+2}], \\ (x_{i+4} - x)^4 - 4(x_{i+3} - x)^4 & [x_{i+2}, x_{i+3}], \\ (x_{i+4} - x)^4 & [x_{i+3}, x_{i+4}], \\ 0 & \text{در غیر این صورت.} \end{cases} \quad (19.1)$$

۱.۶.۱ نرم‌ها

یکی از اولین نکاتی که در تقریب یک تابع و یا برازش داده‌های مفروض باید در نظر گرفت نوع تابع تقریب (مثلاً U است) که باید به کار برود. U عموماً ترکیبی خطی از یک مجموعه از توابع است که اعضایش دارای خواص معینی می‌باشند. مسئله، تعیین ضرایب در این

ترکیب خطی است بطوری که U به اندازه کافی به تابع نزدیک بوده و یا به قدر کافی داده های مفروض را برازش کند. برای سنجش نزدیکی یا کفایت تقریب U ، از نرم تابع استفاده می شود. نرم های بکار رفته در این پایان نامه در زیر تعریف شده اند.

تعریف ۱.۶.۱. به ازای تابع معلوم $f \in C[a, b]$ ، نرم های $\| \cdot \|_2$ و $\| \cdot \|_\infty$ به ترتیب برابر است با:

$$\|f\|_2 = \left\{ \int_a^b [f(x)]^2 dx \right\}^{\frac{1}{2}}$$

$$\|f\|_\infty = \max_{x \in [a, b]} |f(x)|$$

تعریف ۲.۶.۱. هرگاه U تقریبی از تابع معلوم $f \in C[a, b]$ باشد، خطای مطلق بصورت $\|f - U\|$ و خطای نسبی بصورت $\frac{\|f - U\|}{\|U\|}$ تعریف می شوند. برای سنجش تقریب تابع U می بایست $L_2 = \|f - U\|_2$ و $L_\infty = \|f - U\|_\infty$ را مینیمم کنیم.

در بدست آوردن نتایج عددی در بعضی موارد به حل دستگاه ماتریسی مربعی و غیر مربعی می رسیم که برای حل آنها از تجزیه مقدار تکین آنها استفاده کرده ایم بر خود لازم دانستم در اینجا کمی در مورد آن توضیح دهیم.

قضیه ۳.۶.۱. تجزیه مقدار تکین: فرض کنید A یک ماتریس حقیقی $m \times n$ باشد آنگاه ماتریس های متعامد U و V وجود دارند به قسمی که

$$U^T A V = \begin{bmatrix} \Sigma_1 & & 0 \\ & & \\ 0 & & 0 \end{bmatrix} = \Sigma,$$

که در آن Σ_1 یک ماتریس قطری نا منفرد است. عناصر قطر Σ همگی نامنفی هستند و می توانند به ترتیب ناصعودی مرتب شوند. تعداد عناصر قطری مخالف صفر Σ برابر با رتبه ماتریس A است.

SVD و شبه معکوس

شبه معکوس یک ماتریس همیشه وجود دراد و منحصر بفرد است. نشان می دهیم که SVD یک عبارت زیبا برای شبه معکوس فراهم می سازد. شبه معکوس A را با A^\dagger نمایش داده و دارای خاصیت های زیر است :

$$AA^\dagger A = A \quad (۱)$$

$$A^\dagger AA^\dagger = A^\dagger \quad (۲)$$

$$(AA^\dagger)^T = AA^\dagger \quad (۳)$$

$$(A^\dagger A)^T = A^\dagger A \quad (۴)$$

فرض کنید $A = U\Sigma V^T$ SVD ماتریس A باشد؛ آنگاه $A^\dagger = V\Sigma^\dagger U^T$ که در آن

$$\Sigma^\dagger = \text{diag}\left(\frac{1}{\sigma_1}, \frac{1}{\sigma_2}, \dots, \frac{1}{\sigma_r}, 0, \dots, 0\right) \in R^{m \times n},$$

قضیه تیلور

یک قضیه بسیار مهم در رابطه با توابع $C^n[a, b]$ قضیه تیلور است که در سرتاسر مطالعه آنالیز عددی مطرح می شود.

قضیه ۴.۶.۱. قضیه تیلور با باقیمانده لاگرانژ: اگر $f \in C^n[a, b]$ و اگر $f^{(n+1)}$ بر روی (a, b) وجود داشته باشد، آنگاه برای هر دو نقطه c و x در $[a, b]$ داریم

$$f(x) = \sum_{k=0}^n \frac{1}{k!} f^{(k)}(c)(x-c)^k + E_n(x), \quad (۲۰.۱)$$

که در آن، به ازای نقطه ای مانند ξ بین x و c داریم

$$E_n(x) = \frac{1}{(n+1)!} f^{(n+1)}(\xi)(x-c)^{n+1},$$

قضیه ۵.۶.۱. قضیه تیلور دو متغیره: اگر $f \in C^{n+1}([a, b] \times [c, d])$ آنگاه برای هر دو نقطه $x + h$ و $y + k$ در $[a, b] \times [c, d] \subseteq R^2$ داریم

$$f(x + h, y + k) = \sum_{i=0}^n \frac{1}{i!} \left(h \frac{\partial}{\partial x} + k \frac{\partial}{\partial y} \right)^i f(x, y) + E_n(h, k), \quad (21.1)$$

$$E_n(h, k) = \frac{1}{(n+1)!} \left(h \frac{\partial}{\partial x} + k \frac{\partial}{\partial y} \right)^{n+1} f(x + \theta h, y + \theta k),$$

که در آن θ عددی بین ۰ و ۱ می باشد.

تعریف ۶.۶.۱. فرض کنید w_i^j جواب واقعی یک معادله تفاضلی (یک طرح) باشد و \bar{w}_i^j جواب محاسبه شده در نقطه (x_i, t_j) باشد به دلیل وجود خطای گرد کردن در هر ردیف از زمانی ممکن است پیش آید که w_i^j با \bar{w}_i^j برابر نیستند. قرار می دهیم $e_i^j = w_i^j - \bar{w}_i^j$. گفته می شود طرح پایدار است هرگاه وقتی $i, j \rightarrow \infty$ آنگاه $|e_i^j| \leq k$ که در آن k ثابت باشد.

تجزیه و تحلیل پایداری (روش فوریه)

مسئله پایداری در روش های عددی معادلات دیفرانسیل جزئی تقریباً در همه مسائل پیش می آید که شامل متغیر زمان به عنوان یک متغیر مستقل هستند. این طبیعی است چون ممکن است جواب روی بازه های طولانی مد نظر باشد. روشی که به روش فون-نویمان^{۵۲} منصوب است می توان روش فوریه نامیده شود. در این روش سعی می کنیم یک جواب معادلات تفاضل متناهی را که دارای شکل زیر است بیابیم

$$u_i^n = \exp(ij\beta h) \exp(n\lambda k), \quad i = \sqrt{-1},$$

(در اینجا از i برای اولین زیر نویس و از i برای عدد مختلط $\sqrt{-1}$ استفاده می کنیم). رفتار این جواب وقتی که $t \rightarrow +\infty$ یا $n \rightarrow +\infty$ مورد آزمون قرار می گیرد. بوضوح این موضوع بستگی به عامل $\exp(n\lambda k)$ دارد. اگر $|\exp(\lambda k)| > 1$ آنگاه این جواب بیگران است. در غیر این صورت دارای جواب می باشد.

^{۵۲}Von-Neumann Stability

فصل ۲

حل معادله برگرز به کمک توابع B -

اسپلاین

ارتجاعی^{۱۰} و ... دارد. معادله برگرز بصورت دقیق برای شرایط اولیه و مرزی دلخواه حل شده است [۳]-[۵]. بعضی از جواب ها دارای جواب سری هستند. توابع اسپلاین انتگرال و مشتق پذیر هستند که منجر به توابع تکه ای می شوند و چون آنها پایه هایی با محمل کوچک دارند، بسیاری از انتگرال هایی که در روش های عددی ایجاد می شوند صفر هستند. بنابراین توابع اسپلاین با روش های عددی برای بدست آوردن جواب معادله دیفرانسیل مناسب است.

روش های عددی با توابع اسپلاین در بدست آوردن جواب عددی منجر به ماتریس های نواری^{۱۱} می شود که به آسانی قابل حل هستند. جواب اسپلاین معادله برگرز در بسیاری از مطالعات انجام شده است. برای مثال روش کالوکیشن اسپلاین مکعبی برای معادله برگرز یک بعدی در مقالات [۶]-[۸]، و طرح تفاضلات متناهی ضمنی^{۱۲} برای حل عددی معادله برگرز با استفاده از درونیایی مکعبی توسط جین و همکارانش^{۱۳} [۹]-[۱۰] و روش گالرکین^{۱۴} در مقالات [۱۱]-[۱۲] پیشنهاد شده است. در این فصل موفقیت B - اسپلاین مرتبه چهار در روش کالوکیشن توسط مقایسه با نتایج قبلی شرح می دهیم [۱۳].

۳.۲ روش کالوکیشن B - اسپلاین مرتبه ۴ (QBCM۱)

معادله برگرز بصورت زیر است

$$U_t + UU_x - vU_{xx} = 0, \quad (1.2)$$

^{۱۰}Elasticity

^{۱۱}Band matrices

^{۱۲}Implicit finite difference schemes

^{۱۳}Jain et al.

^{۱۴}Galerkin method

که در آن v ضریب ثابتی است که ضریب گرانروی (لزجت) ایستایی^{۱۵} نامیده می شود.

در مثال های عددی شرایط مرزی^{۱۶} از شرایط زیر انتخاب می شوند:

$$\begin{aligned} U(a, t) &= \beta_1, & U(b, t) &= \beta_2, \\ U_x(a, t) &= U_x(b, t) = U_{xx}(a, t) = U_{xx}(b, t) = 0, \end{aligned} \quad (۲.۲)$$

و شرایط اولیه^{۱۷} در قسمت محاسباتی گفته می شود. دامنه جواب $[a, b]$ به عناصر متناهی

با طول گام h توسط گره های x_m افراز بندی می شوند:

$$a = x_0 < x_1 < \dots < x_N = b, \quad h = x_{i+1} - x_i, \quad i = 0, 1, \dots, N-1,$$

روی این افراز توابع B - اسپلین مرتبه ۴ به صورت زیر بیان می شوند

$$Q_m(x) = \frac{1}{h^4} \begin{cases} (x - x_{m-2})^4 & x \in [x_{m-2}, x_{m-1}], \\ (x - x_{m-2})^4 - 4(x - x_{m-1})^4 & x \in [x_{m-1}, x_m], \\ (x - x_{m-2})^4 - 4(x - x_{m-1})^4 + 10(x - x_m)^4 & x \in [x_m, x_{m+1}], \\ (x_{m+2} - x)^4 - 4(x_{m+2} - x)^4 & x \in [x_{m+1}, x_{m+2}], \\ (x_{m+2} - x)^4 & x \in [x_{m+2}, x_{m+3}], \\ 0 & \text{در غیر این صورت} \end{cases} \quad (۳.۲)$$

مجموعه B - اسپلین های مرتبه چهار $Q_m(x)$ ، $m = -2, -1, \dots, N+1$ یک پایه روی ناحیه

$a \leq x \leq b$ تشکیل می دهند [۱۴]. بنابراین تقریب U_N را میتوان به صورت ترکیب خطی

از B - اسپلین ها بنویسیم

$$U_N(x) = \sum_{m=-2}^{N+1} \delta_m(t) Q_m(x), \quad (۴.۲)$$

در این جواب تقریبی $\delta_m(t)$ پارامتری است که به زمان بستگی دارد. مقدار U و سه مشتق

^{۱۵}Kinematics Viscosity

^{۱۶}Boundary Conditions

^{۱۷}Initial Condition

اصلی آن را در گره x_m بصورت زیر بدست می آوریم:

$$\begin{aligned} U_m &= U(x_m) = \delta_{m-2} + 11\delta_{m-1} + 11\delta_m + \delta_{m+1}, \\ U'_m &= U'(x_m) = \frac{4}{h}(-\delta_{m-2} - 3\delta_{m-1} + 3\delta_m + \delta_{m+1}), \\ U''_m &= U''(x_m) = \frac{12}{h^2}(\delta_{m-2} - \delta_{m-1} - \delta_m + \delta_{m+1}), \\ U'''_m &= U'''(x_m) = \frac{24}{h^3}(-\delta_{m-2} + 3\delta_{m-1} - 3\delta_m + \delta_{m+1}). \end{aligned} \quad (5.2)$$

اگر جواب تقریبی (۴.۲) و مشتق های مورد نیاز آن در (۵.۲) را در معادله (۱.۲) قرار دهیم، یک دستگاه معادله دیفرانسیل معمولی مرتبه اول بصورت زیر بدست می آوریم

$$\begin{aligned} \delta_{m-2}^{\circ} + 11\delta_{m-1}^{\circ} + 11\delta_m^{\circ} + \delta_{m+1}^{\circ} + \frac{4z_m}{h}(-\delta_{m-2} - 3\delta_{m-1} + 3\delta_m + \delta_{m+1}) \\ - \frac{12v}{h^2}(\delta_{m-2} - \delta_{m-1} - \delta_m + \delta_{m+1}) = 0, \end{aligned} \quad (6.2)$$

که در آن 0 مشتق نسبت زمان است و $z_m = \delta_{m-2} + 11\delta_{m-1} + 11\delta_m + \delta_{m+1}$ و v در زمان ادامه می دهیم. اگر پارامتر زمان δ_m و مشتق آن در (۶.۲) توسط قانون کرانک نیکلسون^{۱۸} و قانون تفاضلات متناهی^{۱۹} جدا سازی کنیم، داریم:

$$\delta_m = \frac{\delta_m^{n+1} + \delta_m^n}{2}, \quad \delta_m^{\circ} = \frac{\delta_m^{n+1} - \delta_m^n}{\Delta t}, \quad (7.2)$$

یک رابطه بازگشتی بین دو مرحله متوالی n و $n+1$ زمان مربوط به پارامترهای مجهول متوالی $\delta_i^n, \delta_i^{n+1}$ و $i = m-2, \dots, m+1$ بدست می آیند

$$\alpha_{m1}\delta_{m-2}^{n+1} + \alpha_{m2}\delta_{m-1}^{n+1} + \alpha_{m3}\delta_m^{n+1} + \alpha_{m4}\delta_{m+1}^{n+1} =$$

^{۱۸}Crank-Nicholson Rule

^{۱۹}Forward Difference Rule

$$\alpha_{m\delta} \delta_{m-2}^n + \alpha_{m\epsilon} \delta_{m-1}^n + \alpha_{m\gamma} \delta_m^n + \alpha_{m\lambda} \delta_{m+1}^n \quad (۸.۲)$$

که در آن

$$\begin{aligned} \alpha_{m\gamma} &= h^2 - 2h^2 \Delta t z_m - 6vh \Delta t, & \alpha_{m\epsilon} &= 11h^2 - 6h^2 \Delta t z_m + 6vh \Delta t, \\ \alpha_{m\delta} &= 11h^2 + 6h^2 \Delta t z_m + 6vh \Delta t, & \alpha_{m\lambda} &= h^2 + 2h^2 \Delta t - 66vh \Delta t, \\ \alpha_{m\delta} &= h^2 + 2h^2 \Delta t z_m + 6vh \Delta t, & \alpha_{m\epsilon} &= 11h^2 + 6h^2 \Delta t z_m - 66vh \Delta t, \\ \alpha_{m\gamma} &= 11h^2 - 2h^2 \Delta t z_m + 66vh \Delta t, & \alpha_{m\lambda} &= h^2 - 6h^2 \Delta t z_m - 66vh \Delta t. \end{aligned}$$

سیستم جبری غیر خطی بالادارای $N+1$ معادله و $N+4$ پارامتر مجهول می باشد که قابل حل با انتخاب شرایط مرزی از معادلات (۲.۲) می باشد. این شرایط قادر هستند که پارامترهای δ_{-2} ، δ_{-1} و δ_{N+1} را از دستگاه حذف کنند. بعد سیستم ماتریس نتیجه $(N+1) \times (N+1)$ است که قبل از شروع فرایند حل بازگشتی، باید پارامترهای اولیه δ_m^* توسط شرایط اولیه و مرزی تعیین شوند:

$$\begin{aligned} (U(a, t))_x &= U'(a, 0) = \frac{4}{h} (\delta_1 + 3\delta_0 - 3\delta_{-1} - \delta_{-2}), \\ U(a, t)_{xx} &= U''(a, 0) = \frac{12}{h^2} (\delta_{-2} - \delta_{-1} - \delta_0 + \delta_1), \\ U_N(x_i, 0) &= f_i(x) = \delta_{i-2} + 11\delta_{i-1} + 11\delta_i + \delta_{i+1}, \quad i = 0, 1, \dots, N, \quad (۹.۲) \\ (U(b, t))_{xx} &= U''(b, 0) = \delta_{N-2} + 11\delta_{N-1} + 11\delta_N + \delta_{N+1}. \end{aligned}$$

برای رفع غیرخطی بودن سیستم، پارامتر غیرخطی z_m توسط استفاده از پارامتر مرحله n ام خطی می شود. پایداری طرح تفاضلی توسط روش پایداری فوریه بررسی می شود. جمله غیرخطی UU_x توسط گرفتن U بعنوان یک ثابت، خطی کرد. روش فوریه، $\delta_m^n = q^n e^{im\varphi}$ را

در فرم خطی معادله (۸.۲) جایگذاری می کنیم و بدست می آوریم

$$q = \frac{a + ib}{c + id}$$

که در آن

$$a = \alpha_{m5} \cos 2\phi + (\alpha_{m6} + \alpha_{m8}) \cos \phi + \alpha_{m7},$$

$$b = -\alpha_{m5} \sin 2\phi - (\alpha_{m6} - \alpha_{m8}) \sin \phi,$$

$$c = \alpha_{m1} \cos 2\phi + (\alpha_{m2} + \alpha_{m4}) \cos \phi + \alpha_{m3},$$

$$d = -\alpha_{m1} \sin 2\phi - (\alpha_{m2} - \alpha_{m4}) \sin \phi,$$

شرط ثبات $|q| < 1$ در نامساوی زیر صدق می کند،

$$a^2 + b^2 - c^2 - d^2 = -192vh^4 \Delta t \sin^2 \phi (\cos \phi + 5) \leq 0,$$

بنابراین طرح تفاضلی (۸.۲) بدون قید و شرط پایدار است.

۴.۲ روش دوم کالوکیشن B - اسپلاین مرتبه چهار (QBCN۲)

معادله (۱.۲) را به دو معادله تفکیک می کنیم:

$$U_t + 2UU_x = 0, \quad (10.2)$$

$$U_t - 2vU_{xx} = 0, \quad (11.2)$$

یکبار دیگر گره ها را بعنوان نقاط کالوکیشن روی دامنه مسئله در نظر می گیریم. با جایگذاری معادله (۴.۲) و مشتقات مورد نیازش در معادلات (۱۰.۲) و (۱۱.۲) به دو دستگاه

معادله مرتبه اول زیر می رسیم:

$$\delta_{m-2}^0 + 11\delta_{m-1}^0 + 11\delta_m^0 + \delta_{m+1}^0 + \frac{\Lambda z_m}{h} (-\delta_{m-2} - 3\delta_{m-1} + 3\delta_m + \delta_{m+1}) = 0, \quad (12.2)$$

$$\delta_{m-2}^{\circ} + 11\delta_{m-1}^{\circ} + 11\delta_m^{\circ} + \delta_{m+1}^{\circ} - \frac{24v}{h^2}(\delta_{m-2} - \delta_{m-1} - \delta_m + \delta_{m+1}) = 0, \quad (13.2)$$

که در آن $z_m = \delta_{m-2} + 11\delta_{m-1} + 11\delta_m + \delta_{m+1}$ و مشتق نسبت زمان است و

پارامتر زمان در معادله (۱۳.۲) توسط درونیایی فرمول کرانک نیکلسون و مشتق آن

توسط تفاضلات منتهای بصورت زیر تقریب زده می شود:

$$\delta_m = \frac{\delta_m^n + \delta_m^{n+\frac{1}{2}}}{\gamma}, \quad \delta_m^{\circ} = \frac{\delta_m^{n+\frac{1}{2}} - \delta_m^n}{\gamma}. \quad (14.2)$$

معادله (۱۳.۲) را میتوان بصورت زیر میتوان نوشت

$$\alpha_1 \delta_{m-2}^{n+\frac{1}{2}} + \alpha_2 \delta_{m-1}^{n+\frac{1}{2}} + \alpha_3 \delta_m^{n+\frac{1}{2}} + \alpha_4 \delta_{m+1}^{n+\frac{1}{2}} = \alpha_5 \delta_{m-2}^n + \alpha_6 \delta_{m-1}^n + \alpha_7 \delta_m^n + \alpha_8 \delta_{m+1}^n, \quad (15.2)$$

که در آن

$$\alpha_1 = h^2 - 2h^2 \Delta t z_m, \quad \alpha_2 = 11h^2 - 6h^2 \Delta t z_m,$$

$$\alpha_3 = 11h^2 + 6h^2 \Delta t z_m, \quad \alpha_4 = h^2 + 2h^2 \Delta t z_m,$$

بطور مشابه، پارامتر زمان δ_m توسط کرانک نیکلسون و مشتق پارامتر زمان δ_m° توسط

تفاضلات پیشرو در مرحله های زمانی $n + \frac{1}{2}$ و $n + 1$ تقریب می زنییم:

$$\delta_m = \frac{\delta_m^{n+1} + \delta_m^{n+\frac{1}{2}}}{\gamma}, \quad \delta_m^{\circ} = \frac{\delta_m^{n+1} - \delta_m^{n+\frac{1}{2}}}{\Delta t}, \quad (16.2)$$

معادله (۱۳.۲) بصورت زیر تقریب زده می شود

$$\alpha_5 \delta_{m-2}^{n+1} + \alpha_6 \delta_{m-1}^{n+1} + \alpha_7 \delta_m^{n+1} + \alpha_8 \delta_{m+1}^{n+1} = \alpha_9 \delta_{m-2}^{n+\frac{1}{2}} + \alpha_{10} \delta_{m-1}^{n+\frac{1}{2}} + \alpha_{11} \delta_m^{n+\frac{1}{2}} + \alpha_{12} \delta_{m+1}^{n+\frac{1}{2}}, \quad (17.2)$$

که در آن

$$\alpha_5 = h^r - 6vh\Delta t, \quad \alpha_6 = 11h^r + 6vh\Delta t,$$

$$\alpha_7 = h^r + 6vh\Delta t, \quad \alpha_8 = 11h^r - 6vh\Delta t.$$

معادله های (۱۵.۲) و (۱۷.۲) تقریب تفاضلی متناهی ضمنی^{۲۰} معادله برگرز را تشکیل می دهند. این معادلات منجر به یک دستگاه جبری می شود که در هر گام از زمان حل می شود. پدیده غیر خطی معادله (۱۵.۲) را با در نظر گرفتن پارامتر زمان در مرحله n ام حذف می کنیم. جواب یکتایی از دستگاه معادلات با $N+4$ مجهول و $N+1$ معادله با به کاربردن شرایط مرزی بدست می آید. این شرایط مرزی برای حذف پارامترهای $\delta_{i-1}^n, \delta_i^n$ و δ_{N+1}^n استفاده می شود. دستگاه ماتریسی ۴ قطری $N+1$ پارامتر در $N+1$ معادله را توسط الگوریتم های متفاوتی میتوان حل کرد. قبل از فرایند تکرار الگوریتم، پارامتر اولیه δ_m^n را میتوان با توجه به شرط اولیه و شرایط مرزی تعیین نمود. بعد از اینکه تقریب اولیه δ^0 تعیین شد، جواب پارامترهای $\delta_i^{n+\frac{1}{2}}$ در معادله (۱۵.۲) پیدا می کنیم و این جواب پارامترها را در معادله (۱۷.۲) برای بدست آوردن δ_i^{n+1} را در هر مرحله زمانی جایگذاری می کنیم. مقادیر گره ها و مشتقاتشان را از معادله (۵.۲) میتوان یافت.

آنالیز پایداری را با بکار بردن روش پایداری فوریه برای دستگاه (۱۵.۲) بررسی می کنیم. جمله غیر خطی UU_x با ثابت دانستن U خطی می شود. در روش فوریه، $\delta_m^n = q^n e^{im\phi}$ را در شکل خطی معادله (۱۵.۲) قرار می دهیم و بدست می آوریم

$$q = \frac{a + ib}{c + id}$$

که در آن

$$a = \alpha_6 \cos 2\phi + (\alpha_7 + \alpha_1) \cos \phi + \alpha_2$$

^{۲۰} Implicit Finite Difference Approximation

$$b = -\alpha_f \sin 2\phi - (\alpha_r - \alpha_1) \sin \phi$$

$$c = \alpha_1 \cos 2\phi + (\alpha_r + \alpha_f) \cos \phi + \alpha_r$$

$$d = -\alpha_1 \sin 2\phi - (\alpha_r - \alpha_f) \sin \phi$$

در نتیجه $|q| = 1$ و طرح تفاضلی معادله (۱۵.۲) بدون هیچ قید و شرطی پایدار است. با روشی مشابه میتوان نشان داد که طرح تفاضلی معادله (۱۷.۲) نیز بدون هیچ شرطی پایدار است.

۵.۲ مثال های عددی

کارایی الگوریتم ارائه شده توسط مطالعه ۳ مثال نشان داده می شود. خطا توسط خطای میانگین مربع L_2 و خطای ماکزیمم L_∞ و نرم وزن دار e_1 اندازه گیری می شود:

$$L_2 = |U - U_N|^2 = h \sum_{j=0}^N |(U_j - (U_N)_j^n)|^2, \quad L_\infty = \max_j |U_j - (U_N)_j^n|,$$

$$|e|_1 = \frac{1}{N} \sum_{j=1}^{N-1} \frac{|U_j - (U_N)_j^n|}{|U_j|}$$

نرم خطای L_2 و L_∞ برای مثال های (۱.۵.۵) و (۲.۵.۵) محاسبه می شود و با نتایج ارجاعی [۱۵]-[۱۷] مقایسه می شود.

نرم خطای L_∞ و $|e|_1$ برای مثال (۳.۵.۵) محاسبه می شود و با نتایج ارجاعی [۱۷]-[۲۳] مقایسه می شود.

مثال ۱.۵.۲. یک جواب تحلیلی مشهور از معادله برگرز [۲۴] بصورت زیر است:

$$U(x, t) = \frac{x/t}{1 + \sqrt{t/t_0} \exp(x^2/(4vt))}, \quad t \geq 1, \quad 0 \leq x \leq 1, \quad (18.2)$$

که در آن $t_0 = \exp(1/(4v))$. شرط اولیه با قرار دادن $t = 1$ در معادله (۱۸.۲) بدست می آید و شرایط مرزی عبارتند از: $U(0, t) = U_x(0, t) = U(1, t) = 0$. انتشار شوک با پارامتر

جدول ۱.۲: مقایسه نتایج در زمان های متفاوت برای $\Delta t = 0.01$

	$L_2 \times 10^3$	$L_\infty \times 10^3$	$L_2 \times 10^3$	$L_\infty \times 10^3$	$L_2 \times 10^3$	$L_\infty \times 10^3$
$h = 0.005,$ $v = 0.005$	$t = 1/7$	$t = 1/7$	$t = 2/4$	$t = 2/4$	$t = 3/1$	$t = 3/1$
QBCM1	0.01705	0.06192	0.01252	0.05882	0.60199	4.43469
QBCM2	0.35891	1.21170	0.25132	0.80777	0.63052	4.79061
Ref.[17]	0.35126	1.20726	0.24448	0.80176	0.63325	4.79061
Ref.[16]	0.35133	1.20755	0.24451	0.80187	0.63325	4.79061
Ref.[15]	0.857	2.576	0.423	1.242	0.235	0.688
$h = 0.02,$ $v = 0.005$	$t = 1/8$	$t = 1/8$	$t = 2/4$	$t = 2/4$	$t = 3/2$	$t = 3/2$
QBCM1	0.19127	0.54058	0.14246	0.39241	0.93617	5.54899
QBCM2	0.49130	1.16930	0.41864	0.93664	1.28863	7.49147
Ref.[16]	0.68761	2.47189	0.67943	2.16784	1.48559	7.49146
$h = 0.02,$ $v = 0.01$	$t = 1/8$	$t = 1/8$	$t = 2/4$	$t = 2/4$	$t = 3/2$	$t = 3/2$
QBCM1	0.17014	0.4431	0.20476	0.86363	1.29951	6.69425
QBCM2	0.24003	0.48800	0.30849	1.14760	1.57548	8.06799
Ref.[16]	0.69910	3.13476	0.72976	2.66986	1.74570	8.06798

مثال ۲.۵.۲. دومین مسئله نمونه از معادله برگرز دارای جواب تحلیلی زیر است :

$$U(x,t) = \frac{\alpha + \mu + (\mu - \alpha) \exp \eta}{1 + \exp \eta}, \quad 0 \leq x \leq 1, \quad t \geq 0, \quad (19.2)$$

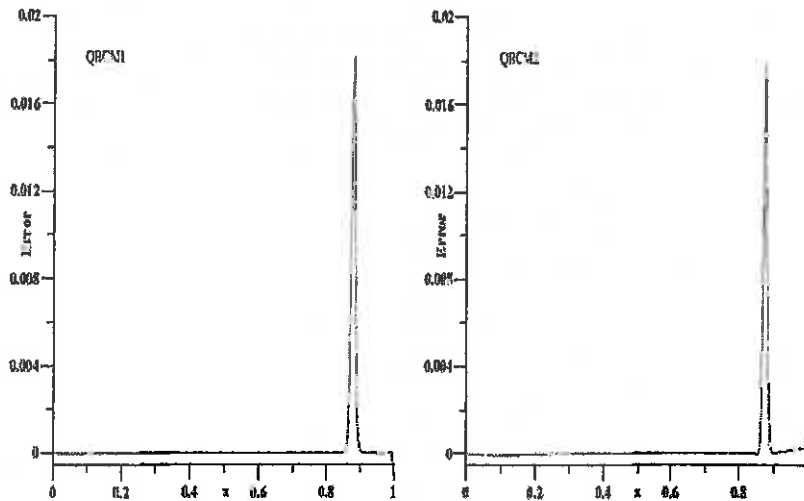
که در آن

$$\eta = \frac{\alpha(x - \mu t - \gamma)}{v},$$

و μ, α, γ ثابت هستند، که در این مثال $\alpha = 0.4, \mu = 0.6, \gamma = 0.125$ است. شرط اولیه را از قرار دادن $t = 0$ در معادله بدست می آوریم و شرایط مرزی عبارتند از: $U(0,t) = 1, U(1,t) = 0.2$ و $U_x(0,t) = 0$ و $U_x(1,t) = 0$ $t \geq 0$

گام زمانی $\Delta t = 0.01$ ، گام مکانی $h = \frac{1}{66}$ و ضریب گرانیروی $v = 0.01$ در نظر می گیریم و نتایج بدست آمده از $t = 0.5$ در جدول (۲.۲) ذکر شده است. QBCM1 دقت بهتری نسبت به QBCM2 فراهم می کند. جواب عددی بدست آمده از روش حاضر نتایج

^{۲۱}Finite Galerkin Method

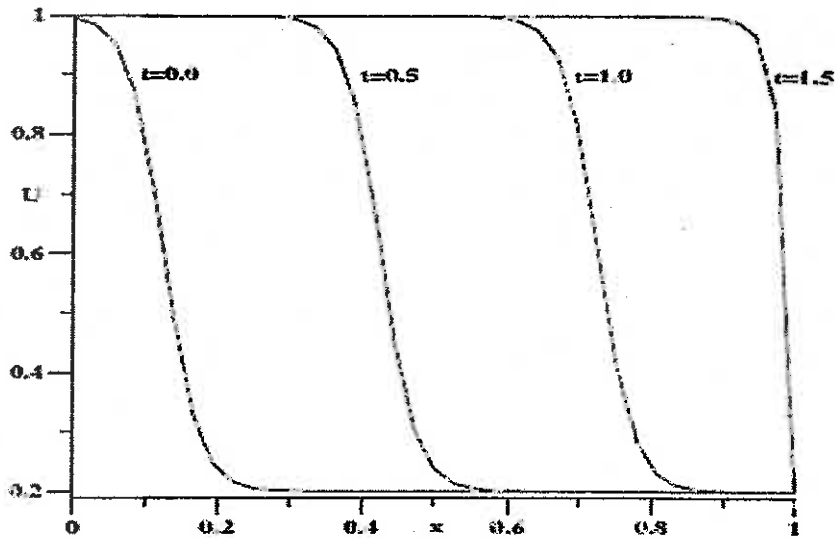


شکل ۲.۲: خطا (جواب تحلیلی - تقریبی) برای $v = 0.0005$ در $t = 3/1$.

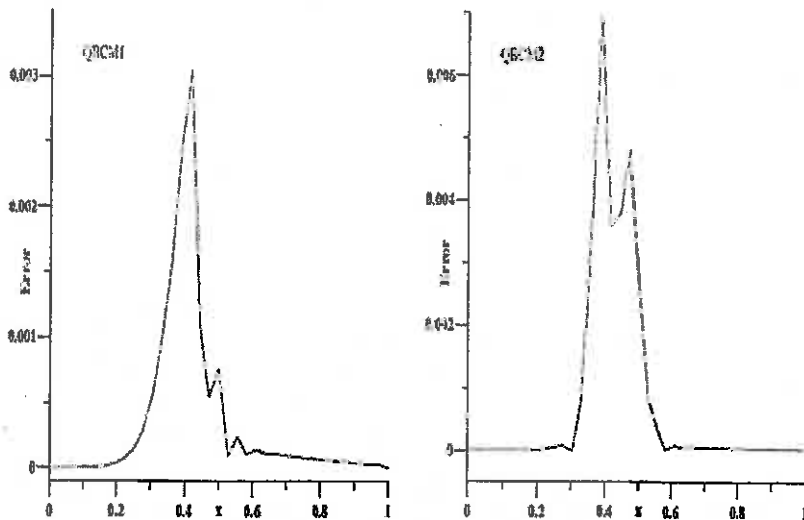
رضایت بخشی می دهد آنچنانچه به واسطه نرم خطای L_2 و L_∞ تصدیق می شود. پروفایل موج اولیه و انتشار آن در برخی از زمان ها در شکل (۳.۲) به تصویر کشیده شده است. جواب بدست آمده با روش حاضر تایید خوبی بر نتایج بدست آمده از مطالعات قبلی است. خطا بین جواب تحلیلی و جواب تقریبی در زمان $t = 0.5$ در شکل (۴.۲) به تصویر کشیده شده است.

جدول ۲.۲: مقایسه نتایج در زمان $t = 0.5$ برای $v = 0.01$ به ازای $h = 1/36$ و $\Delta t = 0.01$.

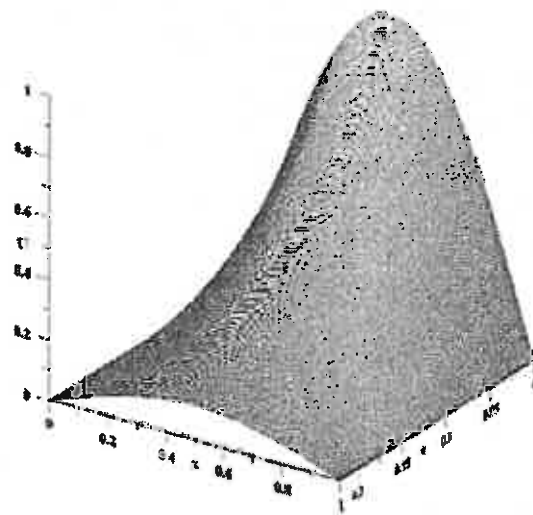
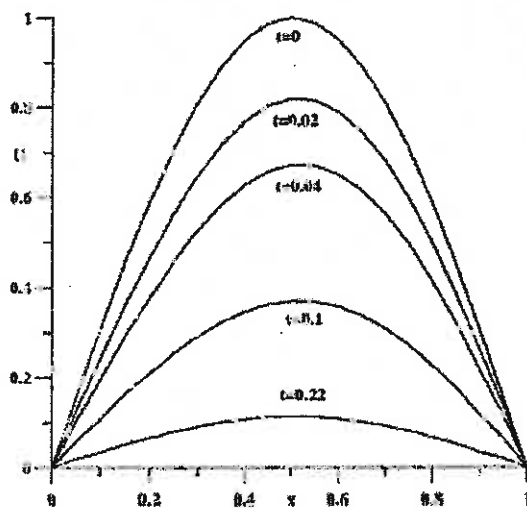
	QBCM1	QBCM2
$L_2 \times 10^3$	0.77033	1.8195
$L_2 \times 10^3 [17]$	1.92558	
$L_2 \times 10^3 [16]$	1.73106	
$L_\infty \times 10^3$	3.03817	6.94015
$L_\infty \times 10^3 [17]$	6.35489	
$L_\infty \times 10^3 [16]$	5.48892	



شکل ۳.۲: $v = 0.01, h = 1/36, \Delta t = 0.01$.



شکل ۴.۲: خطا (جواب تحلیلی - تقریبی) در زمان $t = 0.5$

شکل ۵.۲: $h = 0.05, \Delta t = 0.01, v = 1$

مثال ۳.۵.۲. معادله برگرز را با شرط اولیه

$$U(x, 0) = \sin(\pi x), \quad 0 \leq x \leq 1, \quad (20.2)$$

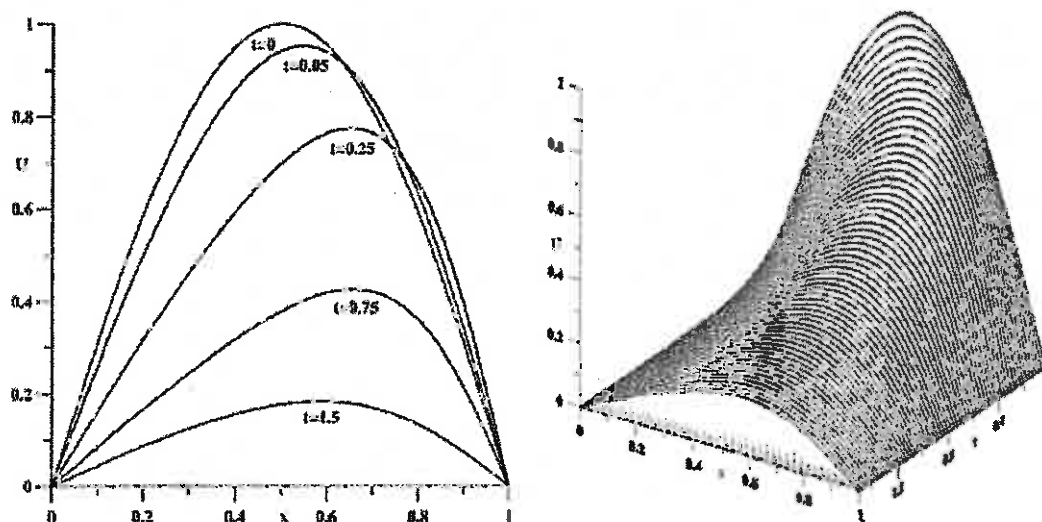
و شرایط مرزی

$$U(0, t) = U_x(0, t) = U(1, t) = 0, \quad t \geq 0, \quad (21.2)$$

در نظر می گیریم. جواب تحلیلی مساله بصورت زیر است

$$U(x, t) = \frac{4\pi v \sum_{j=1}^{\infty} j I_j\left(\frac{1}{\sqrt{\pi v}}\right) \sin(j\pi x) \exp(-j^2 \pi^2 v t)}{I_0\left(\frac{1}{\sqrt{\pi v}}\right) + 2 \sum_{j=1}^{\infty} I_j\left(\frac{1}{\sqrt{\pi v}}\right) \cos(j\pi x) \exp(-j^2 \pi^2 v t)} \quad (22.2)$$

که در آن I_j توابع بسل اصلاح شده است. این مسئله شامل فروپاشی اختلال سینوسی در جهت زمان است. برای مقایسه با برخی از نتایج قبلی، برنامه با پارامترهای مختلف اجرا می شود. حل عددی معادله برگرز در مقالات با الگوریتم حاضر مقایسه می شود. نرم L_{∞} را در جدول (۳.۲) و نرم $|e_1|$ در جدول (۴.۲) ارائه می دهیم. جواب گرافیکی به ازای $v = 1, 0.1$ در شکل های (۵.۲) و (۶.۲) برای هر دو روش به تصویر کشیده شده است.



شکل ۶.۲: $h = \Delta t = 0.025, v = 0.1$

جدول ۳.۲: مقایسه خطای نرم L_∞ جواب های عددی

	t	v	QBCM1	QBCM2	Ref.[۱۸]	Ref.[۱۹]
0.02	1.0	2.9×10^{-2}	2.34×10^{-2}	5.19×10^{-2}		
0.04		3.8×10^{-2}	2.61×10^{-2}	6.91×10^{-2}		
0.10		3.7×10^{-2}	1.46×10^{-2}	8.17×10^{-2}		
0.22		2.2×10^{-2}	3.60×10^{-2}	5.50×10^{-2}		
0.05	0.1	8.7×10^{-2}	2.07×10^{-2}	2.98×10^{-2}	6.14×10^{-2}	
0.25		1.2×10^{-2}	1.16×10^{-2}	9.03×10^{-2}	7.63×10^{-2}	
0.75		4.0×10^{-5}	6.64×10^{-2}	3.91×10^{-2}	1.66×10^{-2}	
1.5		3.0×10^{-5}	1.48×10^{-2}	1.25×10^{-2}	7.70×10^{-5}	
0.4	0.01	8.8×10^{-5}	1.21×10^{-2}	2.60×10^{-2}	3.22×10^{-2}	1.6×10^{-2}
0.8		1.5×10^{-5}	5.66×10^{-2}	2.88×10^{-2}	5.98×10^{-2}	2.6×10^{-2}
1.2		8.0×10^{-5}	8.13×10^{-2}	1.77×10^{-2}	1.29×10^{-2}	8.0×10^{-2}
3.0		1.0×10^{-5}	2.55×10^{-2}	6.93×10^{-2}	2.57×10^{-5}	4.5×10^{-5}

۶.۲ روش کالوکیشن B - اسپلاین مرتبه ۷

شبکه $a = x_0 < x_1 < \dots < x_N = b$ ، بعنوان یک افراز یکنواخت از دامنه جواب $a \leq x \leq b$

توسط گره های x_j و $j = -3, -2, -1, 0, \dots, N, N+1, N+2, N+3$ که در آن $h = x_{j+1} - x_j$

جدول ۴.۲: نتایج در $t = ۰/۱$ برای $v = ۱, \Delta t = ۱۰^{-۵}$ نرم $|e_1|$

	$h = ۰/۱$	$h = ۰/۰۵$	$h = ۰/۰۲۵$	$h = ۰/۰۱۲۵$	$h = ۰/۰۰۶۲۵$
QBCM۱	۰/۰۰۰۱۷۴	۰/۰۰۰۰۲۹	۰/۰۰۰۰۰۵	۰/۰۰۰۰۱۴	۰/۰۰۰۰۱۶
QBCM۲	۰/۰۰۰۱۷۷	۰/۰۰۰۰۴۱	۰/۰۰۰۰۰۶	۰/۰۰۰۰۱۳	۰/۰۰۰۰۱۶
Ref[۱۷]	۰/۰۰۰۰۶۳۵	۰/۰۰۰۰۰۸۵	۰/۰۰۰۰۰۲۴	۰/۰۰۰۰۰۰۶	۰/۰۰۰۰۰۰۶
Ref[۲۱]	۰/۰۰۰۷۵۷۱	۰/۰۰۰۲۰۲۵	۰/۰۰۰۰۵۵۵	۰/۰۰۰۰۱۷۷	
Ref[۲۲]	۰/۰۰۱۲۱۶۵	۰/۰۰۰۶۹۴۱	۰/۰۰۰۳۶۵۱	۰/۰۰۰۱۸۵۸	۰/۰۰۰۰۹۲۸
Ref[۲۳]	۰/۰۰۰۷۳۴	۰/۰۰۰۰۹۵	۰/۰۰۰۰۱۴	۰/۰۰۰۰۰۳	۰/۰۰۰۰۰۱

در نظر می گیریم.

فرض کنید تابع B - اسپلاین مرتبه ۷ در گره های شبکه به صورت زیر باشد:

$$\phi_m(x) = \frac{1}{h^7} \begin{cases} (x - x_{m-4})^7 & x \in [x_{m-4}, x_{m-3}], \\ (x - x_{m-4})^7 - 7(x - x_{m-3})^6 & x \in [x_{m-3}, x_{m-2}], \\ (x - x_{m-4})^7 - 7(x - x_{m-3})^6 + 21(x - x_{m-2})^5 & x \in [x_{m-2}, x_{m-1}], \\ (x - x_{m-4})^7 - 7(x - x_{m-3})^6 + 21(x - x_{m-2})^5 - \\ \quad 7(x - x_{m-1})^4 & x \in [x_{m-1}, x_m], \\ (x_{m+4} - x)^7 - 7(x_{m+3} - x)^6 + 21(x_{m+2} - x)^5 - \\ \quad 7(x_{m+1} - x)^4 & x \in [x_m, x_{m+1}], \\ (x_{m+4} - x)^7 - 7(x_{m+3} - x)^6 + 21(x_{m+2} - x)^5 & x \in [x_{m+1}, x_{m+2}], \\ (x_{m+4} - x)^7 - 7(x_{m+3} - x)^6 & x \in [x_{m+2}, x_{m+3}], \\ (x_{m+4} - x)^7 & x \in [x_{m+3}, x_{m+4}], \\ 0 & \text{در غیر این صورت} \end{cases}$$

که مجموعه اسپلاین های $\{\phi_{-3}, \phi_{-2}, \phi_{-1}, \phi_0, \dots, \phi_N, \phi_{N+1}, \phi_{N+2}, \phi_{N+3}\}$ یک پایه برای فضای جواب روی $a \leq x \leq b$ تشکیل می دهند. این بدین معنی است که مقادیر تابع B - اسپلاین مرتبه ۷ و مشتقات مرتبه اول، دوم و سوم بیرون بازه $[x_{m-4}, x_{m+4}]$ صفر می باشند. مقادیر B - اسپلاین مرتبه ۷ و مشتقات آن در نقاط گره ای در جدول (۵.۲) نشان داده شده است.

در حل عددی برای معادله (۱.۲) از روش کالوکیشن همراه با B - اسپلاین های مرتبه هفت استفاده می کنیم که به دنبال جواب تقریبی $U_N(x, t)$ از جواب دقیق $u(x, t)$ به فرم

$$U_N(x, t) = \sum_{m=-3}^{N+3} w_m(t) \phi_m(x), \quad (23.2)$$

جدول ۵.۲: مقادیر ϕ_m , ϕ'_m , ϕ''_m و ϕ'''_m

x	x_{m+4}	x_{m+3}	x_{m+2}	x_{m+1}	x_m	x_{m-1}	x_{m-2}	x_{m-3}	x_{m-4}
ϕ_i	۰	۱	۱۲۰	۱۱۹۱	۲۴۱۶	۱۱۹۱	۱۲۰	۱	۰
ϕ'_i	۰	$-\frac{7}{h}$	$-\frac{۳۹۲}{h}$	$-\frac{۱۷۱۵}{h}$	۰	$\frac{۱۷۱۵}{h}$	$\frac{۳۹۲}{h}$	$\frac{7}{h}$	۰
ϕ''_i	۰	$\frac{۴۲}{h^2}$	$\frac{۱۰۰۸}{h^2}$	$\frac{۶۳۰}{h^2}$	$-\frac{۳۳۶۰}{h^2}$	$\frac{۶۳۰}{h^2}$	$\frac{۱۰۰۸}{h^2}$	$\frac{۴۲}{h^2}$	۰
ϕ'''_i	۰	$-\frac{۲۱۰}{h^3}$	$-\frac{۱۶۸۰۰}{h^3}$	$\frac{۳۹۹۰}{h^3}$	۰	$-\frac{۳۹۹۰}{h^3}$	$-\frac{۱۶۸۰۰}{h^3}$	$-\frac{۲۱۰}{h^3}$	۰

هستیم که در آن $w_m(t)$ مقادیر وابسته به زمان است که همراه با شرایط مرزی :

$$U_N(a, t) = \beta_1, \quad U_N(b, t) = \beta_2, \quad (۲۴.۲)$$

$$(U_x)_N(a, t) = (U_x)_N(b, t) = 0, \quad (۲۵.۲)$$

$$(U_{xx})_N(a, t) = (U_{xx})_N(b, t) = 0, \quad (۲۶.۲)$$

و شرایط کالوکیشن

$$(U_i)_N(x_j, t) + U_N(x_j, t)(U_x)_N(x_j, t) - v(U_{xx})_N(x_j, t) = 0, \quad (۲۷.۲)$$

تعیین می شوند. معادله (۲۳.۲) را در معادله (۲۷.۲) جایگذاری می کنیم و معادله زیر را به دست می آوریم

$$\sum_{i=-3}^{N+3} \phi_i(x_j) \frac{dw_i(t)}{dt} + \sum_{i=-3}^{N+3} \phi'_i(x_j) w_i(t) \left[\sum_{i=-3}^{N+3} \phi_i(x_j) w_i(t) \right] - v \sum_{i=-3}^{N+3} \phi''_i(x_j) w_i(t) = 0 \quad (۲۸.۲)$$

که در آن $j = 0, 1, \dots, N$.

فرض کنید که w_i بین دو مرحله زمانی n و $n+1$ ام درونیابی خطی شده باشد

$$w_i = (1 - \theta)w_i^n + \theta w_i^{n+1}, \quad (۲۹.۲)$$

که در آن $0 \leq \theta \leq 1$ و w_j^n پارامتر زمان $n\Delta t$ است. از روش تفاضلات متناهی خواهیم داشت

$$\frac{dw_i}{dt} = \frac{w_i^{n+1} - w_i^n}{\Delta t} \quad (۳۰.۲)$$

و از این رو معادله (۲۸.۲) را می توانیم به صورت زیر بنویسیم

$$\sum_{i=-r}^{N+r} \phi_i(x_j) \frac{w_i^{n+1} - w_i^n}{\Delta t} + \sum_{i=-r}^{N+r} \phi_i'(x_j) (1 - \theta) w_i^n + \theta w_i^{n+1} \cdot \left[\sum_{i=-r}^{N+r} \phi_i(x_j) w_i(t) \right] = v$$

$$\sum_{i=-r}^{N+r} \phi_i''(x_j) (1 - \theta) w_i^n + \theta w_i^{n+1} = 0, \quad (31.2)$$

در (۳۱.۲) مقدار پارامتر θ را برابر با $\frac{1}{4}$ می گیریم، در این صورت به فرمول کرانک نیکلسون می رسیم که رابطه بازگشتی زیر را نتیجه می دهد

$$\sum_{i=-r}^{N+r} \left\{ \phi_i(x_j) + \frac{\Delta t}{4} \phi_i'(x_j) \left(\sum_{k=-r}^{N+r} \phi_k(x_j) w_k(t) \right) - \frac{v \Delta t}{4} \phi_i''(x_j) \right\} w_i^{n+1} = \sum_{i=-r}^{N+r} \left\{ \phi_i(x_j) - \frac{\Delta t}{4} \phi_i'(x_j) \left(\sum_{k=-r}^{N+r} \phi_k(x_j) w_k(t) \right) + \frac{v \Delta t}{4} \phi_i''(x_j) \right\} w_i^n. \quad (32.2)$$

از مقادیر مفروض در جدول (۵.۲) استفاده کرده، معادله (۳۲.۲) را در نقاط گره ای x_j برای $j = 0, 1, 2, \dots, N$ را بدست می آوریم. بنابراین در $x = x_0$ معادله (۳۲.۲) بصورت زیر می شود

$$a. w_{-r}^{n+1} + b. w_{-r}^{n+1} + c. w_{-1}^{n+1} + d. w_0^{n+1} + e. w_1^{n+1} + f. w_r^{n+1} + g. w_r^{n+1} =$$

$$a'. w_{-r}^n + b'. w_{-r}^n + c'. w_{-1}^n + d'. w_0^n + e'. w_1^n + f'. w_r^n + g'. w_r^n, \quad (33.2)$$

که در آن

$$a. = 1 - r_1 Z_{-r} - r_1, \quad a'. = 1 + r_1 Z_{-r} + r_1,$$

$$b. = 120 - 56 r_1 Z_{-r} - 24 r_1, \quad b'. = 120 + 56 r_1 Z_{-r} + 24 r_1,$$

$$c. = 1191 - 245 r_1 Z_{-r} - 15 r_1, \quad c'. = 1191 + 245 r_1 Z_{-r} + 15 r_1,$$

$$d_i = 2416 + 80r_r, \quad d'_i = 2416 - 80r_r,$$

$$e_i = 1191 + 245r_1 Z_{i-r} - 15r_r, \quad e'_i = 1191 - 245r_1 Z_{i-r} + 15r_r,$$

$$f_i = 120 + 56r_1 Z_{i-r} - 24r_r, \quad f'_i = 120 - 56r_1 Z_{i-r} + 24r_r,$$

$$g_i = 1 + r_1 Z_{i-r} - r_r, \quad g'_i = 1 - r_1 Z_{i-r} + r_r.$$

در ازای $\tau_r = \frac{21v\Delta t}{h^2}$ ، $r_1 = \frac{v\Delta t}{h}$

$$Z_{i-r} = w_{-r} + 120w_{-r} + 1191w_{-1} + 2416w_0 + 1191w_1 + 120w_2 + w_r$$

در $x = x_i$ معادله (۳۲.۲) را بصورت زیر خواهیم داشت:

$$a_i w_{i-r}^{n+1} + b_i w_{i-r}^{n+1} + c_i w_{i-1}^{n+1} + d_i w_i^{n+1} + e_i w_{i+1}^{n+1} + f_i w_{i+2}^{n+1} + g_i w_{i+r}^{n+1} =$$

$$a'_i w_{i-r}^n + b'_i w_{i-r}^n + c'_i w_{i-1}^n + d'_i w_i^n + e'_i w_{i+1}^n + f'_i w_{i+2}^n + g'_i w_{i+r}^n, \quad (34.2)$$

که در آن

$$a_i = 1 - r_1 Z_{i-r} - r_r, \quad a'_i = 1 + r_1 Z_{i-r} + r_r,$$

$$b_i = 120 - 56r_1 Z_{i-r} - 24r_r, \quad b'_i = 120 + 56r_1 Z_{i-r} + 24r_r,$$

$$c_i = 1191 - 245r_1 Z_{i-r} - 15r_r, \quad c'_i = 1191 + 245r_1 Z_{i-r} + 15r_r,$$

$$d_i = 2416 + 80r_r, \quad d'_i = 2416 - 80r_r,$$

$$e_i = 1191 + 245r_1 Z_{i-r} - 15r_r, \quad e'_i = 1191 - 245r_1 Z_{i-r} + 15r_r,$$

$$f_i = 120 + 56r_1 Z_{i-r} - 24r_r, \quad f'_i = 120 - 56r_1 Z_{i-r} + 24r_r,$$

$$g_i = 1 + r_1 Z_{i-r} - r_r, \quad g'_i = 1 - r_1 Z_{i-r} + r_r,$$

$$Z_{i-r} = w_{i-r} + 120w_{i-r} + 1191w_{i-1} + 2416w_i + 1191w_{i+1} + 120w_{i+2} + w_{i+r}$$

سیستم (۳۴.۲) شامل $N+1$ معادله در $N+7$ مجهول

از این سیستم، شش محدودیت نیاز داریم. این محدودیت ها از شرایط مرزی بدست می آیند که $w_{-3}, w_{-2}, w_{-1}, w_0, \dots, w_N, w_{N+1}, w_{N+2}, w_{N+3}$ را از سیستم حذف می کند. سپس معادله ماتریسی سیستم را داریم

$$A(w^n)w^{n+1} = B(w^n)w^n + r \quad (35.2)$$

که در آن $A(w^n)$ و $B(w^n)$ ماتریس های $(N+1) \times (N+1)$ هفت قطری هستند و r بردار ستونی $N+1$ بعدی است. الگوریتم هفت قطری را برای حل سیستم استفاده می کنیم. شرط اولیه

$$U_N(x, \circ) = \sum_{i=-3}^{N+3} \phi_i(x) w_i \quad (36.2)$$

را برای تعیین حالت اولیه $\{w_{-3}, w_{-2}, \dots, w_{N+2}, w_{N+3}\}$ بکار می بریم.

جواب تقریب $U_N(n, \circ)$ در شرایط زیر باید صدق کند:

الف) آن باید با شرط اولیه $u(x, \circ)$ در گره x_j برابر باشد.

ب) مشتق مرتبه اول، دوم و سوم تقریب شرط اولیه باید با مشتق مرتبه اول، دوم و سوم

شرط اولیه دقیق در هر دو انتهای دامنه موافق باشند.

این دو شرط را میتوان به صورت زیر بیان کرد:

$$(U_x)_N(x_0, \circ) = u_x(a, \circ) = \circ, \quad (U_{xx})_N(x_0, \circ) = u_{xx}(a, \circ) = \circ, \quad (U_{xxx})_N(x_0, \circ) =$$

$$u_{xxx}(a, \circ) = \circ, \quad U_N(x_i, \circ) = u(x_i, \circ), \quad i = 0, 1, \dots, N, \quad (U_{xxx})_N(x_N, \circ) = u_{xxx}(b, \circ) = \circ,$$

$$(U_{xx})_N(x_N, \circ) = u_{xx}(b, \circ) = \circ, \quad (U_x)_N(x_N, \circ) = u_x(b, \circ) = \circ, \quad (37.2)$$

از دستگاه (۳۷.۲) پارامترهای w_{N+3}^* , w_{N+2}^* , w_{N+1}^* و w_{-1}^* , w_{-2}^* , w_{-3}^* حذف می کنیم در نتیجه خواهیم داشت

$$Aw^* = r \tag{۳۸.۲}$$

که A ماتریس هفت قطری مفروض است:

$$A = \begin{bmatrix} 1536 & 2712 & 768 & 24 & 0 & 0 & 0 & 0 & \dots & 0 \\ 82721 & 2105685 & 104746 & 100635 & 1 & 0 & 0 & 0 & \dots & 0 \\ \frac{81}{9600} & \frac{81}{96897} & \frac{81}{195768} & \frac{81}{96474} & 120 & 1 & 0 & 0 & \dots & 0 \\ 1 & 120 & 1191 & 2416 & 1191 & 120 & 1 & 0 & \dots & 0 \\ \vdots & & & & & & & & & \\ 0 & \dots & 0 & 1 & 120 & 1191 & 2416 & 1191 & 120 & 1 \\ 0 & \dots & 0 & 0 & 1 & 120 & \frac{96474}{81} & \frac{195768}{81} & \frac{96897}{81} & \frac{9600}{81} \\ 0 & \dots & 0 & 0 & 0 & 1 & \frac{100635}{81} & \frac{104746}{81} & \frac{2105685}{81} & \frac{82721}{81} \\ 0 & \dots & 0 & 0 & 0 & 0 & 24 & 768 & 2712 & 1536 \end{bmatrix}$$

$$w^* = [w_{-3}^*, w_{-2}^*, \dots, w_N^*]^T \text{ و}$$

۷.۲ آنالیز پایداری

پایداری ون - نویمان را برای سیستم (۳۴.۲) بکار می بریم. ابتدا باید آن را خطی کنیم، برای این منظور قرار می دهیم

$$Z_{i-3} = (d + 120d + 1191d + 2416d + 1191d + 120d + d) = 5040d$$

برطبق ون - نویمان داریم

$$w_j^n = \xi^n \exp(qkjh), \quad q = \sqrt{-1}, \tag{۳۹.۲}$$

که در آن h اندازه عنصر است که برای طرح عددی خطی تعیین خواهد شد. در $x = x_j$ معادله (۳۴.۲) را به صورت زیر می نویسیم

$$a_j w_{j-3}^{n+1} + b_j w_{j-2}^{n+1} + c_j w_{j-1}^{n+1} + d_j w_j^{n+1} + e_j w_{j+1}^{n+1} + f_j w_{j+2}^{n+1} + g_j w_{j+3}^{n+1} =$$

$$a'_j w_{j-3}^n + b'_j w_{j-2}^n + c'_j w_{j-1}^n + d'_j w_j^n + e'_j w_{j+1}^n + f'_j w_{j+2}^n + g'_j w_{j+3}^n \quad (۴۰.۲)$$

معادله (۳۹.۲) را در معادله بازگشتی (۴۰.۲) بصورت زیر جایگذاری می کنیم

$$\begin{aligned} \xi_{n+1} \{ & a_j \exp((j-3)qkh) + b_j \exp((j-2)qkh) + c_j \exp((j-1)qkh) + d_j \exp(jqkh) + \\ & e_j \exp((j+1)qkh) + f_j \exp((j+2)qkh) + g_j \exp((j+3)qkh) \} = \xi_n \{ a'_j \exp((j-3)qkh) \\ & + b'_j \exp((j-2)qkh) + c'_j \exp((j-1)qkh) + d'_j \exp(jqkh) + e'_j \exp((j+1)qkh) + \\ & f'_j \exp((j+2)qkh) + g'_j \exp((j+3)qkh) \} \end{aligned} \quad (۴۱.۲)$$

که در آن $j = 0, 1, \dots, N$ و

$$a_j = 1 - mr_1 - r_2, \quad a'_j = 1 + mr_1 + r_2$$

$$b_j = 120 - 56mr_1 - 24r_2, \quad b'_j = 120 + 56mr_1 + 24r_2$$

$$c_j = 1191 - 245mr_1 - 15r_2, \quad c'_j = 1191 + 245mr_1 + 15r_2,$$

$$d_j = 2416 - 80r_2, \quad d'_j = 2416 + 80r_2,$$

$$e_j = 1191 + 245mr_1 - 15r_2, \quad e'_j = 1191 - 245mr_1 + 15r_2,$$

$$f_j = 120 + 56mr_1 - 24r_2, \quad f'_j = 120 - 56mr_1 + 24r_2,$$

$$g_j = 1 + mr_1 - r_2, \quad g'_j = 1 - mr_1 + r_2,$$

به ازای $m = 5040d$.

هر دو طرف معادله (۴۱.۲) را بر $\exp(jqkh)$ تقسیم می کنیم و معادله زیر را بدست می

آوریم

$$\xi_{n+1} \{ a_j \exp(-3qkh) + b_j \exp(-2qkh) + c_j \exp(-qkh) + d_j + e_j \exp(qkh) + f_j \exp(2qkh) +$$

$$g_j \exp(3qkh) \} = \xi_n \{ a'_j \exp(-3qkh) + b'_j \exp(-2qkh) + c'_j \exp(-qkh) + d'_j + e'_j \exp(qkh)$$

$$+ f_j' \exp(\nu qkh) + g_j' \exp(\nu qkh) \} \quad (۴۲.۲)$$

معادله (۴۲.۲) را به شکل ساده تری دوباره می نویسیم

$$(X_1 + qY)\xi^{n+1} = (X - qY)\xi^n, \quad (۴۳.۲)$$

که در آن X_1 ، X و Y بصورت زیر اند:

$$X_1 =$$

$$\nu(1 - r_\nu) \cos(\nu kh) + \nu(120 - 24r_\nu) \cos(2kh) + \nu(1191 - 15r_\nu) \cos(kh) + 2416 + 80r_\nu,$$

$$X =$$

$$\nu(1 + r_\nu) \cos(\nu kh) + \nu(120 + 24r_\nu) \cos(2kh) + \nu(1191 + 15r_\nu) \cos(kh) + 2416 - 80r_\nu,$$

$$Y = \nu(r \sin(\nu kh) + 56r \sin(2kh) + 24r \sin(kh)),$$

که در آن $r = mr_1$ حال قرار می دهیم

$$g = \frac{\xi^{n+1}}{\xi^n} \quad (۴۴.۲)$$

با استفاده از (۴۳.۲) و (۴۴.۲) داریم

$$g = \frac{X - qY}{X_1 + qY}, \quad (۴۵.۲)$$

که X_1 و X را دوباره به شکل زیر میتوان نوشت:

$$X_1 = 4 \left[\cos^2\left(\frac{\nu kh}{\nu}\right) + 120 \cos^2(kh) + 1191 \cos^2\left(\frac{kh}{\nu}\right) - 52 \right] - 4r_\nu \left[\cos^2\left(\frac{\nu kh}{\nu}\right) + 24 \cos^2(kh) + 15 \cos^2\left(\frac{kh}{\nu}\right) - 40 \right],$$

$$X = 4 \left[\cos^2\left(\frac{\nu kh}{\nu}\right) + 120 \cos^2(kh) + 1191 \cos^2\left(\frac{kh}{\nu}\right) - 52 \right] + 4r_\nu \left[\cos^2\left(\frac{\nu kh}{\nu}\right) + 24 \cos^2(kh) + 15 \cos^2\left(\frac{kh}{\nu}\right) - 40 \right],$$

توجه داشته باشید که $X \leq X_1$ بنابراین $|g| = \sqrt{gg} = \sqrt{\frac{X^2 + Y^2}{X_1^2 + Y_1^2}} \leq 1$ بنابراین طرح عددی خطی برای معادله برگرز بدون هیچ قید و شرط پایدار است.

۸.۲ نتایج عددی

حل عددی معادله برگرز و برگرز اصلاح شده برای دو مسئله استاندارد بدست می آوریم. دقت روش عددی با محاسبه تفاضل بین جواب عددی و تحلیلی در هر نقطه گره شبکه و نرم خطای L_2 و L_∞ مورد بررسی قرار می گیرد.

مثال ۱.۸.۲. یک جواب تحلیلی از معادله برگرز را بفرم زیر در نظر می گیریم

$$u(x, t) = \frac{x/t}{1 + \sqrt{(t/t_0) \exp(x^2/(4vt))}}, \quad t \geq 1, \quad 0 \leq x \leq 1, \quad (46.2)$$

که در آن $t_0 = \exp(1/8v)$ و شرط اولیه را وقتی $t = 1$ در معادله قرار می دهیم بدست می آوریم. شرایط مرزی

$$u(a, t) = u(b, t) = 0, \quad u_x(a, t) = u_x(b, t) = 0,$$

$$u_{xx}(a, t) = u_{xx}(b, t) = 0, \quad u_{xxx}(a, t) = u_{xxx}(b, t) = 0.$$

نتایج بدست آمده در جدول (۶.۲) - (۸.۲) خلاصه شده است و همچنین نمودارهای (۷.۲) - (۹.۲) رفتار جواب عددی را در زمان های مختلف نشان می دهد. شکل ها نشان می دهند که هر چه زمان افزایش می یابد منحنی جواب عددی از بین می رود.

مثال ۲.۸.۲. برای حل معادله برگرز اصلاح شده به فرم زیر

$$u_t + u^2 u_x - v u_{xx} = 0, \quad (47.2)$$

جدول ۶.۲: نرم خطای L_r و L_∞ در $\Delta x = 0.005$, $\Delta t = 0.01$ و $v = 0.0015$.

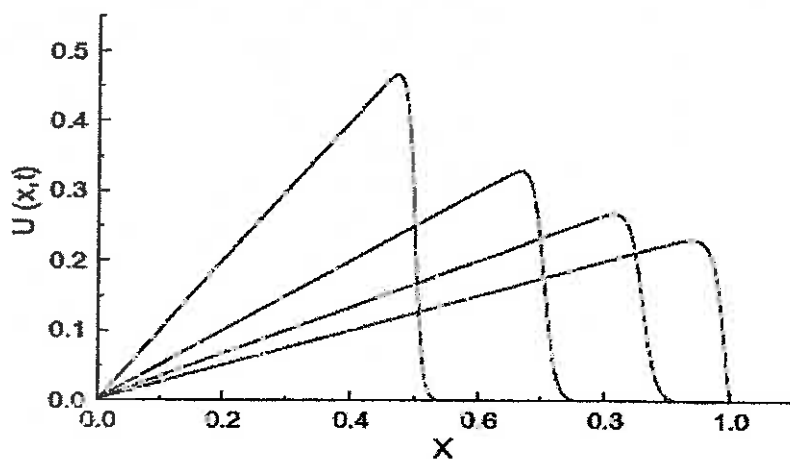
Time	$L_r \times 10^r$	$L_\infty \times 10^r$
۱.۲۰۰	۰.۳۸۵۳۸۷۹۴۹۸	۳.۲۳۶۸۴۷۶۶۵۲
۱.۴۰۰	۰.۴۶۴۴۳۴۸۰۷۳۸	۳.۳۴۸۸۹۲۶۸۷۹
۱.۶۰۰	۰.۴۹۶۴۷۴۹۴۰۶	۳.۱۹۲۳۲۳۸۳۱۹
۱.۸۰۰	۰.۵۰۹۲۷۹۰۳۴۶	۲.۹۸۶۷۸۹۵۷۲۱
۲.۰۰۰	۰.۵۱۲۵۱۴۷۴۹۲	۲.۷۸۳۱۵۰۱۳۲۸
۲.۲۰۰	۰.۵۱۰۵۹۶۱۲۷۷	۲.۵۹۵۱۲۱۲۰۸۵
۲.۴۰۰	۰.۵۰۵۸۰۱۱۵۰۵	۲.۴۲۵۵۴۴۶۵۴۶
۲.۸۰۰	۰.۴۹۲۱۰۹۶۹۳۶	۲.۱۳۸۰۴۶۰۷۳
۳.۰۰۰	۰.۴۸۴۳۹۱۱۶۳۹	۲.۰۱۶۴۷۳۷۹۶۵
۳.۴۰۰	۰.۴۶۸۷۳۰۸۳۱۳	۱.۸۰۸۶۹۴۳۳۷۷
۳.۷۰۰	۰.۶۴۴۶۳۱۸۳۹۵	۴.۷۰۸۱۹۱۴۰۵۱

جدول ۷.۲: نرم خطای L_r و L_∞ در $\Delta x = 0.02$, $\Delta t = 0.01$ و $v = 0.01$.

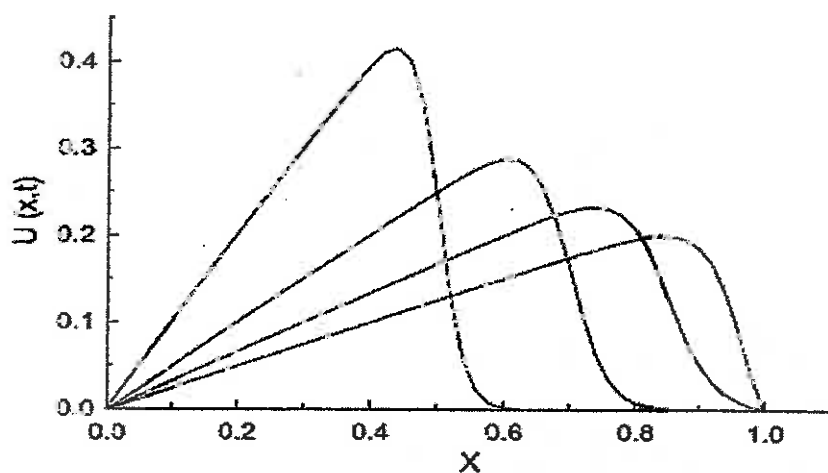
Time	$L_r \times 10^r$	$L_\infty \times 10^r$
۱.۲۰۰	۰.۵۸۱۴۳۱۷۱۶۶	۳.۱۳۵۴۰۶۲۷۳۰
۱.۴۰۰	۰.۶۴۶۷۶۱۷۶۷۸	۲.۹۳۱۳۴۸۸۴۳۴
۱.۶۰۰	۰.۶۷۶۰۹۵۱۵۶۴	۲.۶۹۲۲۶۴۵۵۲۵
۱.۸۰۰	۰.۶۸۷۶۱۸۳۷۳۴	۲.۴۷۱۸۹۱۵۴۳۸
۲.۰۰۰	۰.۶۸۹۵۳۵۰۸۲۱	۲.۳۷۶۶۵۷۴۰۰۱
۲.۲۰۰	۰.۶۸۶۰۱۶۶۶۱۶	۲.۲۷۳۱۹۲۱۸۹۶
۲.۴۰۰	۰.۶۷۹۴۳۲۸۰۶۶	۲.۱۶۷۸۴۷۷۵۰۶
۲.۸۰۰	۰.۶۸۳۰۷۰۶۲۵۵	۱.۹۶۸۹۵۲۲۷۸۶
۳.۰۰۰	۰.۸۲۹۵۱۳۲۸۱۹	۲.۹۵۷۲۴۷۲۴۰۷
۳.۲۰۰	۱.۴۸۵۵۹۸۱۹۱۷	۷.۴۹۱۴۶۴۸۷۱۳

جدول ۸.۲: نرم خطای L_r و L_∞ در $\Delta x = 0.02$, $\Delta t = 0.01$ و $v = 0.01$.

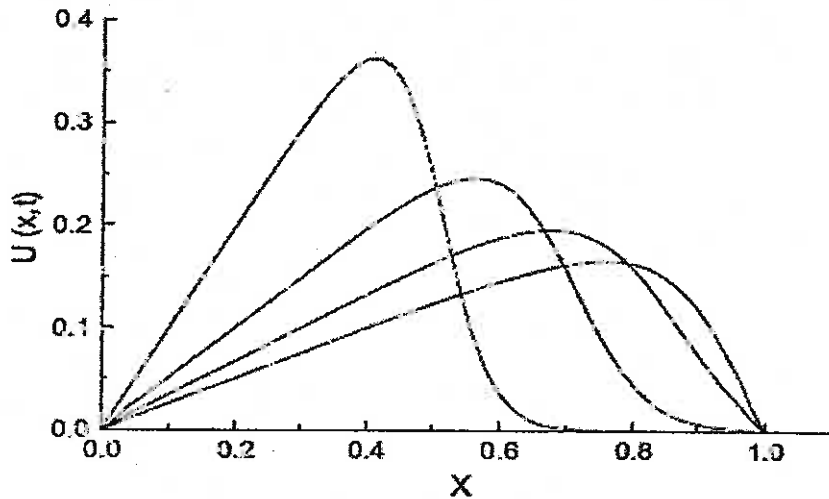
Time	$L_r \times 10^r$	$L_\infty \times 10^r$
۱.۱۰۰	۰.۴۶۶۴۸۷۴۹۴۵	۲.۸۶۸۳۰۵۵۴۷۰
۱.۳۰۰	۰.۶۱۷۴۶۱۳۰۱۰	۳.۴۷۱۶۳۴۲۱۹۷
۱.۵۰۰	۰.۶۷۷۵۲۹۵۹۴۹	۳.۳۵۴۷۵۶۶۹۶۱
۱.۷۰۰	۰.۶۹۹۱۰۱۰۰۵۳	۳.۱۳۴۷۶۲۹۳۵۱
۱.۹۰۰	۰.۷۰۶۰۸۷۵۶۹۰	۲.۸۸۸۰۴۱۴۳۴۳
۲.۱۰۰	۰.۷۲۹۷۶۶۸۸۸۱۹	۲.۶۶۹۸۶۶۰۶۴۰
۲.۳۰۰	۰.۸۷۳۱۱۷۱۷۳۴	۲.۸۰۷۶۵۰۰۲۰۱
۲.۶۰۰	۱.۷۴۵۷۰۰۴۵۳۶	۸.۰۶۷۹۸۳۷۰۴۰



شکل ۷.۲: ارتباط بین جواب عددی و فاصله در $\Delta x = 0.005$ ، $\Delta t = 0.01$ و $v = 0.0015$.



شکل ۸.۲: ارتباط بین جواب عددی و فاصله در $\Delta x = 0.02$ ، $\Delta t = 0.01$ و $v = 0.005$.



شکل ۹.۲: ارتباط بین جواب عددی و فاصله در $\Delta x = 0.2$ ، $\Delta t = 0.1$ و $v = 0.1$.

از (Z_{j-2}^n) به جای (Z_{j-2}) در طرح عددی (۴۰.۲) استفاده می کنیم. جواب تحلیلی معادله برگرز اصلاح شده بصورت زیر است:

$$u(x, t) = \frac{x/t}{1 + \sqrt{t/c.} \exp(x^2/(4vt))}, \quad t \geq 1, \quad 0 \leq x \leq 1, \quad (48.2)$$

که $1 < c \leq 1$. شرایط مرزی زیر را استفاده می کنیم:

$$u(a, t) = 0 = u(b, t), \quad u_x(a, t) = 0 = u_x(b, t),$$

$$u_{xx}(a, t) = 0 = u_{xx}(b, t), \quad u_{xxx}(a, t) = 0 = u_{xxx}(b, t).$$

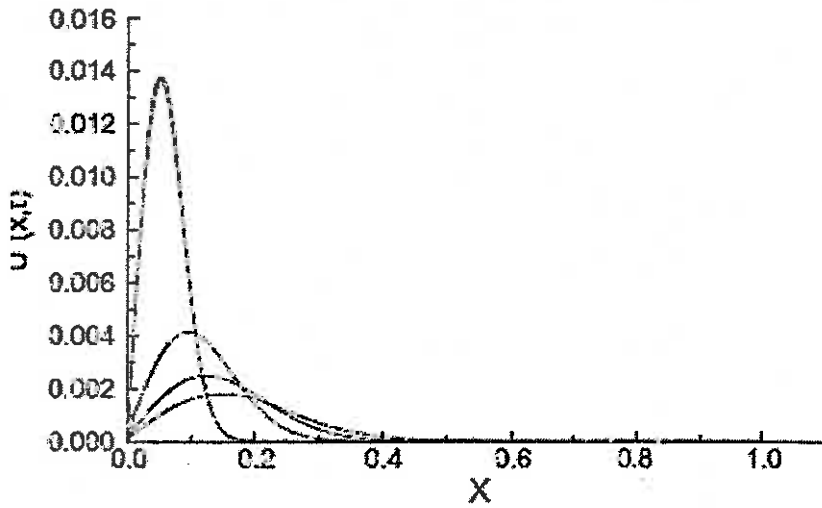
دقت طرح عددی با محاسبه نرم خطای L_2 و L_∞ برای این مسئله بررسی می شود. نتایج بدست آمده در جداول (۹.۲) و (۱۰.۲) خلاصه شده است. همچنین نمودار هایی که در ادامه می آیند رفتار جواب عددی را در زمان های مختلف $t = 1, t = 4, t = 7$ و $t = 10$ نشان می دهند که به ترتیب بالاترین نمودار در شکل هار مربوط به $t = 1$ و پایین ترین نمودار مربوط به $t = 10$ می باشد.

جدول ۹.۲: نرم خطا L_2 و L_∞ در $\Delta x = 0.05$ ، $\Delta t = 0.01$ و $v = 0.001$.

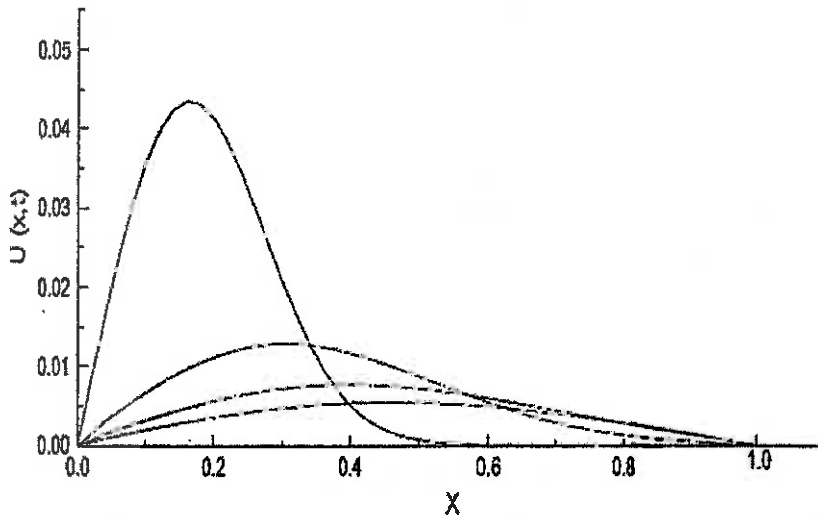
Time	$L_2 \times 10^3$	$L_\infty \times 10^3$
۲	.۱۸۳۵۴۹۱۱۹۰	.۸۱۸۵۳۱۱۱۱۲
۳	.۱۴۴۱۴۲۴۳۳۵	.۵۲۳۴۸۳۳۳۴۶
۴	.۱۱۴۴۱۱۰۷۸۳	.۳۵۶۳۵۳۷۲۰۷
۵	.۰۹۴۷۸۶۵۲۷۲	.۲۵۴۹۷۹۰۰۵۸
۶	.۰۸۱۴۱۷۴۶۷۷	.۲۱۳۴۸۴۷۸۳۵
۷	.۰۷۱۸۹۷۷۷۵۷	.۱۸۸۰۰۴۸۴۳۲
۸	.۰۶۴۸۳۶۸۹۴۲	.۱۶۸۲۶۰۱۷۷۰
۹	.۰۵۹۴۱۱۴۹۷۰	.۱۵۲۴۰۷۴۹۶۶
۱۰	.۰۵۵۱۱۵۱۴۵۶	.۱۳۹۴۳۱۲۱۲۷

جدول ۱۰.۲: نرم خطا L_2 و L_∞ در $\Delta x = 0.02$ ، $\Delta t = 0.01$ و $v = 0.01$.

Time	$L_2 \times 10^3$	$L_\infty \times 10^3$
۲	.۷۹۰۴۲۹۶۶۲۰	۱.۷۰۳۰۹۲۱۱۸۸
۳	.۶۵۵۱۹۲۸۲۹۰	۱.۱۸۳۲۶۹۸۲۱۶
۴	.۵۵۷۶۷۹۴۲۶۴	.۹۹۶۴۵۲۳۳۶۸
۵	.۵۱۰۵۶۱۷۵۳۶	.۸۵۶۱۳۴۲۴۴۵
۶	.۵۱۶۷۲۲۹۵۷۵	.۷۶۱۰۵۳۰۰۶۰
۷	.۵۶۷۷۴۳۸۶۱۴	۱.۰۶۵۴۵۴۸۰۹۰
۸	.۶۴۲۷۵۴۲۲۶۶	۱.۳۵۸۱۱۱۳۶۳۵
۹	.۷۲۳۶۴۳۰۲۵۷	۱.۶۰۴۸۳۰۶۶۵۳
۹	.۸۰۰۲۵۶۴۲۰۱	۱.۸۰۲۳۹۳۸۵۵۳



شکل ۱۰.۲: ارتباط بین جواب عددی و فاصله در $\Delta x = 0.005$ ، $\Delta t = 0.01$ و $v = 0.001$.



شکل ۱۱.۲: ارتباط بین جواب عددی و فاصله در $\Delta x = 0.02$ ، $\Delta t = 0.01$ و $v = 0.01$.

فصل ۳

حل معادله تلگراف با استفاده از B -

اسپلاین مرتبه ۴

۱.۲ مقدمه

در این فصل، یک روش عددی بر اساس توابع B - اسپلاین و روش کالوکیشن^۱ برای حل معادله دیفرانسیل هذلولوی خطی مرتبه دوم تلگراف^۲، استفاده خواهد شد. در پایان فصل نتایج عددی ارائه شده است که نشان دهنده این است که روش یک تکنیک کاربردی و همچنین تقریبی بسیار خوب از جواب دقیق مسئله است.

۲.۳ معرفی معادله

معادله دیفرانسیل تلگراف هذلولوی خطی مرتبه دوم در فضای یک بعدی را به صورت زیر در نظر می گیریم

$$\frac{\partial^2 u}{\partial t^2} + \alpha \frac{\partial u}{\partial t} + \beta^2 u = \frac{\partial^2 u}{\partial x^2} + f(x, t), \quad a \leq x \leq b, \quad t \geq 0, \quad (1.3)$$

با شرایط اولیه

$$u(x, 0) = f_0(x), \quad a \leq x \leq b, \quad (2.3)$$

$$\frac{\partial u(x, 0)}{\partial t} = f_1(x), \quad a \leq x \leq b, \quad (3.3)$$

و شرایط مرزی دیریکله^۳

$$u(a, t) = g_0(t), \quad u(b, t) = g_1(t), \quad t \geq 0, \quad (4.3)$$

که در آن α و β ضرایب ثابت و معلوم هستند. فرض می کنیم توابع $f_0(x)$ ، $f_1(x)$ و مشتق های آنها توابعی پیوسته از x می باشند، همچنین توابع $g_i(t)$ ($i = 0, 1$) و مشتقاتشان،

^۱Collocation method

^۲Second-order linear hyperbolic telegraph equation

^۳Dirichlet boundary conditions

توابعی پیوسته از t هستند. ولتاژ الکتریکی^۴ و جریان^۵ هر دو در یک رسانا^۶ در معادله تلگراف صدق می کند که در آن x فاصله و t زمان است. برای $\alpha > 0$ و $\beta = 0$ معادله (۱.۳) با معادله موج میرا^۷ متناظر می باشد و برای $\alpha > 0$ و $\beta > 0$ معادله را معادله تلگراف می نامیم. معادله دیفرانسیل با مشتقات جزئی هذلولوی ساختارهای ارتعاشات (برای مثال ساختمان، تیرها^۸ و ماشین آلات) طراحی می کند و پایه ای برای معادلات بنیادی^۹ در فیزیک اتمی^{۱۰} است.

نظریه توابع اسپلاین در زمینه های تقریب توابع، مسائل مقدار مرزی^{۱۱} و معادلات با مشتقات جزئی زمانی که جنبه های عددی مورد نظر می باشد، بسیار کاربرد دارد. در میان طبقات مختلف اسپلاین ها، اسپلاین های چند جمله ای مورد توجه بیشتری هستند بدلیل اینکه آنها یک پایه از B - اسپلاین ها [۲۵]-[۲۸] فراهم می کنند که می تواند دقیق و کارآمد محاسبه شود. بعنوان چندجمله های قطعه ای، B - اسپلاین ها ابزاری اساسی برای روش های عددی در بدست آوردن حل معادلات دیفرانسیل هستند. در این فصل از پایان نامه حل عددی معادله دیفرانسیل هذلولوی با استفاده از B - اسپلاین مرتبه ۴ و روش کالوکیشن مورد بررسی قرار خواهد گرفت. موفقیت روش کالوکیشن B - اسپلاین وابسته به انتخاب پایه B - اسپلاین است. پایه B - اسپلاین مرتبه ۴ به منظور ایجاد راه

^۴Electric voltage

^۵Current

^۶Conductor

^۷Damped wave equation

^۸Beams

^۹Fundamental equations

^{۱۰}Atomic physics

^{۱۱}Boundary value problems

حل تقریبی برای برخی معادلات دیفرانسیل استفاده شده است [۲۹]-[۳۳].

۳.۳ روش کالوکیشن B - اسپلاین مرتبه ۴

فرض کنید Ω یک افراز یکنواخت از بازه $[a, b]$ به صورت $a = x_0 < x_1 < \dots < x_N = b$ باشد

که در آن $h = x_{j+1} - x_j$ و $j = 0, 1, \dots, N-1$

مجموعه B - اسپلاین های مرتبه چهار $\{Q_{-2}, Q_{-1}, \dots, Q_{N+1}\}$ یک پایه روی $[a, b]$

تشکیل می دهد [۲۷].

فرض کنید $Q_m(x)$ که $m = -2, -1, \dots, N+1$

$$Q_m(x) = \begin{cases} (x - x_{m-2})^4 & x \in [x_{m-2}, x_{m-1}], \\ (x - x_{m-2})^4 - 5(x - x_{m-1})^4 & x \in [x_{m-1}, x_m], \\ (x - x_{m-2})^4 - 5(x - x_{m-1})^4 + 10(x - x_m)^4 & x \in [x_m, x_{m+1}], \\ (x_{m+2} - x)^4 - 5(x_{m+2} - x)^4 & x \in [x_{m+1}, x_{m+2}], \\ (x_{m+2} - x)^4 & x \in [x_{m+2}, x_{m+3}], \\ 0 & \text{در غیر این صورت.} \end{cases} \quad (5.3)$$

B - اسپلاین های مرتبه ۴ باشند، که بیرون بازه $[x_{m-2}, x_{m+2}]$ صفر است.

اکنون جواب تقریبی از مسئله (۱.۳) بصورت زیر در نظر می گیریم

$$U_N(x, t) = \sum_{m=-2}^{N+1} \delta_m(t) Q_m(x), \quad (6.3)$$

که در آن $\delta_m(t)$ مقادیر مجهول وابسته به زمان هستند که از شرایط مرزی و اولیه تعیین

می شوند. مقادیر $Q_m(x)$ و سه مشتقات اولی آن یعنی $Q_m'(x)$ ، $Q_m''(x)$ ، $Q_m'''(x)$ در گره ها در

جدول (۱.۳) بدست آورده شده است. از بسط تیلور^{۱۲} استفاده می کنیم و در ادامه فصل

از نماد $u_i = u(x, t_i)$ که در آن $t_i = t_{i-1} + \Delta t$ استفاده می کنیم. طرح های تفاضل متناهی

^{۱۲}Taylor Expansion

جدول ۱.۳: مقادیر Q_i, Q'_i, Q''_i, Q'''_i

x	x_{i-2}	x_{i-1}	x_i	x_{i+1}	x_{i+2}	x_{i+3}
Q_i	۰	۱۱	۱۱	۱	۱	۰
Q'_i	۰	$-\frac{4}{h}$	$-\frac{12}{h}$	$\frac{12}{h}$	$\frac{4}{h}$	۰
Q''_i	۰	$\frac{12}{h^2}$	$-\frac{12}{h^2}$	$-\frac{12}{h^2}$	$\frac{12}{h^2}$	۰
Q'''_i	۰	$-\frac{24}{h^3}$	$\frac{24}{h^3}$	$-\frac{24}{h^3}$	$\frac{24}{h^3}$	۰

زیر را داریم :

$$\frac{\partial^2 u(x, t_i)}{\partial t^2} = \frac{u_{i+1} - 2u_i + u_{i-1}}{(\Delta t)^2} + O((\Delta t)^2), \quad (7.3)$$

$$\frac{\partial u(x, t_i)}{\partial t} = \frac{u_{i+1} - u_i}{\Delta t} + O(\Delta t), \quad (8.3)$$

$$u(x, t_i) = \frac{u_{i+1} + u_i}{2} + O(\Delta t), \quad (9.3)$$

$$\frac{\partial^2 u(x, t_i)}{\partial x^2} = \frac{u''_{i+1} + u''_i}{2} + O(\Delta t), \quad (10.3)$$

اکنون، معادله (۱.۳) بر طبق طرح های (۷.۳)-(۱۰.۳) بصورت زیر نوشته می شود

$$\frac{u_{i+1} - 2u_i + u_{i-1}}{(\Delta t)^2} + 2\alpha \frac{u_{i+1} - u_i}{\Delta t} + \beta^2 \frac{u_{i+1} + u_i}{2} = \frac{u''_{i+1} + u''_i}{2} + f(x, t_i), \quad (11.3)$$

معادله (۱۱.۳) را بصورت زیر بازنویسی می کنیم

$$\begin{aligned} (1 + 2\alpha\Delta t + \frac{\beta^2(\Delta t)^2}{2})u_{i+1} - \frac{(\Delta t)^2}{2}u''_{i+1} &= (2 + 2\alpha\Delta t - \frac{\beta^2(\Delta t)^2}{2})u_i - u_{i-1} \\ &+ \frac{(\Delta t)^2}{2}u''_i + (\Delta t)^2 f(x, t_i), \end{aligned} \quad (12.3)$$

و شرایط اولیه داده شده در معادله های (۲.۳)-(۳.۳) را میتوان به صورت زیر نوشت:

$$u(x, 0) = f_0(x) = u_0, \quad (13.3)$$

$$u_t(x, 0) = \frac{u_1 - u_0}{\Delta t} = f_1(x), \quad (14.3)$$

$$u_1 = u_0 + \Delta t f_1(x). \quad (15.3)$$

معادله (۱۵.۳) را در معادله (۱۲.۳) جایگذاری می‌کنیم در این صورت داریم:

$$i = 1, \quad \left(1 + 2\alpha\Delta t + \frac{\beta^2(\Delta t)^2}{\gamma}\right)u_1 - \frac{(\Delta t)^2}{\gamma}u_1'' = \left(2 + 2\alpha\Delta t - \frac{\beta^2(\Delta t)^2}{\gamma}\right)u_0 - u_0 + \frac{(\Delta t)^2}{\gamma}u_0'' + (\Delta t)^2 f(x, t_1), \quad (16.3)$$

$$i = 2, \quad \left(1 + 2\alpha\Delta t + \frac{\beta^2(\Delta t)^2}{\gamma}\right)u_2 - \frac{(\Delta t)^2}{\gamma}u_2'' = \left(2 + 2\alpha\Delta t - \frac{\beta^2(\Delta t)^2}{\gamma}\right)u_1 - u_1 + \frac{(\Delta t)^2}{\gamma}u_1'' + (\Delta t)^2 f(x, t_2), \quad (17.3)$$

...

...

...

$$i = n-1, \quad \left(1 + 2\alpha\Delta t + \frac{\beta^2(\Delta t)^2}{\gamma}\right)u_{n-1} - \frac{(\Delta t)^2}{\gamma}u_{n-1}'' = \left(2 + 2\alpha\Delta t - \frac{\beta^2(\Delta t)^2}{\gamma}\right)u_{n-2} - u_{n-2} + \frac{(\Delta t)^2}{\gamma}u_{n-2}'' + (\Delta t)^2 f(x, t_{n-1}). \quad (18.3)$$

حال جواب تقریبی در نظر گرفته شده $U_N(x, t)$ را در معادله‌های (۱۶.۳) - (۱۸.۳) قرار می‌دهیم، داریم:

$$i = 1, \quad \left(1 + 2\alpha\Delta t + \frac{\beta^2(\Delta t)^2}{\gamma}\right)(U_N)_1 - \frac{(\Delta t)^2}{\gamma}(U_N)_1'' = \left(2 + 2\alpha\Delta t - \frac{\beta^2(\Delta t)^2}{\gamma}\right)u_0 - u_0 + \frac{(\Delta t)^2}{\gamma}u_0'' + (\Delta t)^2 f(x, t_1), \quad (19.3)$$

$$i = ۲, \quad (1 + ۲\alpha\Delta t + \frac{\beta^2(\Delta t)^2}{\gamma})(U_N)_۲ - \frac{(\Delta t)^2}{\gamma}(U_N)''_۲ = (۲ + ۲\alpha\Delta t - \frac{\beta^2(\Delta t)^2}{\gamma})u_۲$$

$$-u_۱ + \frac{(\Delta t)^2}{\gamma}u''_۲ + (\Delta t)^2 f(x, t_۲), \quad (۲۰.۳)$$

...

...

...

$$i = n - ۱, \quad (1 + ۲\alpha\Delta t + \frac{\beta^2(\Delta t)^2}{\gamma})(U_N)_n - \frac{(\Delta t)^2}{\gamma}(U_N)''_n = (۲ + ۲\alpha\Delta t - \frac{\beta^2(\Delta t)^2}{\gamma})u_{n-۱}$$

$$-u_{n-۲} + \frac{(\Delta t)^2}{\gamma}u''_{n-۱} + (\Delta t)^2 f(x, t_{n-۱}), \quad (۲۱.۳)$$

و شرایط مرزی را نیز میتوان بدین شکل نوشت:

$$\sum_{m=-۲}^{N+۲} \delta_m(t) Q_m(x_۰) = g_۰(t), \quad x = a, \quad ۰ \leq t \leq T, \quad (۲۲.۳)$$

$$\sum_{m=-۲}^{N+۲} \delta_m(t) Q_m(x_N) = g_۱(t), \quad x = b, \quad ۰ \leq t \leq T. \quad (۲۳.۳)$$

جواب اسپلینی از معادله (۱۹.۳) با شرایط مرزی (۲۲.۳)-(۲۳.۳) در گره های $\{x_i\}_{i=0}^N$ توسط حل دستگاه زیر بدست می آید:

$$AX = B \quad (۲۴.۳)$$

که در آن $X = [\delta_{-۲}, \delta_{-۱}, \dots, \delta_N, \delta_{N+۱}]$ بعد ماتریس A برابر با $(N+۳) \times (N+۴)$ و ماتریس B یک ماتریس ستونی با $N+۳$ سطر است که به ترتیب از سمت چپ و راست معادله های

(۱۹.۳) و شرایط مرزی (۲۲.۳)-(۲۳.۳) بصورت زیر بدست آمده است:

$$A = \begin{bmatrix} 1 & 11 & 11 & 1 & 0 & 0 & \dots & \dots & 0 \\ r_1 & r_2 & r_2 & r_1 & 0 & 0 & \dots & \dots & 0 \\ 0 & r_1 & r_2 & r_2 & r_1 & 0 & \dots & \dots & 0 \\ 0 & 0 & r_1 & r_2 & r_2 & r_1 & 0 & \dots & 0 \\ \vdots & & & & & & & & \\ 0 & 0 & 0 & 0 & \dots & r_1 & r_2 & r_2 & r_1 \\ \dots & \dots & \dots & \dots & \dots & 1 & 11 & 11 & 1 \end{bmatrix},$$

9

$$B = \begin{bmatrix} g_0(t_1) \\ (\Delta t)^2 f(x_0, t_1) - u_0(x_0) + \frac{(\Delta t)^2}{\gamma} u_0''(x_0) + (\gamma + 2\alpha\Delta t - \frac{\beta^2(\Delta t)^2}{\gamma}) u_1(x_0) \\ (\Delta t)^2 f(x_1, t_1) - u_0(x_1) + \frac{(\Delta t)^2}{\gamma} u_1''(x_1) + (\gamma + 2\alpha\Delta t - \frac{\beta^2(\Delta t)^2}{\gamma}) u_1(x_1) \\ \vdots \\ (\Delta t)^2 f(x_N, t_1) - u_0(x_N) + \frac{(\Delta t)^2}{\gamma} u_1''(x_N) + (\gamma + 2\alpha\Delta t - \frac{\beta^2(\Delta t)^2}{\gamma}) u_1(x_N) \\ g_1(t_1) \end{bmatrix}$$

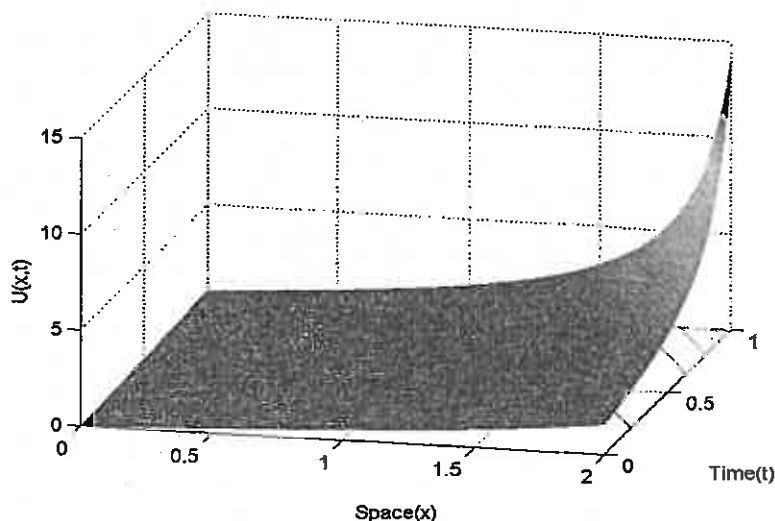
که در آن

$$r_1 = (1 + 2\alpha\Delta t + \frac{\beta^2(\Delta t)^2}{\gamma}) - \frac{\rho(\Delta t)^2}{h^2}$$

$$r_2 = 11(1 + 2\alpha\Delta t + \frac{\beta^2(\Delta t)^2}{\gamma}) + \frac{\rho(\Delta t)^2}{h^2}$$

به آسانی میتوان تقریبی مشابه برای معادله های (۲۰.۳) و (۲۱.۳) همراه با شرایط مرزی متناظر (۲۲.۳)-(۲۳.۳) بدست آورد. سیستم (۲۴.۳) را $n - 1$ بار توسط برنامه ای که براساس روش تجزیه مقدار تکین^{۱۳} نوشته ایم [۳۴]، حل می کنیم و در هر مرحله $u(x_0, t_i), u(x_1, t_i), \dots, u(x_N, t_i)$ ($i = 1, \dots, n - 1$) بدست می آوریم.

^{۱۳} Singular value decomposition method



شکل ۱.۳: نمودار سه بعدی جواب تقریبی در مثال ۱.۳.۲

۱.۳.۳ نتایج عددی

در این بخش روش توضیح داده شده را روی چند مسئله بررسی می‌کنیم.

مثال ۱.۳.۳. معادله تلگراف (۱.۳) را با $\alpha = 10$ ، $\beta = 5$ و

$f(x, t) = \alpha(1 + \tan^2(\frac{x+t}{4})) + \beta^2 \tan(\frac{x+t}{4})$ در بازه $0 \leq x \leq 2$ در نظر می‌گیریم.

همچنین شرایط اولیه و مرزی به صورت زیر داده شده است:

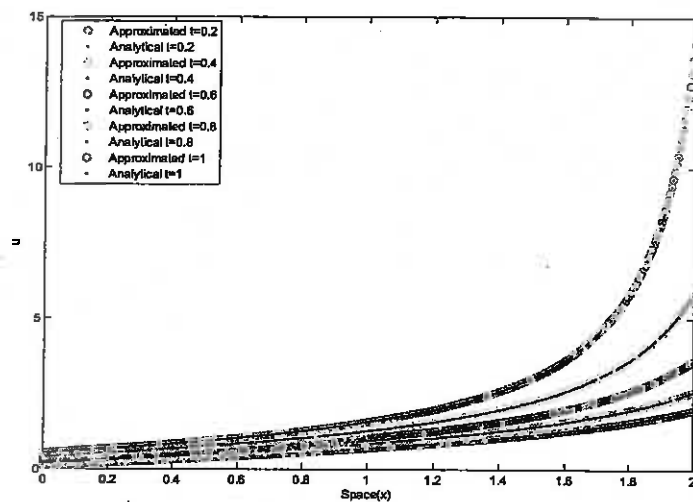
$$\begin{aligned} u(x, 0) &= \tan\left(\frac{x}{4}\right), & u_t(x, 0) &= \frac{1}{4}\left(1 + \tan^2\left(\frac{x}{4}\right)\right), \\ u(0, t) &= \tan\left(\frac{t}{4}\right), & u(2, t) &= \tan\left(\frac{2+t}{4}\right). \end{aligned}$$

جواب این مسئله را به ازای شرایط مرزی و اولیه ذکر شده در بالا بدست می‌آوریم. جواب تحلیلی این مساله $u(x, t) = \tan((x+t)/4)$ است. حال خطای میانگین مربع و خطای ماکزیمم را حساب کرده و نتایج را در جدول (۲.۳) ارائه می‌کنیم.

نمودار سه بعدی جواب تقریبی را برای $0 \leq x \leq 2$ و $0 \leq t \leq 1$ در شکل (۱.۳) نمایش می‌دهیم و همچنین به ازای t های متفاوت از مسئله جواب تقریبی و جواب دقیق مسئله

جدول ۲.۳: نتایج خطای میانگین و خطای ماکزیمم در $\Delta t = 0.001$ و $\Delta x = 0.005$ در مثال (۱.۳.۳).

t	$t = 0.2$	$t = 0.4$	$t = 0.6$	$t = 0.8$	$t = 1$
L_∞	2.774×10^{-4}	7.0782×10^{-4}	1.3848×10^{-3}	3.0930×10^{-3}	1.3424×10^{-2}
L_2	3.3189×10^{-8}	2.3067×10^{-7}	8.208×10^{-7}	3.237×10^{-6}	3.2782×10^{-5}



شکل ۲.۳: نمودار مقایسه جواب تقریبی و تحلیلی به ازای t های مختلف در مثال (۱.۳.۳).

را در شکل (۲.۳) نمایش می دهیم.

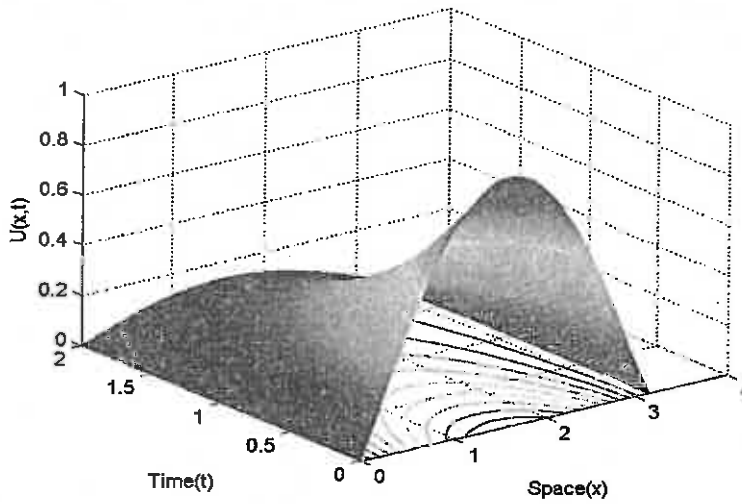
مثال ۲.۳.۳. معادله تلگراف (۱.۳) را با $\alpha = 4$ ، $\beta = 2$ و $f(x, t) = (2 - 2\alpha + \beta^2) \exp(-t) \sin(x)$

که $x \in [0, \pi]$ در نظر می گیریم. شرایط مرزی به صورت زیر داده شده است.

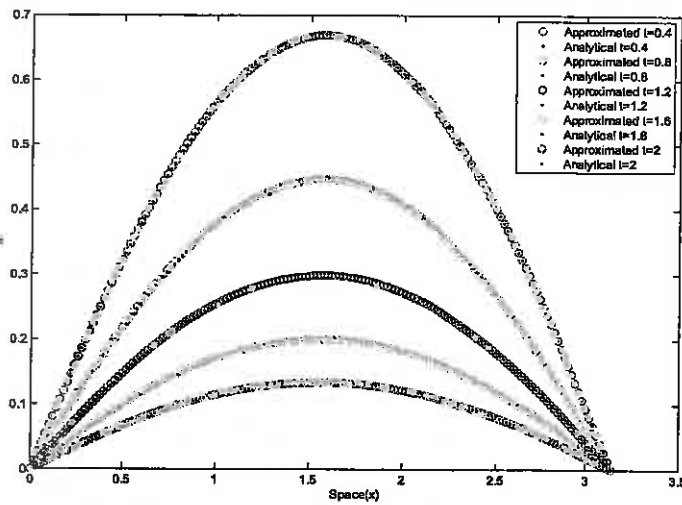
$$u(x, 0) = \sin(x), \quad u_t(x, 0) = -\sin(x),$$

$$u(0, t) = u(\pi, t) = 0.$$

در مقایسه جواب بدست آمده از روش BQCM با جواب تحلیلی مساله $u(x, t) = \exp(-t) \sin(x)$ نتایج خطای میانگین مربع و خطای ماکزیمم در جدول (۳.۳) نشان داده شده است.



شکل ۳.۳: نمودار سه بعدی جواب تقریبی در مثال (۲.۳.۳).



شکل ۴.۳: نمودار مقایسه جواب تقریبی و تحلیلی به ازای t های مختلف در مثال (۲.۳.۳).

جدول ۳.۳: نتایج خطای میانگین و خطای ماکزیمم در $\Delta x = 0.02$ و $\Delta t = 0.0001$ در مثال (۲.۳.۳).

t	$t = 1/6$	$t = 1/2$	$t = 0.8$	$t = 0.4$	t
L_∞	2.9×10^{-3}	3.2×10^{-3}	2.8×10^{-3}	2.3×10^{-3}	1.8×10^{-3}
L_2	5.8690×10^{-6}	1.0192×10^{-5}	9.3591×10^{-6}	6.9011×10^{-6}	4.5782×10^{-6}

جدول ۴.۳: نتایج خطای میانگین و خطای ماکزیمم در $\Delta x = 0.005$ و $\Delta t = 0.01$ در مثال (۳.۳.۳).

t	$t = 1$	$t = 2$	$t = 3$	$t = 4$	$t = 5$
L_∞	1.9175×10^{-4}	1.1387×10^{-4}	1.7053×10^{-4}	2.0271×10^{-4}	9.8405×10^{-5}
L_2	2.1120×10^{-8}	6.5830×10^{-9}	1.5660×10^{-8}	2.1734×10^{-8}	5.2713×10^{-9}

همچنین نمودار ۳ بعدی جواب تقریبی و نمودار به ازای t های متفاوت از مسئله برای جواب تقریبی و جواب تحلیلی به ترتیب در شکل ها (۳.۳) و (۴.۳) نمایش داده شده است.

مثال ۳.۳.۳. در این مثال معادله تلگراف (۱.۳) را با

$$f(x, t)(2 - 2t + t^2)(x - x^2) \exp(-t) + 2t^2 \exp(-t) \text{ و } \beta = 1, \alpha = \frac{1}{4}$$

برای $x \in [0, 1]$ در نظر بگیرید. شرایط اولیه و مرزی به صورت زیر داده شده است:

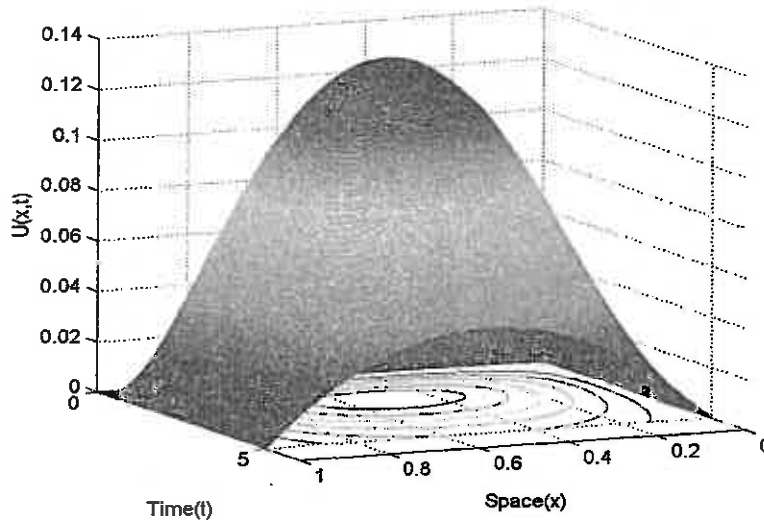
$$u(x, 0) = u_t(x, 0) = 0, \quad 0 \leq x \leq 1, \quad (25.3)$$

$$u(0, t) = u(1, t) = 0, \quad 0 \leq t \leq 5. \quad (26.3)$$

با داشتن جواب دقیق مسئله، دقت طرح ارائه شده را توسط L_∞ و L_2 بدست می آوریم و در جدول (۴.۳) نمایش می دهیم. همچنین می توان نمودار سه بعدی جواب تقریبی

جدول ۵.۳: نتایج خطای میانگین و خطای ماکزیمم در $\Delta x = 0.005$ و $\Delta t = 0.001$ در مثال (۴.۳.۳).

t	$t = 0.2$	$t = 0.4$	$t = 0.6$	$t = 0.8$	$t = 1$
L_∞	2.4279×10^{-5}	7.9315×10^{-5}	1.2097×10^{-4}	1.4883×10^{-4}	1.6462×10^{-4}
L_2	1.6998×10^{-10}	2.6707×10^{-9}	6.7849×10^{-9}	1.0726×10^{-8}	1.3438×10^{-8}



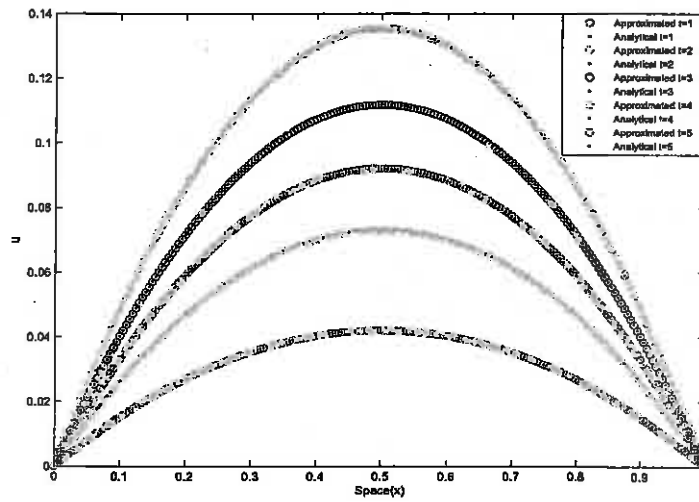
شکل ۵.۳: نمودار سه بعدی جواب تقریبی در مثال (۳.۳.۳).

مسئله و نمودار جواب دقیق و تقریبی را به ازای t های مختلف به ترتیب در شکل های (۵.۳) و (۶.۳) ارائه کرد.

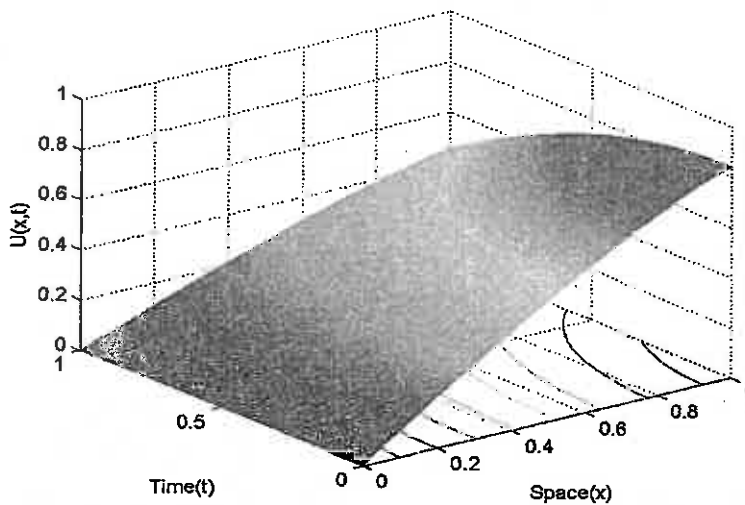
مثال ۴.۳.۴. معادله (۱.۳) را با $\alpha = 6, \beta = 2$ برای $x \in [0, 1]$ و شرایط زیر در نظر می گیریم:

$$\begin{cases} f_0(x) = \sin(x), \\ f_1(x) = 0, \\ g_0(t) = 0, \\ g_1(t) = \cos(t) \sin(1), \\ f(x, t) = -2\alpha \sin(t) \sin(x) + \beta^2 \cos(t) \sin(x). \end{cases}$$

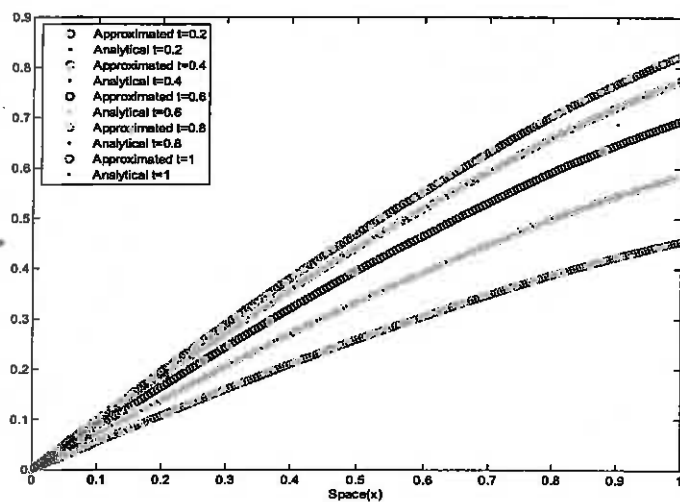
با مقایسه جواب تقریبی و جواب تحلیلی این مسئله یعنی $u(x, t) = \cos(t) \sin(x)$ خطای میانگین مربع L_2 و خطای ماکزیمم L_∞ را بدست آورده و در جدول (۵.۳) ارائه شده است. نمودار سه بعدی جواب تقریبی در شکل (۷.۳) نمایش می دهیم و به ازای بعضی از t ها



شکل ۶.۳: نمودار مقایسه جواب تقریبی و تحلیلی به ازای t های مختلف (۳.۳.۳).



شکل ۷.۳: نمودار سه بعدی جواب تقریبی در مثال (۴.۳.۳).



شکل ۸.۳: نمودار مقایسه جواب تقریبی و تحلیلی به ازای t های مختلف در مثال (۴.۳.۳).

نمودار جواب تقریبی و تحلیلی در شکل (۸.۳) با هم مقایسه شده اند.

فصل ۴

حل عددی معادله تلگراف با استفاده

از B - اسپلاین های مرتبه ۷

۱.۴ مقدمه

در این فصل، یک روش عددی بر اساس توابع B - اسپلاین مرتبه ۷^۱ و روش کالوکیشن برای حل معادله دیفرانسیل هذلولوی تلگراف، استفاده خواهد شد. در پایان فصل نتایج عددی ارائه شده است که نشان دهنده این است که روش یک تکنیک کاربردی و همچنین تقریبی بسیار خوب از جواب دقیق مسئله است.

۲.۴ آشنایی با معادله

معادله هذلولوی خطی یک بعدی مرتبه دوم را در نظر بگیرید

$$u_{tt} + \alpha u_t + \beta u = u_{xx} + f(x, t), \quad a \leq x \leq b, \quad t \geq 0, \quad (1.4)$$

با شرایط اولیه

$$u(x, 0) = f_0(x), \quad a \leq x \leq b, \quad (2.4)$$

$$\frac{\partial u(x, 0)}{\partial t} = f_1(x), \quad a \leq x \leq b, \quad (3.4)$$

و شرایط مرزی

$$u(a, t) = g_0(t), \quad u(b, t) = g_1(t), \quad u_x(a, t) = g_2(t), \quad (4.4)$$

$$u_x(b, t) = g_3(t), \quad u_{xx}(a, t) = g_4(t), \quad u_{xx}(b, t) = g_5(t), \quad (5.4)$$

^۱Septic B - spline

معادله (۱.۴) به عنوان معادله مرتبه دوم با ضرایب ثابت تلگراف شناخته می شود. این معادله به ترکیب بین پخش^۲ و انتشار موج^۳ توسط معرفی یک جمله که اثر سرعت محدود در معادله گرما یا معادله حمل و نقل^۴ حساب می کند، می سازد. معادله (۱.۴) معمولاً در آنالیز سیگنال ها برای انتقال و انتشار سیگنال های برق مورد استفاده قرار می گیرد و همچنین کاربرد هایی در سایر رشته ها نیز دارد [۳۵].

۳.۴ B - اسپلاین مرتبه ۷ و روش کالوکیشن

شبکه $a = x_0 < x_1 < \dots < x_N = b$ ، بعنوان یک افراز یکنواخت از دامنه جواب $a \leq x \leq b$ توسط گره های x_j که $j = -3, -2, -1, 0, \dots, N, N+1, N+2, N+3$ و $h = x_{j+1} - x_j$ در نظر می گیریم.

فرض کنید توابع B - اسپلاین مرتبه ۷ در گره های شبکه به صورت زیر تعریف شوند:

$$\phi_m(x) = \frac{1}{h^7} \begin{cases} (x - x_{m-4})^7, & x \in [x_{m-4}, x_{m-3}], \\ (x - x_{m-4})^7 - \lambda(x - x_{m-3})^7, & x \in [x_{m-3}, x_{m-2}], \\ (x - x_{m-4})^7 - \lambda(x - x_{m-3})^7 + 2\lambda(x - x_{m-2})^7, & x \in [x_{m-2}, x_{m-1}], \\ (x - x_{m-4})^7 - \lambda(x - x_{m-3})^7 + 2\lambda(x - x_{m-2})^7 - \delta\phi(x - x_{m-1})^7, & x \in [x_{m-1}, x_m], \\ (x_{m+4} - x)^7 - \lambda(x_{m+3} - x)^7 + 2\lambda(x_{m+2} - x)^7 - \delta\phi(x_{m+1} - x)^7, & x \in [x_m, x_{m+1}], \\ (x_{m+4} - x)^7 - \lambda(x_{m+3} - x)^7 + 2\lambda(x_{m+2} - x)^7, & x \in [x_{m+1}, x_{m+2}], \\ (x_{m+4} - x)^7 - \lambda(x_{m+3} - x)^7, & x \in [x_{m+2}, x_{m+3}], \\ (x_{m+4} - x)^7, & x \in [x_{m+3}, x_{m+4}], \\ 0, & \text{در غیر این صورت.} \end{cases}$$

مجموعه اسپلاین های $\{\phi_{-3}, \phi_{-2}, \phi_{-1}, \phi_0, \dots, \phi_N, \phi_{N+1}, \phi_{N+2}, \phi_{N+3}\}$ یک پایه برای فضای

جواب $a \leq x \leq b$ تشکیل می دهد. این بدین معنی است که مقادیر توابع B - اسپلاین

^۲ Diffusion

^۳ Wave Propagation

^۴ Mass transport Equation

مرتبه ۷ و مشتقات مرتبه اول و دوم سوم بیرون بازه $[x_{m-4}, x_{m+4}]$ صفر می باشد. مقادیر B- اسپلاین مرتبه ۷ و مشتقات آن در نقاط گره ای در جدول (۱.۴) نشان داده شده است.

جدول ۱.۴: مقادیر $\phi_m, \phi'_m, \phi''_m, \phi'''_m$

x	x_{m-4}	x_{m-3}	x_{m-2}	x_{m-1}	x_m	x_{m+1}	x_{m+2}	x_{m+3}	x_{m+4}
ϕ_i	۰	۱	۱۲۰	۱۱۹۱	۲۴۱۶	۱۱۹۱	۱۲۰	۱	۰
ϕ'_i	۰	$\frac{7}{h}$	$\frac{392}{h}$	$\frac{1715}{h}$	۰	$-\frac{1715}{h}$	$-\frac{392}{h}$	$-\frac{7}{h}$	۰
ϕ''_i	۰	$\frac{42}{h^2}$	$\frac{1008}{h^2}$	$\frac{630}{h^2}$	$-\frac{2352}{h^2}$	$\frac{630}{h^2}$	$\frac{1008}{h^2}$	$\frac{42}{h^2}$	۰
ϕ'''_i	۰	$\frac{210}{h^3}$	$\frac{1680}{h^3}$	$-\frac{3990}{h^3}$	۰	$\frac{3990}{h^3}$	$-\frac{1680}{h^3}$	$-\frac{210}{h^3}$	۰

در حل عددی معادله (۱.۴)، از روش کالوکیشن همراه با B- اسپلاین های مرتبه ۷ استفاده می کنیم. هدف یافتن جواب تقریبی $U_N(x, t)$ از جواب دقیق $u(x, t)$ به فرم

$$U_N(x, t) = \sum_{m=-3}^{N+3} \delta_m(t) \phi_m(x), \quad (6.4)$$

می باشد که در آن $\delta_m(t)$ مقادیر وابسته به زمان است که همراه با شرایط مرزی تعیین می شود:

$$U_N(a, t) = g_0(t), \quad U_N(b, t) = g_1(t), \quad (7.4)$$

$$(U_x)_N(a, t) = g_2(t), \quad (U_x)_N(b, t) = g_3(t), \quad (8.4)$$

$$(U_{xx})_N(a, t) = g_4(t), \quad (U_{xx})_N(b, t) = g_5(t). \quad (9.4)$$

در ادامه این فصل از نماد $u_i = u(x, t_i)$ که در آن $t_i = t_{i-1} + \Delta t$ استفاده می کنیم. طرح

های تفاضل متناهی زیر را داریم :

$$\frac{\partial^r u(x, t_i)}{\partial t^r} = \frac{u_{i+1} - 2u_i + u_{i-1}}{(\Delta t)^r} + O((\Delta t)^r), \quad (10.4)$$

$$\frac{\partial u(x, t_i)}{\partial t} = \frac{u_{i+1} - u_{i-1}}{2\Delta t} + O((\Delta t)^r), \quad (11.4)$$

$$u(x, t_i) = \frac{u_{i+1} + 2u_i + u_{i-1}}{4} + O((\Delta t)^r), \quad (12.4)$$

$$\frac{\partial^r u_{xx}(x, t_i)}{\partial x^r} = \frac{u''_{i+1} + u''_{i-1}}{2} + O((\Delta t)^r). \quad (13.4)$$

اکنون، معادله (۱۰.۴) بر طبق طرح های معادله های (۱۳.۴)-(۱۰.۴) جدا سازی می کنیم و خواهیم داشت

$$\frac{u_{i+1} - 2u_i + u_{i-1}}{(\Delta t)^r} + 2\alpha \frac{u_{i+1} - u_{i-1}}{2\Delta t} + \beta^r \frac{u_{i+1} + 2u_i + u_{i-1}}{4} = \frac{u''_{i+1} + u''_{i-1}}{2} + f(x, t_i). \quad (14.4)$$

معادله (۱۴.۴) را بصورت بازنویسی می کنیم

$$\begin{aligned} (1 + \alpha\Delta t + \frac{\beta^r(\Delta t)^r}{4})u_{i+1} - \frac{(\Delta t)^r}{2}u''_{i+1} &= (2 - \frac{\beta^r(\Delta t)^r}{4})u_i + (\alpha\Delta t - \\ 1 - \frac{\beta^r(\Delta t)^r}{4})u_{i-1} + \frac{(\Delta t)^r}{2}u''_{i-1} &+ (\Delta t)^r f(x, t_i), \end{aligned} \quad (15.4)$$

و شرایط اولیه داده شده در معادله (۲.۴)-(۳.۴) را میتوان به صورت زیر نوشت:

$$u(x, 0) = f_0(x) = u_0, \quad (16.4)$$

$$u_i(x, 0) = \frac{u_1 - u_0}{\Delta t} = f_1(x), \quad (17.4)$$

$$u_1 = u_0 + \Delta t f_1(x). \quad (18.4)$$

معادله (۱۸.۴) را در معادله (۱۵.۴) جایگذاری می کنیم؛ در این صورت داریم:

$$i = 1, \quad (1 + \alpha\Delta t + \frac{\beta^r(\Delta t)^r}{4})u_r = \frac{(\Delta t)^r}{2}u''_r = (2 - \frac{\beta^r(\Delta t)^r}{4})u_1 - (\alpha\Delta t -$$

$$1 - \frac{\beta^r(\Delta t)^r}{\mathcal{F}})u_0 + \frac{(\Delta t)^r}{\Upsilon}u_0'' + (\Delta t)^r f(x, t_1), \quad (19.4)$$

$$i = 2, \quad (1 + \alpha\Delta t + \frac{\beta^r(\Delta t)^r}{\mathcal{F}})u_r - \frac{(\Delta t)^r}{\Upsilon}u_r'' = (\Upsilon - \frac{\beta^r(\Delta t)^r}{\Upsilon})u_r - (\alpha\Delta t -$$

$$1 - \frac{\beta^r(\Delta t)^r}{\mathcal{F}})u_1 + \frac{(\Delta t)^r}{\Upsilon}u_r'' + (\Delta t)^r f(x, t_r), \quad (20.4)$$

...

...

...

$$i = n - 1, \quad (1 + \alpha\Delta t + \frac{\beta^r(\Delta t)^r}{\mathcal{F}})u_n - \frac{(\Delta t)^r}{\Upsilon}u_n'' = (\Upsilon - \frac{\beta^r(\Delta t)^r}{\Upsilon})u_{n-1} - (\alpha\Delta t -$$

$$1 - \frac{\beta^r(\Delta t)^r}{\mathcal{F}})u_{n-2} + \frac{(\Delta t)^r}{\Upsilon}u_{n-1}'' + (\Delta t)^r f(x, t_{n-1}). \quad (21.4)$$

حال جواب تقریبی در نظر گرفته شده $U_N(x, t)$ را در معادله های (۱۹.۴)-(۲۱.۴) قرار می دهیم، داریم:

$$i = 1, \quad (1 + \alpha\Delta t + \frac{\beta^r(\Delta t)^r}{\mathcal{F}})(U_N)_r - \frac{(\Delta t)^r}{\Upsilon}(U_N)_r'' = (\Upsilon - \frac{\beta^r(\Delta t)^r}{\Upsilon})u_1 - (\alpha\Delta t -$$

$$1 - \frac{\beta^r(\Delta t)^r}{\mathcal{F}})u_0 + \frac{(\Delta t)^r}{\Upsilon}u_1'' + (\Delta t)^r f(x, t_1), \quad (22.4)$$

$$i = 2, \quad (1 + \alpha\Delta t + \frac{\beta^r(\Delta t)^r}{\mathcal{F}})(U_N)_r - \frac{(\Delta t)^r}{\Upsilon}(U_N)_r'' = (\Upsilon - \frac{\beta^r(\Delta t)^r}{\Upsilon})u_r - (\alpha\Delta t -$$

$$1 - \frac{\beta^r(\Delta t)^r}{\mathcal{F}})u_1 + \frac{(\Delta t)^r}{\Upsilon}u_r'' + (\Delta t)^r f(x, t_r), \quad (23.4)$$

...

...

...

$$i = n - 1, \quad (1 + \alpha\Delta t + \frac{\beta^r(\Delta t)^r}{r})(U_N)_n - \frac{(\Delta t)^r}{r}(U_N)''_n = (\gamma - \frac{\beta^r(\Delta t)^r}{r})u_{n-1} + (\alpha\Delta t -$$

$$1 - \frac{\beta^r(\Delta t)^r}{r})u_{n-r} + \frac{(\Delta t)^r}{r}u''_{n-1} + (\Delta t)^r f(x, t_{n-1}), \quad (24.4)$$

و شرایط مرزی را نیز میتوان به شکل زیر نوشت:

$$\sum_{m=-r}^{N+r} \delta_m(t)\phi_m(x_0) = g_0(t), \quad x = a, \quad 0 \leq t \leq T, \quad (25.4)$$

$$\sum_{m=-r}^{N+r} \delta_m(t)\phi_m(x_N) = g_1(t), \quad x = b, \quad 0 \leq t \leq T, \quad (26.4)$$

$$\sum_{m=-r}^{N+r} \delta_m(t)\phi'_m(x_0) = g_2(t), \quad x = a, \quad 0 \leq t \leq T, \quad (27.4)$$

$$\sum_{m=-r}^{N+r} \delta_m(t)\phi'_m(x_N) = g_3(t), \quad x = b, \quad 0 \leq t \leq T, \quad (28.4)$$

$$\sum_{m=-r}^{N+r} \delta_m(t)\phi''_m(x_0) = g_4(t), \quad x = a, \quad 0 \leq t \leq T, \quad (29.4)$$

$$\sum_{m=-r}^{N+r} \delta_m(t)\phi''_m(x_N) = g_5(t), \quad x = b, \quad 0 \leq t \leq T. \quad (30.4)$$

جواب اسپلینی از معادله (۲۲.۴) با شرایط مرزی (۲۵.۴)-(۳۰.۴) توسط حل دستگاه زیر

بدست می آید

$$AX = B, \quad (31.4)$$

که در آن $X = [\delta_{-r}, \delta_{-1}, \dots, \delta_N, \delta_{N+r}]$. بعد ماتریس A برابر با $(N+7) \times (N+7)$ و

ماتریس B یک ماتریس ستونی با $N+7$ سطر است که به ترتیب از سمت چپ و راست

معادله های (۲۲.۴) و (۲۵.۴) - (۳۰.۴) بصورت زیر بدست آمده است:

$$A = \begin{bmatrix} 1 & 120 & 1191 & 2416 & 1191 & 120 & 1 & 0 & 0 & 0 & \dots & 0 \\ \frac{4}{h^2} & \frac{292}{h^2} & \frac{1715}{h^2} & 0 & \frac{-1715}{h^2} & \frac{-292}{h^2} & \frac{-4}{h^2} & 0 & 0 & 0 & \dots & 0 \\ \frac{4}{h^2} & \frac{1008}{h^2} & \frac{64}{h^2} & \frac{-2260}{h^2} & \frac{64}{h^2} & \frac{1008}{h^2} & \frac{4}{h^2} & 0 & 0 & 0 & \dots & 0 \\ r_1 & r_2 & r_3 & r_4 & r_3 & r_2 & r_1 & 0 & 0 & 0 & \dots & 0 \\ 0 & r_1 & r_2 & r_3 & r_4 & r_3 & r_2 & r_1 & 0 & 0 & \dots & 0 \\ 0 & 0 & r_1 & r_2 & r_3 & r_4 & r_3 & r_2 & r_1 & 0 & \dots & 0 \\ \vdots & & & & & & & & & & & \\ 0 & 0 & 0 & 0 & \dots & r_1 & r_2 & r_3 & r_4 & r_3 & r_2 & r_1 \\ 0 & 0 & 0 & 0 & \dots & 1 & 120 & 1191 & 2416 & 1191 & 120 & 1 \\ 0 & 0 & 0 & 0 & \dots & \frac{4}{h^2} & \frac{292}{h^2} & \frac{1715}{h^2} & 0 & \frac{-1715}{h^2} & \frac{-292}{h^2} & \frac{-4}{h^2} \\ 0 & 0 & 0 & 0 & \dots & \frac{4}{h^2} & \frac{1008}{h^2} & \frac{64}{h^2} & \frac{-2260}{h^2} & \frac{64}{h^2} & \frac{1008}{h^2} & \frac{4}{h^2} \end{bmatrix}$$

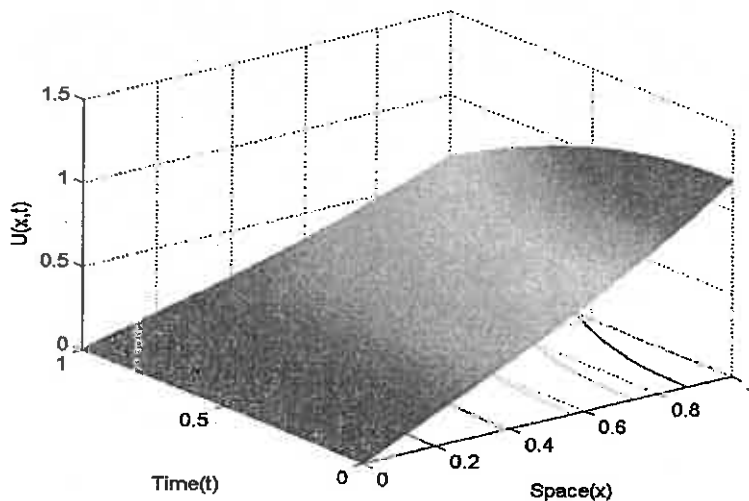
9

$$B = \begin{bmatrix} g_0(t_1) \\ g_1(t_1) \\ g_2(t_1) \\ (\Delta t)^2 f(x_0, t_1) + (\alpha \Delta t - 1 - \frac{\beta^2 (\Delta t)^2}{F}) u_0(x_0) + \frac{(\Delta t)^2}{F} u_1''(x_0) + (\gamma - \frac{\beta^2 (\Delta t)^2}{F}) u_1(x_0) \\ (\Delta t)^2 f(x_1, t_1) + (\alpha \Delta t - 1 - \frac{\beta^2 (\Delta t)^2}{F}) u_0(x_1) + \frac{(\Delta t)^2}{F} u_1''(x_1) + \gamma - \frac{\beta^2 (\Delta t)^2}{F} u_1(x_1) \\ \vdots \\ (\Delta t)^2 f(x_N, t_1) + (\alpha \Delta t - 1 - \frac{\beta^2 (\Delta t)^2}{F}) u_0(x_N) + \frac{(\Delta t)^2}{F} u_1''(x_N) + \gamma - \frac{\beta^2 (\Delta t)^2}{F} u_1(x_N) \\ g_1(t_1) \\ g_2(t_1) \\ g_0(t_1) \end{bmatrix}$$

که در آن

$$\begin{aligned} r_1 &= (1 + \alpha \Delta t + \frac{\beta^2 (\Delta t)^2}{F}) - \frac{21 (\Delta t)^2}{h^2}, \\ r_2 &= 120 (1 + \alpha \Delta t + \frac{\beta^2 (\Delta t)^2}{F}) - \frac{504 (\Delta t)^2}{h^2}, \\ r_3 &= 1191 (1 + \alpha \Delta t + \frac{\beta^2 (\Delta t)^2}{F}) - \frac{315 (\Delta t)^2}{h^2}, \\ r_4 &= 2416 (1 + \alpha \Delta t + \frac{\beta^2 (\Delta t)^2}{F}) + \frac{1680 (\Delta t)^2}{h^2}. \end{aligned}$$

به آسانی می توان تقریبی مشابه برای معادله های (۲۳.۴) و (۲۴.۴) همراه با شرایط مرزی متناظر (۲۵.۴) - (۳۰.۴) بدست آورد. سیستم (۳۱.۴) را $n - 1$ بار توسط برنامه که براساس



شکل ۱.۴: نمودار سه بعدی جواب تقریبی مثال (۱.۴.۴).

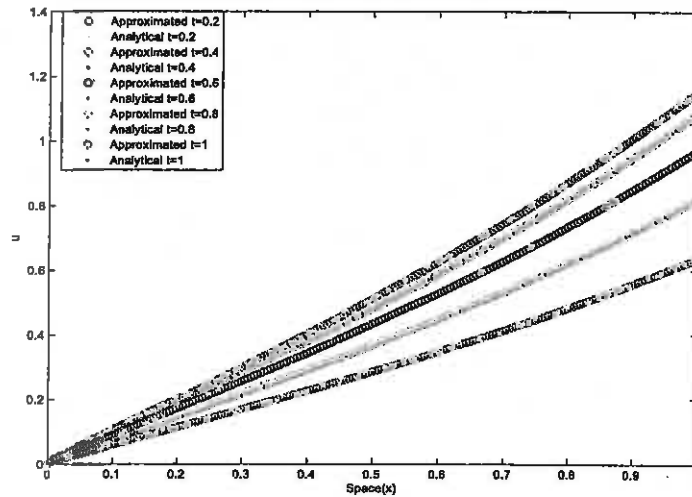
روش تجزیه مقدار تکین نوشته ایم، حل می کنیم و در هر مرحله $u(x_0, t_i), \dots, u(x_N, t_i)$ بدست می آوریم. ($i = 1, \dots, n-1$)

۴.۴ مثال های عددی

در این بخش حل عددی از معادله هذلولوی تلگراف را برای دو مسئله بیان می کنیم. دقت روش عددی توسط محاسبه اختلاف بین حل عددی و تحلیلی در هر نقطه از شبکه محاسبه می کنیم و از آنها برای محاسبه خطای L_2 و خطای نرم L_∞ استفاده می کنیم.

مثال ۱.۴.۴. معادله هذلولوی تلگراف (۱.۴) با $\alpha = 2, \beta = 1$ و $f(x, t) = -2\alpha \sinh(x) \sin(t) + (\beta^2 - 2) \sinh(x) \cos(t)$ در بازه $[0, 1]$ در نظر می گیریم. شرایط اولیه بصورت زیر مفروض است:

$$u(x, 0) = \sinh(x), \quad u_t(x, 0) = 0,$$



شکل ۲.۴: مقایسه جواب تحلیلی و جواب تقریبی مثال (۱.۴.۴) در زمان های مختلف.

و شرایط مرزی عبارتست از

$$\begin{aligned} u(0, t) = u_{xx}(0, t) = 0, & \quad u(1, t) = u_{xx}(1, t) = \cos(t) \sinh(1), \\ u_x(0, t) = \cos(t), & \quad u_x(1, t) = \cos(t) \cosh(1). \end{aligned}$$

خطای میانگین مربع L_2 و خطای ماکزیمم L_∞ در جدول (۲.۴) ارائه شده است. همچنین نمودار سه بعدی آن در شکل (۱.۴) و نمودار جواب تحلیلی و تقریبی به ازای t های مختلف در شکل (۲.۴) رسم شده است.

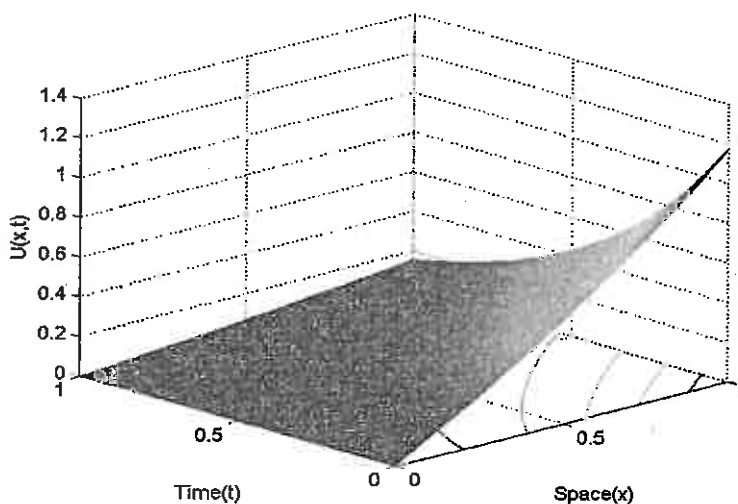
مثال ۲.۴.۴. معادله (۱.۴) همراه با شرایط اولیه و مرزی زیر را در نظر می گیریم:

$$\begin{aligned} u(x, 0) = \sinh(x), & \quad u_t(x, 0) = -2 \sinh(x), \\ u(0, t) = u_{xx}(0, t) = 0, & \quad u(1, t) = u_{xx}(1, t) = \exp(-2t) \sinh(1), \\ u_x(0, t) = \exp(-2t), & \quad u_x(1, t) = \exp(-2t) \cosh(1). \end{aligned}$$

خطای میانگین مربع و خطای ماکزیمم در جدول (۳.۴) ارائه شده است. همچنین نمودار

جدول ۲.۴: نتایج خطای میانگین مربع و خطای ماکزیمم به ازای $\Delta t = 0.001$ و $\Delta x = 0.005$ در مثال (۱.۴.۴)

t	$t = 0.2$	$t = 0.4$	$t = 0.6$	$t = 0.8$	$t = 1$
L_{∞}	7.774×10^{-2}	7.0782×10^{-2}	1.2848×10^{-2}	3.0930×10^{-2}	1.3424×10^{-2}
L_T	3.3189×10^{-8}	2.3067×10^{-7}	8.208×10^{-7}	3.237×10^{-6}	3.2782×10^{-5}

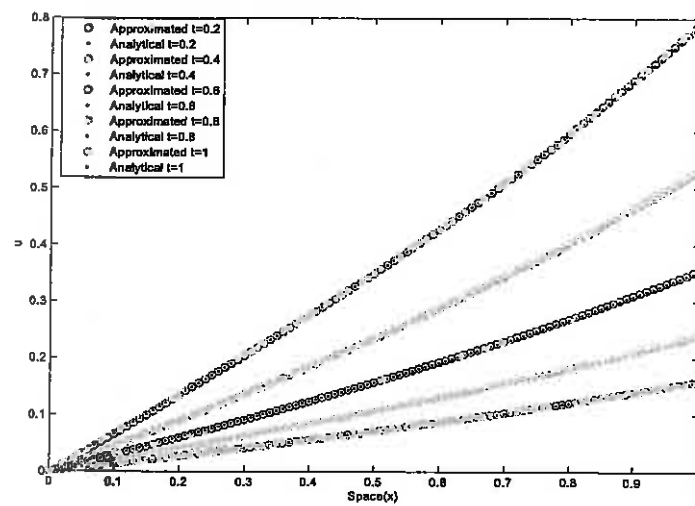


شکل ۳.۴: نمودار سه بعدی جواب تقریبی مثال (۲.۴.۴).

سه بعدی آن در شکل (۳.۴) و نمودار جواب تحلیلی و تقریبی به ازای t های مختلف در شکل (۴.۴) رسم شده است.

جدول ۳.۴: نتایج خطای میانگین مربع و خطای ماکزیمم به ازای $\Delta t = 0.001$ و $\Delta x = 0.01$ در مثال (۲.۴.۴).

t	$t = 0.2$	$t = 0.4$	$t = 0.6$	$t = 0.8$	$t = 1$
L_{∞}	3.2×10^{-2}	1.5×10^{-2}	6.5137×10^{-2}	2.9426×10^{-2}	1.4555×10^{-2}
L_T	2.0865×10^{-7}	6.1177×10^{-7}	1.3864×10^{-7}	4.1007×10^{-8}	1.0665×10^{-8}



شکل ۴.۴: مقایسه جواب تحلیلی و جواب تقریبی مثال (۲.۴.۴) در زمان های مختلف.

فصل ۵

حل معادله تلگراف به روش شبه
درونیاب با B - اسپلاین مکعبی

۱.۵ مقدمه

در این فصل از پایان نامه معادله تلگراف بصورت عددی توسط روش شبه درونیاب B - اسپلاین^۱ حل خواهد شد. ما یک طرح عددی با استفاده از مشتق شبه درونیاب برای تقریب مشتق فضایی متغیر وابسته و تفاضلات پیشرو مرتبه پایین برای تقریب مشتق زمانی متغیر وابسته، بدست خواهیم آورد. یکی از مزیت های نتایج طرح ارائه شده این است که الگوریتم آن بسیار ساده است و به حل دستگاه های ماتریسی نمی رسیم. در انتها با ارائه ۳ مثال عددی، نتایج این طرح با جواب تحلیلی مقایسه می شود که تائیدی بر دقت خوب طرح ارائه شده است.

۲.۵ معرفی معادله

معادله تلگراف در یک بُعد را به صورت زیر در نظر می گیریم

$$\frac{\partial^2 u}{\partial t^2} + \alpha \frac{\partial u}{\partial t} + \beta^2 u = \frac{\partial^2 u}{\partial x^2} + f(x, t), \quad 0 \leq x \leq L, \quad 0 \leq t \leq T, \quad (1.5)$$

با شرایط اولیه

$$u(x, 0) = f_0(x), \quad 0 \leq x \leq L, \quad (2.5)$$

$$\frac{\partial u(x, 0)}{\partial t} = f_1(x), \quad 0 \leq x \leq L, \quad (3.5)$$

و شرایط مرزی

$$u(a, t) = g_0(t), \quad u(b, t) = g_1(t), \quad (4.5)$$

^۱cubic B-spline quasi-interpolation

که در آن α و β ضرایب ثابت معلوم در مسئله هستند و $\alpha > \beta \geq 0$. معادله هایی به فرم معادله (۱.۵) در مطالعات گسترش سیگنال های الکتریکی^۲ در خطوط انتقال کابل و پدیده های موجی رخ می دهد. اثر متقابل بین انتقال و انتشار یا عمل متقابل از واکنش و انتشار در تعدادی از پدیده های غیرخطی در فرایندهای فیزیکی، شیمی و زیستی شرح داده شده است [۳۶]-[۳۹].

در واقع معادله تلگراف بسیار مناسب تر از معادله انتشار معمولی در مدل سازی عکس العمل انتشار برای شاخه هایی از علوم است. برای مثال زیست شناسان با این معادله در مطالعه جریان فشار خون در شریان و حرکت تصادفی ساس^۳ در امتداد پرچین در یک بُعد [۴۰] مواجه می شوند. همچنین انتشار امواج صوتی در رسانه های متخلخل نوع داری^۴ [۴۱] و جریان های موازی مایع ماکسول چسبناک^۵ [۴۲] بعضی از پدیده های حاکم [۴۳]-[۴۴] توسط معادله (۱.۵) هستند. در اینجا طرح عددی از معادله دیفرانسیل تلگراف را پیشنهاد می کنیم که بر اساس مشتقات درونیاب B - اسپلاین مرتبه ۳ برای تقریب مشتقات x و تفاضلات متناهی برای مشتقات t است. این طرح برای معادلات برگرز و برگرز - فیشر در مقالات به کار برده شده است. مزیت این روش اینست که نیازمند به حل دستگاه های ماتریسی نمی شویم و نگران بد وضع بودن ماتریس نخواهیم بود و همچنین این روش دارای خطای عددی کمتری خواهد بود و در زمان نیز صرفه جویی می شود.

^۲Propagation of electrical signals

^۳Bugs

^۴Darcy-type porous media

^۵Parallel Flows of Viscous Maxwell Fluids

۳.۵ طرح عددی شبه درونیابی B- اسپلاین یک متغیره

برای بازه $I = [a, b]$ فضای توابع اسپلاین های یک متغیره مرتبه d را با $S_d(X_n)$ و C^{d-1} روی افراز یکنواخت $X_n = \{x_i = a + ih, i = 0, \dots, n\}$ با طول گام $h = \frac{b-a}{n}$ که در آن $x_n = b$ باشد، تعیین می کنیم. فرض کنید پایه B- اسپلاین $S_d(X_n)$ مجموعه $\{B_j; j \in J\}$ با $J = \{1, 2, \dots, n+d\}$ باشد که توسط فرمول deBoor - Cox محاسبه می شود [۴۵].

رابطه deBoor - Cox [۴۵] برای محاسبه B- اسپلاین B_j ، $j \in J$ بصورت زیر است:

$$B_j(x) = \begin{cases} \frac{(x-x_j)^r}{(x_{j+1}-x_j)(x_{j+2}-x_j)(x_{j+3}-x_j)} & x \in [x_j, x_{j+1}), \\ \frac{(x-x_j)^r(x_{j+2}-x)}{(x_{j+1}-x_j)(x_{j+2}-x_{j+1})(x_{j+3}-x_j)} + \frac{(x-x_j)^r(x_{j+3}-x)}{(x-x_j)(x_{j+2}-x)(x-x_{j+1})} & x \in [x_{j+1}, x_{j+2}), \\ \frac{(x-x_j)(x_{j+3}-x)^r}{(x_{j+2}-x_j)(x_{j+3}-x_{j+1})(x_{j+4}-x_{j+2})} + \frac{(x-x_{j+1})(x_{j+4}-x)^r}{(x-x_{j+1})(x_{j+3}-x)(x_{j+4}-x_{j+2})} & x \in [x_{j+2}, x_{j+3}), \\ \frac{(x_{j+3}-x)^r}{(x_{j+2}-x_{j+1})(x_{j+3}-x_{j+2})(x_{j+4}-x_{j+3})} & x \in [x_{j+3}, x_{j+4}), \\ 0 & \text{در غیر این صورت} \end{cases} \quad (۵.۵)$$

محمل B_j با نماد $\text{supp}(B_j)$ نشان داده می شود و عبارتست از $\text{supp}(B_j) = [X_{j-d-1}, X_j]$ بطور معمول، گره های مضاعف را در انتهای نقاط پایانی بصورت زیر قرار می دهیم:

$$b = X_n = X_{n+1} = \dots = X_{n+d} \text{ و } a = X_{-d} = X_{-d+1} = \dots = X_0.$$

در [۴۶]-[۴۷]، شبه درونیابی B^۶- اسپلاین یک متغیره (به اختصار QIs) میتوان به صورت

^۶Quasi-Interpolants

عملگر زیر تعریف می شود

$$Q_d f = \sum_{j \in J} \mu_j B_j. \quad (6.5)$$

فضای چندجمله ای های حداکثر از مرتبه d را با نماد Π_d نمایش می دهیم. در حالت کلی، ما اعمال نفوذ می کنیم که Q_d روی فضای Π_d دقیق است بدین معنی که $Q_d p = p$ برای همه $p \in \Pi_d$. به عنوان دنباله ای از این خاصیت، تقریب مرتبه Q_d روی توابع هموار $O(h^{d+1})$ است. ضرایب μ_j یک ترکیب خطی از مقادیر f در بعضی از نقاط همسایگی $\text{supp}(B_j)$ است [۴۶]-[۴۷]. مزیت اصلی این روش دارا بودن یک روش مستقیم بدون حل کردن هیچ دستگاه معادله خطی می باشد. خصوصاً اینکه این روش بسیار ساده و تاثیرگذار برای مشتق گیری و انتگرال گیری عددی است. اگرچه این محلی است، بدین معنی که مقدار $Q_d f(x)$ فقط به مقدار f در همسایگی x بستگی دارد. سرانجام این روش دارای تقریباً نرم بی نهایت کوچکی است، بنابراین جواب های بدست آمده بسیار دقیق می باشند [۴۷]. در این پایان نامه از شبه درونیاب B - اسپلاین مکعبی استفاده می کنیم. فرض کنید

$y_i = f(x_i)$ که برای $i = 0, 1, \dots, n$ شبه درونیاب B - اسپلاین مکعبی

$$Q_r f = \sum_{j=1}^{n+r} \mu_j(f) B_j, \quad (7.5)$$

ضرایب آن به صورت زیر است:

$$\begin{cases} \mu_1(f) = f_0, \\ \mu_2(f) = \frac{1}{18}(7f_0 + 18f_1 - 9f_2 + 2f_3), \\ \mu_j(f) = \frac{1}{6}(-f_{j-2} + 8f_{j-1} - f_j), \quad j = 3, \dots, n+1, \\ \mu_{n+2}(f) = \frac{1}{18}(2f_{n-2} - 9f_{n-1} + 18f_n + 7f_{n+1}), \\ \mu_{n+3}(f) = f_n. \end{cases} \quad (8.5)$$

برای $f \in C^r(I)$ خطای تقریب شبه درونیاب [۴۷] برابر است با

$$\|f - Q_r f\|_{\infty, I_k} \leq \frac{1}{3^r} d_{\infty, I_k}(f, \Pi_r), \quad 1 \leq k \leq n, \quad (9.5)$$

در نتیجه

$$\|f - Q_r f\|_\infty = O(h^r).$$

درونیابی چندجمله ای ها منجر به تفاضلات متناهی کلاسیکی برای محاسبه تقریب مشتق می شود. بنابراین طبیعی به نظر می رسد تقریب مشتق های f توسط مشتق های $Q_r f(x)$ تا مرتبه h^r باشد. میتوان مقدار f در x_i ها را توسط تقریب های زیر B'_j $B'_j = \sum_{j=1}^{n+r} \mu_j(f) B'_j$ و $(Q_r f)' = \sum_{j=1}^{n+r} \mu_j(f) B'_j$ و $(Q_r f)'' = \sum_{j=1}^{n+r} \mu_j(f) B''_j$ توسط فرمول مشتق های B - اسپلاین زیر محاسبه می شوند [۴۵]:

$$B'_j(x) = \begin{cases} \frac{x^3(x-x_j)^2}{(x_{j+1}-x_j)(x_{j+2}-x_j)(x_{j+3}-x_j)} & x \in [x_j, x_{j+1}), \\ \frac{2(x-x_j)(x_{j+1}-x) - (x-x_j)^2}{(x_{j+2}-x_j)(x_{j+3}-x_{j+1})(x_{j+4}-x_j)} + \frac{(x-x_j)(x_{j+2}-x) + (x-x_{j+1})(x_{j+3}+x_j-2x)}{(x_{j+3}-x_j)(x_{j+4}-x_{j+1})(x_{j+5}-x_{j+1})} + \frac{-(x-x_{j+1})^2 + 2(x_{j+4}-x)(x-x_{j+1})}{(x_{j+4}-x_{j+1})(x_{j+5}-x_{j+1})(x_{j+6}-x_{j+1})} & x \in [x_{j+1}, x_{j+2}), \\ \frac{(x_{j+2}-x)^2 - 2(x-x_j)(x_{j+2}-x)}{(x_{j+3}-x_j)(x_{j+4}-x_{j+1})(x_{j+5}-x_{j+2})} + \frac{(x_{j+2}-x)(x_{j+3}+x_{j+1}) + (x_{j+4}-2)(x-x_{j+1})(x_{j+2}-x)}{(x_{j+4}-x_{j+1})(x_{j+5}-x_{j+2})(x_{j+6}-x_{j+1})} + \frac{(x_{j+2}-x)^2 - 2(x-x_{j+2})(x_{j+4}-x)}{(x_{j+5}-x_{j+1})(x_{j+6}-x_{j+2})(x_{j+7}-x_{j+2})} & x \in [x_{j+2}, x_{j+3}), \\ \frac{-2(x_{j+4}-x)^2}{(x_{j+5}-x_{j+1})(x_{j+6}-x_{j+2})(x_{j+7}-x_{j+2})} & x \in [x_{j+3}, x_{j+4}), \\ \circ & \text{در غیر این صورت} \end{cases} \quad (10.5)$$

9

$$B_j''(x) = \begin{cases} \frac{\rho(x-x_j)}{(x_{j+1}-x_j)(x_{j+2}-x_j)(x_{j+3}-x_j)} & x \in [x_j, x_{j+1}), \\ \frac{\gamma(x_{j+1}+\gamma x_j-\gamma x)}{(x_{j+1}-x_j)(x_{j+2}-x_{j+1})(x_{j+3}-x_j)} + \frac{\gamma(x_{j+2}+\gamma x_{j+1}+\gamma x-\gamma x)}{\gamma(x_{j+2}+x_{j+1}+x_j-\gamma x)} + \frac{\gamma(x_{j+3}+\gamma x_{j+2}+\gamma x-\gamma x)}{\gamma(x_{j+3}+\gamma x_{j+2}+\gamma x-\gamma x)} & x \in [x_{j+1}, x_{j+2}), \\ \frac{-\gamma x_{j+2}-\gamma x_{j+1}+\rho x}{(x_{j+2}-x_j)(x_{j+3}-x_{j+1})(x_{j+3}-x_{j+2})} + \frac{-\gamma x_{j+2}-\gamma x_{j+1}+\rho x}{-\gamma x_{j+2}-\gamma x_{j+1}+\rho x} + \frac{\gamma(x_{j+3}-x_{j+2})(x_{j+3}-x_{j+1})(x_{j+3}-x_j)}{-\gamma x_{j+2}-\gamma x_{j+1}+\rho x} + \frac{\gamma(x_{j+3}-x_{j+2})(x_{j+3}-x_{j+1})(x_{j+3}-x_j)}{-\gamma x_{j+2}-\gamma x_{j+1}+\rho x} & x \in [x_{j+2}, x_{j+3}), \\ \frac{\rho(x_{j+3}-x)}{(x_{j+3}-x_{j+2})(x_{j+3}-x_{j+1})(x_{j+3}-x_j)} & x \in [x_{j+3}, x_{j+4}), \end{cases} \quad (11.5)$$

در غیر این صورت

در نتیجه فرمول مشتق برای شبه درونیاب B - اسپلاین مکعبی بدین صورت است:

$$(Q_r f)' = \sum_{j=1}^{n+r} \mu_j(f) B_j', \quad (Q_r f)'' = \sum_{j=1}^{n+r} \mu_j(f) B_j''. \quad (12.5)$$

حال اگر $Q_r f'$ و $Q_r f''$ را در نقاط x_i حساب کنیم، داریم:

$$\begin{cases} Q_r f'(x_0) = \frac{1}{h}(-\frac{11}{\rho} f_0 + 3f_1 - \frac{\gamma}{\rho} f_2 + \frac{1}{\rho} f_3), \\ Q_r f'(x_1) = \frac{1}{h}(-\frac{1}{\rho} f_0 - \frac{1}{\rho} f_1 + f_2 - \frac{1}{\rho} f_3), \\ Q_r f'(x_j) = \frac{1}{h}(-\frac{1}{\rho} f_{j-2} - \frac{\gamma}{\rho} f_{j-1} + \frac{\gamma}{\rho} f_{j+1} - \frac{1}{\rho} f_{j+2}), \quad 2 \leq j \leq n-2 \\ Q_r f'(x_{n-1}) = \frac{1}{h}(\frac{1}{\rho} f_{n-2} - f_{n-1} + \frac{\gamma}{\rho} f_n + \frac{1}{\rho} f_n), \\ Q_r f'(x_n) = \frac{1}{h}(-\frac{1}{\rho} f_{n-2} + \frac{\gamma}{\rho} f_{n-1} - 3f_{n-1} + \frac{11}{\rho} f_n), \end{cases} \quad (13.5)$$

9

$$\begin{cases} Q_r f''(x_0) = \frac{1}{h^2}(\gamma f_0 - 5f_1 + 4f_2 - f_3), \\ Q_r f''(x_1) = \frac{1}{h^2}(f_0 - 2f_1 + f_2), \\ Q_r f''(x_j) = \frac{1}{h^2}(-\frac{1}{\rho} f_{j-2} + \frac{5}{\rho} f_{j-1} - 3f_j + \frac{5}{\rho} f_{j+1} - \frac{1}{\rho} f_{j+2}), \quad 2 \leq j \leq n-2 \\ Q_r f''(x_{n-1}) = \frac{1}{h^2}(f_{n-2} - 2f_{n-1} + f_n), \\ Q_r f''(x_n) = \frac{1}{h^2}(-f_{n-2} + 4f_{n-2} - 5f_{n-1} + 2f_n). \end{cases} \quad (14.5)$$

۴.۵ طرح عددی با استفاده از شبه درونیاب B - اسپلین مکعبی

در این بخش، یک طرح عددی برای حل معادله تلگراف (۱.۵) براساس شبه درونیاب B - اسپلین مکعبی ارائه می شود. اگر طول گام زمانی را Δt در نظر بگیریم، بدین معنی که $t_j = j\Delta t$ ، آنگاه با استفاده از طرح تفاضلات متناهی، معادله (۱.۵) بصورت زیر تبدیل می شود

$$\frac{U_j^{k+1} - 2U_j^k + U_j^{k-1}}{(\Delta t)^2} + 2\alpha \frac{U_j^{k+1} - U_j^k}{\Delta t} + \beta^2 U_j^k = (U_{xx})_j^k + f(x_j, t_k). \quad (15.5)$$

سپس داریم

$$(1 + 2\alpha\Delta t)U_j^{k+1} = (2 + 2\alpha\Delta t - \beta^2(\Delta t)^2)U_j^k - U_j^{k-1} + (\Delta t)^2 (U_{xx})_j^k + (\Delta t)^2 f(x_j, t_k), \quad (16.5)$$

که در آن $U_j^k \approx U(x_j, t_k)$. همچنین از مشتق های شبه درونیاب B - اسپلین مکعبی $Q_2 U(x_j, t_k)$ برای تقریب $(U_{xx})_j^k$ استفاده می کنیم. یا با جایگذاری معادله های (۱۴.۵) در معادله (۱۶.۵) داریم:

$$j = n,$$

$$(1 + 2\alpha\Delta t)U_n^{k+1} = (2 + 2\alpha\Delta t - \beta^2(\Delta t)^2)U_n^k - U_n^{k-1} + \frac{(\Delta t)^2}{h^2} (2U_n^k - 5U_1^k + 4U_2^k - U_3^k),$$

$$j = 1,$$

$$(1 + 2\alpha\Delta t)U_1^{k+1} = (2 + 2\alpha\Delta t - \beta^2(\Delta t)^2)U_1^k - U_1^{k-1} + \frac{(\Delta t)^2}{h^2} (U_1^k - 2U_1^k + U_1^k),$$

$$2 \leq j \leq n-2,$$

$$(1 + 2\alpha\Delta t)U_j^{k+1} =$$

$$(2 + 2\alpha\Delta t - \beta^2(\Delta t)^2)U_j^k - U_j^{k-1} + \frac{(\Delta t)^2}{h^2}(-\frac{1}{6}U_{j-2}^k + \frac{5}{3}U_{j-1}^k - 2U_j^k + \frac{5}{3}U_{j+1}^k - \frac{1}{6}U_{j+2}^k),$$

$$j = n - 1,$$

$$(1 + 2\alpha\Delta t)U_{n-1}^{k+1} = (2 + 2\alpha\Delta t - \beta^2(\Delta t)^2)U_{n-1}^k - U_{n-1}^{k-1} + \frac{(\Delta t)^2}{h^2}(U_{n-2}^k - 2U_{n-1}^k) \quad (17.5)$$

$$+ U_n^k),$$

$$j = n,$$

$$(1 + 2\alpha\Delta t)U_n^{k+1} = (2 + 2\alpha\Delta t - \beta^2(\Delta t)^2)U_n^k - U_n^{k-1} + \frac{(\Delta t)^2}{h^2}(-U_{n-2}^k + 4U_{n-1}^k - 5U_n^k + 2U_n^k).$$

با توجه به شرایط اولیه و شرایط مرزی حل عددی معادله تلگراف و با توجه به طرح

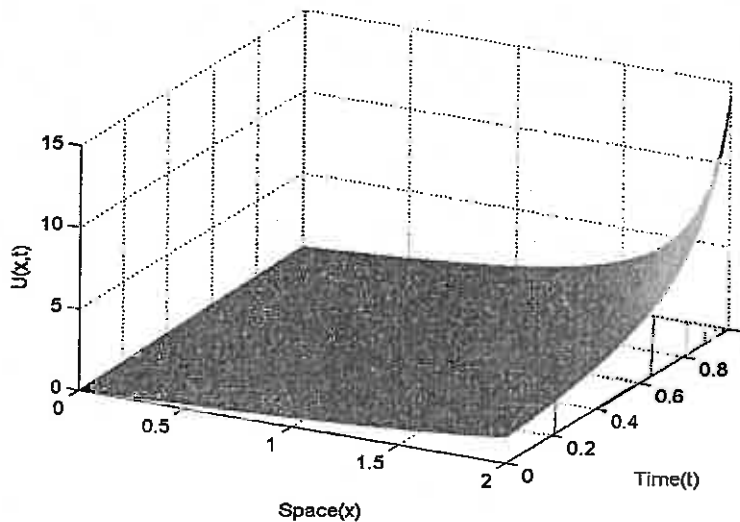
شبه درونیاب B - اسپلاین مکعبی ارائه شده یک جواب تقریبی برای معادله تلگراف (۱.۵) بدست خواهیم آورد.

۵.۵ مثال های عددی

در این بخش ۳ مسئله از معادله تلگراف را با شرایط اولیه (۲.۵)-(۳.۵) و شرایط مرزی (۴.۵) و طرح عددی (۱۷.۵) حل می کنیم. در اینجا خطا توسط خطای میانگین مربع و خطای ماکزیمم بصورت زیر محاسبه می کنیم:

$$L_r = |U - U_N|^r = h \sum_{j=0}^N |U_j - (U_N)_j|^r, \quad L_\infty = |U - U_N|_\infty = \max_j |U_j - (U_N)_j|.$$

مثال ۱.۵.۵. معادله تلگراف هذلولوی را با $\alpha = 10, \beta = 5, f(x, t) = \alpha(1 + \tan^2(\frac{x+t}{4})) + \beta^2 \tan(\frac{x+t}{4})$ در بازه $0 \leq x \leq 2$ در نظر می گیریم. همچنین فرض کنید شرایط اولیه و



شکل ۱.۵: نمودار سه بعدی جواب تقریبی در مثال (۱.۵.۵).

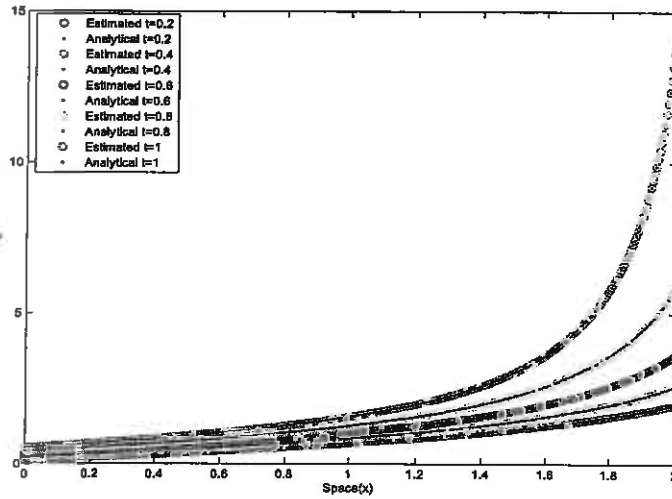
مرزی به صورت زیر داده شده است:

$$u(x, 0) = \tan\left(\frac{x}{4}\right), \quad u_t(x, 0) = \frac{1}{4}\left(1 + \tan^2\left(\frac{x}{4}\right)\right),$$

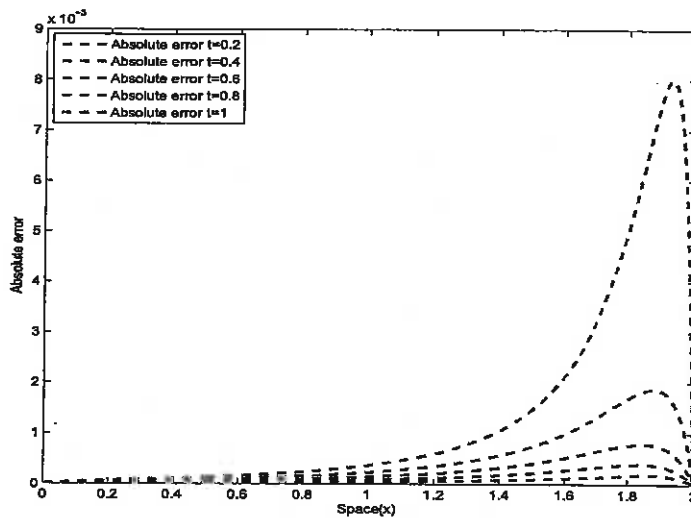
$$u(0, t) = \tan\left(\frac{t}{4}\right), \quad u(2, t) = \tan\left(\frac{2+t}{4}\right).$$

جواب این مسئله را به ازای شرایط مرزی و اولیه ذکر شده در بالا بدست می آوریم. جواب تحلیلی این مثال $u(x, t) = \tan((x+t)/2)$ است. حال خطای میانگین مربع و خطای ماکزیمم را حساب کرده و نتایج را در جدول (۱.۵) ارائه می کنیم. نمودار سه بعدی جواب تقریبی را برای $0 \leq x \leq 2$ و $0 \leq t \leq 0.8$ در شکل (۱.۵) نشان داده می شود؛ همچنین به ازای t های متفاوت از مسئله، جواب تقریبی و جواب دقیق مسئله در شکل (۲.۵) نمایش داده می شود. نمودار خطای مطلق بین جوابهای تقریبی و تحلیلی در شکل (۳.۵) نمایش داده می شود.

مثال ۲.۵.۵. معادله تلگراف با $f(x, t) = (2 - 2\alpha + \beta^2) \exp(-t) \sin(x)$ با $\alpha = 4, \beta = 2$ که $x \in [0, \pi]$ در نظر بگیرید.



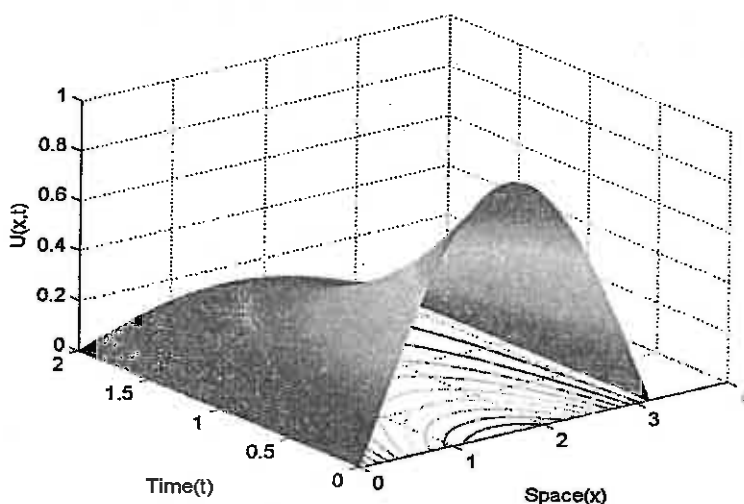
شکل ۲.۵: نمودار مقایسه جواب تحلیلی و جواب تقریبی به ازای $t = 0.2, t = 0.4, t = 0.6, t = 0.8, t = 1$ برای مثال (۱.۵.۵)



شکل ۳.۵: خطای مطلق جواب تحلیلی و جواب تقریبی در مثال (۱.۵.۵).

جدول ۱.۵: نتایج خطای میانگین مربع و خطای ماکزیمم با $\Delta t = 0.001$ و $\Delta x = 0.005$ در مثال (۱.۵.۵).

t	$t = 0.2$	$t = 0.4$	$t = 0.6$	$t = 0.8$	$t = 1$
L_{∞}	1.8918×10^{-4}	7.9715×10^{-4}	3.9943×10^{-3}	1.8799×10^{-2}	8.0113×10^{-2}
L_2	1.2645×10^{-8}	6.2552×10^{-8}	2.3523×10^{-7}	1.0732×10^{-6}	1.771×10^{-5}



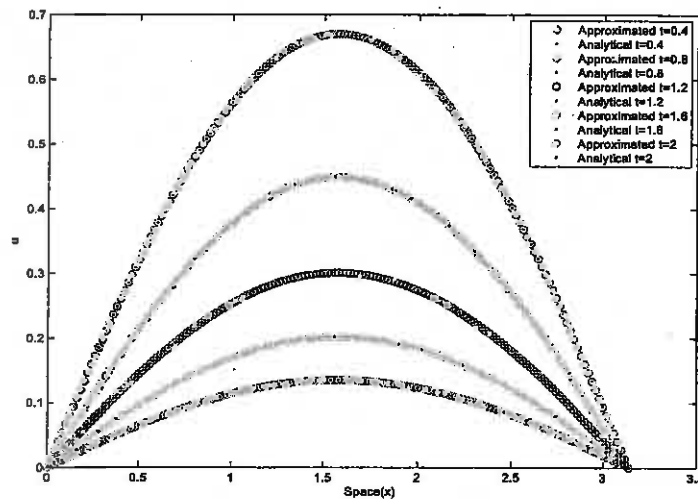
شکل ۴.۵: نمودار سه بعدی جواب تقریبی در مثال (۲.۵.۵).

شرایط مرزی به صورت زیر داده شده است:

$$u(x, 0) = \sin(x), \quad u_t(x, 0) = -\sin(x),$$

$$u(0, t) = u(\pi, t) = 0.$$

این مسئله دارای جواب تحلیلی $u(x, t) = \exp(-t) \sin(x)$ است. در مقایسه جواب بدست آمده از روش BQCM با جواب تحلیلی مساله، نتایج خطای میانگین مربع و خطای ماکزیمم در جدول (۲.۵) نشان داده شده است. نمودار ۳ بعدی جواب تقریبی و نمودار به ازای t های متفاوت از مسئله جواب تقریبی و جواب تحلیلی به ترتیب در شکل های (۴.۵) و (۵.۵) نمایش داده شده است. همچنین نمودار خطای مطلق بین جوابهای تقریبی و تحلیلی در



شکل ۵.۵: نمودار مقایسه جواب تحلیلی و جواب تقریبی در $t = 0.4, t = 0.8, t = 1.2, t = 1.6, t = 2$ برای مثال (۲.۵.۵).

جدول ۲.۵: نتایج خطای میانگین مربع و خطای ماکزیمم با $\Delta t = 0.001$ و $\Delta x = 0.02$ در مثال (۲.۵.۵).

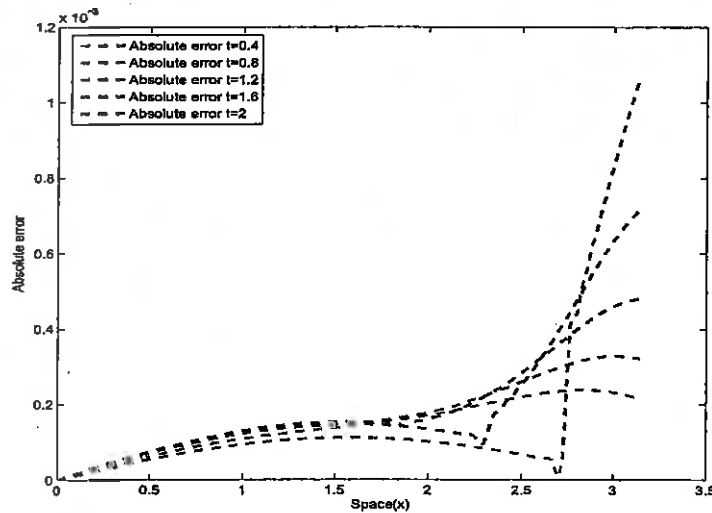
t	t = 0.5	t = 1	t = 1.5	t = 1.75	t = 2
L_∞	1.0676×10^{-2}	7.1563×10^{-3}	4.8126×10^{-3}	3.5192×10^{-3}	2.8398×10^{-3}
L_2	2.8450×10^{-7}	2.8983×10^{-7}	2.5825×10^{-7}	2.0892×10^{-7}	1.5744×10^{-7}

شکل (۶.۵) نشان داده می شود.

مثال ۳.۵.۵. معادله (۱.۵) را با $\alpha = 6, \beta = 2$ در بازه $x \in [0, 1]$ و با شرایط زیر در نظر می گیریم:

$$\begin{cases} f(x) = \sin(x), \\ f_1(x) = 0, \\ g(t) = 0, \\ g_1(t) = \cos(t) \sin(1), \\ f(x, t) = -2\alpha \sin(t) \sin(x) + \beta^\gamma \cos(t) \sin(x). \end{cases}$$

جواب تحلیلی این مساله $u(x, t) \cos(t) \sin(x)$ است. در مقایسه جواب تقریبی و جواب

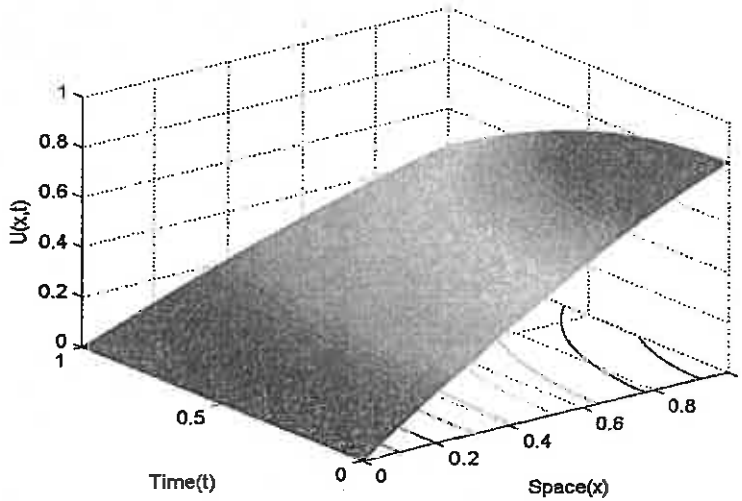


شکل ۶.۵: خطای مطلق جواب تحلیلی و جواب تقریبی در مثال (۲.۵.۵)

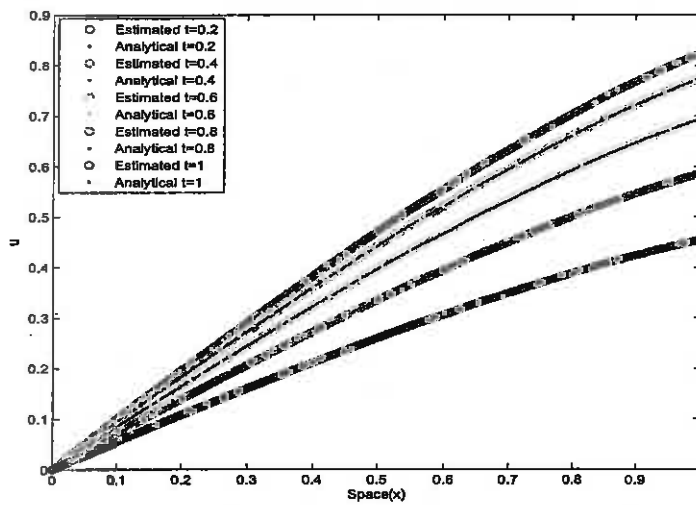
تحلیلی این مسئله، خطای میانگین مربع L_2 و خطای ماکزیمم L_∞ در جدول (۳.۵) ارائه شده است. نمودار سه بعدی جواب تقریبی در شکل (۷.۵) نمایش داده شده و به ازای بعضی از t ها نمودار جواب تقریبی و تحلیلی در شکل (۸.۵) نشان داده شده است. در نهایت نمودار خطای مطلق بین جوابهای تقریبی و تحلیلی در شکل (۹.۵) ارائه شده است.

جدول ۳.۵: نتایج خطای میانگین مربع و خطای ماکزیمم با $\Delta x = 0.002$ و $\Delta t = 0.0005$ در مثال (۳.۵.۵).

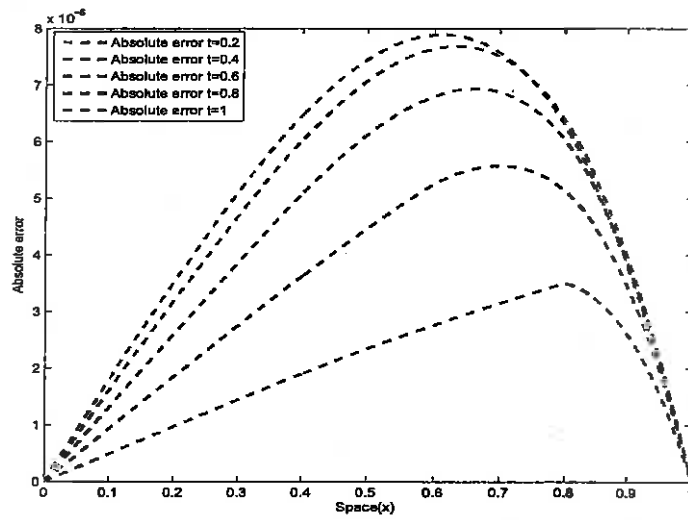
t	$t = 0.2$	$t = 0.4$	$t = 0.6$	$t = 0.8$	$t = 1$
L_∞	3.5005×10^{-6}	5.576×10^{-6}	6.9334×10^{-6}	7.686×10^{-6}	7.8908×10^{-6}
L_2	4.8691×10^{-10}	1.4168×10^{-9}	2.3128×10^{-9}	2.9199×10^{-9}	3.1223×10^{-9}



شکل ۷.۵: نمودار سه بعدی جواب تقریبی در مثال (۳.۵.۵).



شکل ۸.۵: نمودار مقایسه جواب تحلیلی و جواب تقریبی به ازای $t = 0.2, t = 0.4, t = 0.6, t = 0.8, t = 1$ در مثال (۳.۵.۵).



شکل ۹.۵: خطای مطلق جواب تحلیلی و جواب تقریبی در مثال (۳.۵.۵).

فصل ۶

حل عددی معادله فرنیبرگ - وایتهام

۱.۶ مقدمه

در این فصل، طرح کالوکیشن B - اسپلین مرتبه چهار برای پیدا کردن جواب عددی از معادله فرنبرگ - وایتهم^۱ پیاده سازی می کنیم. این طرح براساس فرمول کرانک نیکلسون^۲ برای زمان است و همچنین طرح ارائه شده روشی مشابه روش تفاضلات متناهی استفاده می کند. در ادامه کار به دنبال پایداری روش ارائه شده برای مسئله هستیم. در پایان فصل نتایج عددی ارائه شده است که با جواب تحلیلی آن مقایسه می شود که تاییدی برای دقت خوبی طرح ارائه شده می باشد. همچنین نتایج مقایسه را بصورت گرافیکی نیز ارائه خواهیم کرد.

۲.۶ معرفی معادله

معادله فرنبرگ - وایتهم را به صورت زیر در نظر می گیریم

$$u_t - u_{xxt} + u_x = uu_{xxx} - uu_x + 3u_x u_{xx}, \quad (1.6)$$

در ابتدا مطالعه حرکت کیفی شکست موج پیشنهاد شده است [۴۸]. در سال ۱۹۷۸، فرنبرگ - وایتهم یک جواب نوک تیز $u(x, t) = Ae^{-\frac{1}{2}|x - \frac{3}{2}t|}$ با ثابت اختیاری A بدست آوردند. این معادله با روش تحلیلی مثل روش تجزیه آدومیان [۴۹]، روش آشفستگی هموتوپی [۵۰] و روش ناپایداری تکراری [۵۱] حل شده است و ما در اینجا به دنبال جواب عددی با استفاده از تابع B - اسپلین و روش کالوکیشن از این معادله هستیم.

^۱Fornberg-Whitham equation

^۲Crank-Nicholson rule

۳.۶ روش کالوکیشن B - اسپلاین مرتبه ۴

معادله فرنبرگ - وایتهام (۱.۶) را همراه با انتخاب شرایط مرزی از شرایط زیر

$$\begin{aligned} u(a, t) = g_0(t), \quad u(b, t) = g_1(t), \quad u_x(a, t) = g_2(t), \\ u_x(b, t) = g_3(t), \quad u_{xx}(a, t) = g_4(t), \quad u_{xx}(b, t) = g_5(t), \end{aligned} \quad (۲.۶)$$

و شرط اولیه ای که در قسمت های محاسباتی مسئله مطرح می شود، در نظر می گیریم. دامنه جواب $[a, b]$ به عناصر متناهی با طول گام h توسط گره های x_i که $i = 0, 1, \dots, N$ بصورت زیر افراز بندی می شوند:

$$a = x_0 < x_1 < \dots < x_N = b, \quad h = x_{i+1} - x_i, \quad i = 0, 1, \dots, N-1.$$

روی این افراز توابع B - اسپلاین مرتبه ۴ به صورت زیر بیان می شوند:

$$Q_m(x) = \frac{1}{h^4} \begin{cases} (x - x_{m-2})^4 & x \in [x_{m-2}, x_{m-1}], \\ (x - x_{m-2})^4 - 4(x - x_{m-1})^4 & x \in [x_{m-1}, x_m], \\ (x - x_{m-2})^4 - 4(x - x_{m-1})^4 + 10(x - x_m)^4 & x \in [x_m, x_{m+1}], \\ (x_{m+2} - x)^4 - 4(x_{m+2} - x)^4 & x \in [x_{m+1}, x_{m+2}], \\ (x_{m+2} - x)^4 & x \in [x_{m+2}, x_{m+3}], \\ 0 & \text{در غیر این صورت} \end{cases} \quad (۳.۶)$$

مجموعه B - اسپلاین های مرتبه ۴، $\{Q_{-2}, Q_{-1}, \dots, Q_{N+1}\}$ یک پایه روی ناحیه $a \leq x \leq b$ برای فضای جواب مساله تشکیل می دهد. بنابراین تقریب U_N از جواب را میتوان به صورت

ترکیب خطی از B - اسپلاین ها بصورت زیر نوشت

$$U_N(x) = \sum_{m=-2}^{N+1} \delta_m(t) Q_m(x), \quad (۴.۶)$$

در این جواب تقریبی δ_m پارامتری است که به زمان بستگی دارد. مقدار U و سه مشتق اصلی آن را در گره x_m بصورت زیر بدست می آوریم:

$$\begin{aligned} U_m &= U(x_m) = \delta_{m-2} + 11\delta_{m-1} + 11\delta_m + \delta_{m+1}, \\ U'_m &= U'(x_m) = \frac{4}{h}(-\delta_{m-2} - 3\delta_{m-1} + 3\delta_m + \delta_{m+1}), \\ U''_m &= U''(x_m) = \frac{12}{h^2}(\delta_{m-2} - \delta_{m-1} - \delta_m + \delta_{m+1}), \\ U'''_m &= U'''(x_m) = \frac{24}{h^3}(-\delta_{m-2} + 3\delta_{m-1} - 3\delta_m + \delta_{m+1}). \end{aligned} \quad (5.6)$$

اگر جواب تقریبی (۴.۶) و مشتق های مورد نیاز آن (۵.۶) را در معادله (۱.۶) قرار دهیم یک دستگاه معادله دیفرانسیل معمولی مرتبه اول بصورت زیر بدست می آوریم

$$\begin{aligned} &\delta_{m-2}^{\circ} + 11\delta_{m-1}^{\circ} + 11\delta_m^{\circ} + \delta_{m+1}^{\circ} - \frac{12}{h^2}(\delta_{m-2}^{\circ} - \delta_{m-1}^{\circ} - \delta_m^{\circ} + \delta_{m+1}^{\circ}) + \\ &\frac{4}{h}(\delta_{m-2} + 3\delta_{m-1} - 3\delta_m - \delta_{m+1}) = \frac{24z_m}{h^3}(\delta_{m-2} - 3\delta_{m-1} + 3\delta_m - \delta_{m+1}) - \\ &\frac{4z_m}{h}(\delta_{m-2} + 3\delta_{m-1} - 3\delta_m - \delta_{m+1}) + \frac{12v_m}{h}(\delta_{m-2} + 3\delta_{m-1} - 3\delta_m - \delta_{m+1}), \end{aligned} \quad (6.6)$$

جایی که \circ مشتق نسبت زمان است و

$$v_m = \frac{12}{h^2}(\delta_{m-2} - \delta_{m-1} - \delta_m + \delta_{m+1}) \text{ و } z_m = \delta_{m-2} + 11\delta_{m-1} + 11\delta_m + \delta_{m+1}$$

روند حل را با جدا سازی سیستم (۶.۶) در زمان ادامه می دهیم. اگر پارامتر زمان δ_m و مشتقش در (۶.۶) توسط قانون کرانک نیکلسون و قانون تفاضلات متناهی بصورت زیر جدا سازی کنیم:

$$\delta_m = \frac{\delta_m^{n+1} + \delta_m^n}{2}, \quad \delta_m^{\circ} = \frac{\delta_m^{n+1} - \delta_m^n}{\Delta t} \quad (7.6)$$

یک رابطه بازگشتی بین دو مرحله متوالی n و $n+1$ زمان مربوط به پارامترهای مجهول متوالی δ_i^n ، δ_i^{n+1} و $i = m-2, \dots, m+1$ بدست می آید

$$\mu_m \delta_{m-2}^{n+1} + \gamma_m \delta_{m-1}^{n+1} + \beta_m \delta_m^{n+1} + \alpha_m \delta_{m+1}^{n+1} = \alpha_m \delta_{m-2}^n + \beta_m \delta_{m-1}^n + \gamma_m \delta_m^n + \mu_m \delta_{m+1}^n, \quad (۸.۶)$$

که در آن

$$\alpha_m = h^2 - 12h + 2(1 + z_m - 3v_m)h^2 \Delta t - 12z_m \Delta t,$$

$$\beta_m = 11h^2 + 12h + 6(1 + z_m - 3v_m)h^2 \Delta t + 36z_m \Delta t,$$

$$\gamma_m = 11h^2 + 12h - 6(1 + z_m - 3v_m)h^2 \Delta t - 36z_m \Delta t,$$

$$\mu_m = h^2 - 12h - 2(1 + z_m - 3v_m)h^2 \Delta t + 12z_m \Delta t.$$

سیستم جبری غیر خطی بالا دارای $N+1$ معادله و $N+4$ پارامتر مجهول می باشد که قابل حل با انتخاب شرایط مرزی از معادلات (۲.۶) می باشد. این شرایط قادر هستند که پارامترهای δ_{-2}, δ_{-1} و δ_{N+1} را از دستگاه حذف کنند. بعد سیستم ماتریس نتیجه $(N+1) \times (N+1)$ است. قبل از شروع فرایند حل بازگشتی، باید پارامترهای اولیه δ_m^0 توسط شرایط اولیه و مرزی بصورت زیر تعیین می شوند:

$$U(a, t) = g_0(t) = \delta_{-2} + 11\delta_{-1} + 11\delta_0 + \delta_1,$$

$$U(a, t)_{xx} = g_1(t) = \frac{12}{h^2}(\delta_{-2} - \delta_{-1} - \delta_0 + \delta_1),$$

$$U(x_i, 0) = f_0(x) = \delta_{i-2} + 11\delta_{i-1} + 11\delta_i + \delta_{i+1}, \quad i = 0, 1, \dots, N, \quad (۹.۶)$$

$$U(b, t) = g_1(t) = \delta_{N-2} + 11\delta_{N-1} + 11\delta_N + \delta_{N+1}.$$

۴.۶ آنالیز پایداری

برای بررسی پایداری این طرح روش فون - نویمان را بکار می‌بریم. برای استفاده از این روش ابتدا ما باید جمله‌های غیر خطی $u_x u_{xx}$ و $u u_x$ را با در نظر گرفتن u_x و u به عنوان ثابت در معادله خطی کنیم. اکنون با جایگذاری $\delta_m^n = \xi^n e^{i\beta h}$ در معادله (۸.۶)، که در آن h اندازه عنصر و $i = \sqrt{-1}$ بدست می‌آوریم

$$\xi^{n+1} (\mu_m e^{i(m-2)\beta h} + \gamma_m e^{i(m-1)\beta h} + \beta_m e^{im\beta h} + \alpha_m e^{i(m+1)\beta h}) = \xi^n (\alpha_m e^{i(m-2)\beta h} + \beta_m e^{i(m-1)\beta h} + \gamma_m e^{im\beta h} + \mu_m e^{i(m+1)\beta h}), \quad (10.6)$$

در اینجا $\beta h = \phi$ می‌گیریم. هر دو طرف معادله بر $e^{im\phi}$ تقسیم کرده و بعد از ساده کردن داریم

$$\xi = \frac{X_1 - iY_1}{X_2 - iY_2},$$

که در آن

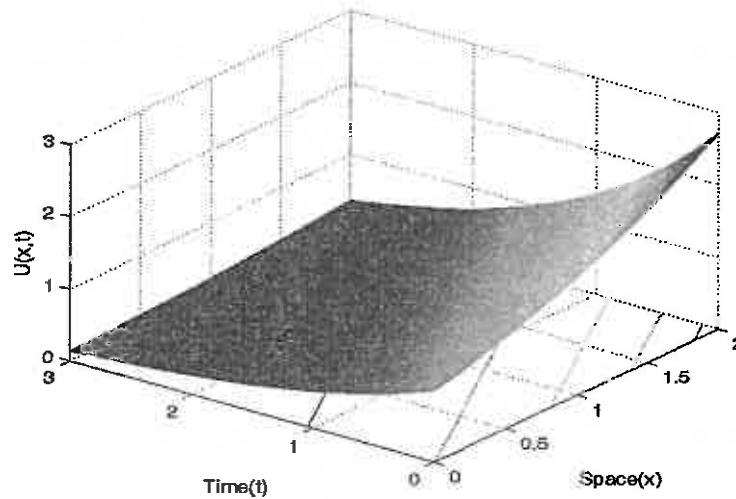
$$X_1 = \mu_m \cos(2\phi) + (\gamma_m + \alpha_m) \cos(\phi) + \beta_m$$

$$Y_1 = \mu_m \sin(2\phi) + (\gamma_m - \alpha_m) \sin(\phi)$$

$$X_2 = \alpha_m \cos(2\phi) + (\beta_m + \mu_m) \cos(\phi) + \gamma_m$$

$$Y_2 = \alpha_m \sin(2\phi) + (\beta_m - \mu_m) \sin(\phi).$$

و برای اینکه طرح پایدار باشد، لازم است که $|\xi| \leq 1$.



شکل ۱.۶: نمودار سه بعدی جواب تقریبی

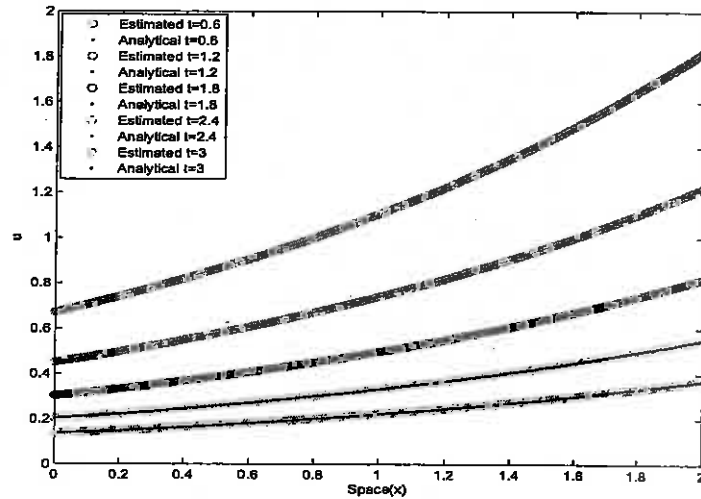
۵.۶ مثال عددی

در این بخش طرح گفته شده در بخش (۳.۶) را بر روی مثالی که در ادامه گفته می شود بررسی کنیم. خطا توسط خطای میانگین مربع و خطای ماکزیمم بصورت زیر محاسبه می کنیم:

$$L_2 = |U - U_N|^2 = h \sum_{j=0}^N |U_j - (U_N)_j|^2, \quad L_\infty = |U - U_N|_\infty = \max_j |U_j - (U_N)_j|.$$

مثال ۱.۵.۶. معادله فرنبرگ - وایتهام (۱.۶) را با شرط اولیه

$$u(x, 0) = \exp\left(\frac{x}{\nu}\right),$$



شکل ۲.۶: مقایسه جواب تحلیلی و جواب تقریبی در زمان های $t = 1/2$ ، $t = 0.6$ ، $t = 1/8$ ، $t = 3$ ، $t = 2/4$ ، $t = 1/8$

جدول ۱.۶: نتایج نرم خطای ماکزیمم و خطای میانگین مربع در $\Delta t = 0.001$ و $\Delta x = 0.005$

t	$t = 0.6$	$t = 1/2$	$t = 1/8$	$t = 2/4$	$t = 3$
L_∞	7.216×10^{-2}	2.4113×10^{-2}	2.4832×10^{-2}	1.3569×10^{-2}	8.383×10^{-5}
L_2	4.7208×10^{-8}	5.4057×10^{-8}	1.587×10^{-7}	1.3799×10^{-8}	4.5832×10^{-9}

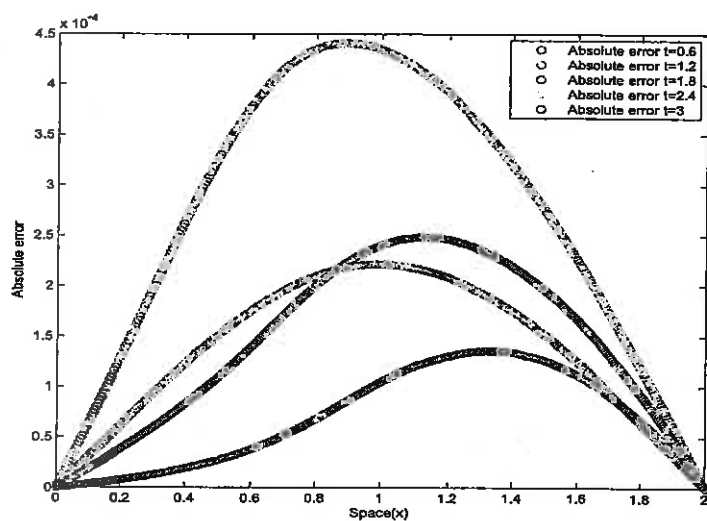
و شرایط مرزی

$$u(0, t) = \exp\left(-\frac{2t}{3}\right)$$

$$u(2, t) = \exp\left(1 - \frac{2t}{3}\right)$$

$$u_{xx}(0, t) = \frac{1}{4} \exp\left(-\frac{2t}{3}\right).$$

در نظر می گیریم. جواب تحلیلی این مثال $u(x, t) = \exp\left(\frac{x}{4} - \frac{2t}{3}\right)$ است. خطای میانگین مربع و خطای ماکزیمم در جدول (۱.۶) ارائه شده است. همچنین نمودار سه بعدی آن در شکل (۱.۶) و نمودار جواب تحلیلی و تقریبی به ازای t های مختلف در شکل (۲.۶) رسم شده است. نمودار خطای مطلق در شکل (۳.۶) نشان می دهیم.



شکل ۳.۶: خطای مطلق بین جواب تحلیلی و جواب تقریبی

نتایج و پیشنهاداتی برای کارهای آینده

در این پایان نامه، هدف ما بررسی حل عددی معادلات با مشتقات جزئی بود. چون معادله دیفرانسیل نقش بسیار مهم در ریاضیات کاربردی دارند. مسائل متنوعی دارد در مهندسی، فیزیک و... میتوان به زبان معادلات دیفرانسیل بیان کرد. اما چون همیشه و به دلیل اینکه این معادلات جواب تحلیلی آنها وجود ندارد ما از روش های عددی استفاده می کنیم تا جواب مورد نیاز در بازه های مختلف را بدست آوریم. توابعی که در اینجا به عنوان یکی از ابزار اساسی در حل عددی ما مورد استفاده قرار می گیرد توابع B - اسپلاین هستند که پایه های بسیار مناسب برای فضاهای جواب می باشند. در فصل های ۲ تا ۶ معادله برگرز، معادله تلگراف و معادله فورنبرگ - وایتهم با روش ها و B - اسپلاین های متفاوت حل نمودیم. معادله تلگراف یک معادله خطی و معادله برگرز و معادله فورنبرگ - وایتهم ، معادله غیرخطی می باشند.

نتایج حاصله از این فصل ها روی مسائل مختلف، نشان می دهد که به کارگیری روش و پایه های مناسب برای بدست آوردن جواب تقریبی نزدیک به جواب واقعی مسئله، مسئله را ساده تر و خطا را کمتر می کند. همچنین میتوان از مقایسه این روش ها به این نتیجه رسید که روش شبه درونیاب به خاطر اینکه به حل دستگاه های ماتریسی نمی رسیم بسیار مناسب تر از روش های کالوکیشن می باشد. در روش کالوکیشن سعی می شود از B -

اسپلاین های مرتبه پایین تر استفاده شود، چون بعد ماتریس حاصله و خطای نتایج را کمتر می شود علی الخصوص زمانی که سیستم ما غیر خطی باشد و در زمان صرفه جویی می شود.

برای کارهای آتی میتوان از این رو برای مسائلی همچون مسائل کنترل و بهینه سازی استفاده نمود. توصیه ای دیگر برای کارهای آتی برای حل مسائل با مرز آزاد می باشد.

مراجع

- [1] S. J. Farlow, (1982), "Partial Differential Equation for Scientists and Engineers", John Wiley, New York.
- [2] H. Bateman, (1915), "Some recent researches on the motion of the fluids", *Mon. Wea. Rev.*, 43: 163-170.
- [3] JM. Burgers, (1948), "A mathematical model illustrating the theory of turbulence", *Adv. Appl. Mech*, 1: 171-199.
- [4] E. Hopf (1950), "The partial differential equation $U - t + UU_x - vU_{xx} = 0$ ", *Commun. Pure. Appl. Math.*: 3,201-230.
- [5] J. D. Cole, (1951), "On a quasi-linear parabolic equations occurring in aerodynamics," *Quart. Appl. Math.*, 9: 225-236.
- [6] S.G. Rubin and R.A. Graves, (1975), "Viscous flow solutions with a cubic spline approximation", *Comput. Fluids*, 3: 1-36.
- [7] S.G. Rubin and P.K. Khosla, (1976), "Higher-order numerical solutions using cubic splines", *A. I. A. A. J.*, 14: 851-858.
- [8] J. Caldwell, "Applications of cubic splines to the nonlinear Burgers' equation", *Numer. Meth. Nonlinear Prob.*, 3: 253-261.

- [9] P. C. Jain and D. N. Holla, (1978), "Numerical solutions of coupled Burgers' equations", *Int. J. Non-linear Mech.*, 13: 213–222.
- [10] P. C. Jain and B. L. Lohar, (1979), "Cubic spline technique for coupled nonlinear parabolic equations", *Comput. Math. Appl.*, 5: 179–185.
- [11] A. M. Davies, (1977), "A numerical investigation of errors arising in applying the Galerkin method of the solution of nonlinear partial differential equations", *Comput. Meth. Appl. Mech. Eng.*, 11: 341–350.
- [12] A. M. Davies, (1978), "Application of the Galerkin method to the solution of Burgers' equation", *Comput. Meth. Appl. Mech Eng*, 14: 305–321.
- [13] B. Saka, I. Dag, (2007), "Quartic B-spline collocation method to the numerical solutions of the Burgers' equation", *Chaos, Solitons Fractals*, 32: 1125–1137.
- [14] P. M. Prenter, (1975), " **Splines and variational methods**", John Wiley, New York.
- [15] A.H.A. Ali, L.R.T. Gardner and G.A. A Gardner, (1990), " **Galerkin approach to the solution of Burgers' equation** ", University of Wales, Bangor.
- [16] M. A. Ramadan, T. S. El-Danaf and F. Alaal, (2005), "A numerical solution of the Burgers equation using septic B-splines", *Chaos, Solitons Fractals*, 26: 795–804.
- [17] I. Dag, B. Saka and A. Boz, (2005), "B-spline Galerkin methods for numerical solutions of the Burgers' equation", *Appl. Math. Comput.*, 166: 506–522.
- [18] K. Kakuda and N. Tosaka, (1990), "The generalized boundary element approach to Burgers' equation", *Int. J. Numer. Methods Eng*, 29: 245–261.

- [19] DS. Zhang, GW. Wei , DJ. Kouri and DK. Hoffman, (1997), "Burgers' equation with high Reynolds number", *Phys. Fluids*, 9: 1853–1855.
- [20] G.W. Wei, D.S. Zhang, D.J. Kouri and D.K. Hoffman, (1998), "A robust and reliable approach to nonlinear dynamical problems", *Comput. Phys. Commun.*, 111: 87–92.
- [21] S. Kutluay, A.R. Bahadır and A. Ozdes (1999), "Numerical solution of one-dimensional Burgers' equation: explicit and exact-explicit finite difference methods", *J. Comput. Appl. Math.*, 103: 251–261.
- [22] S. Kutluay, A. Esen and I. Dag, (2004), "Numerical solutions of the Burgers' equation by the least squares quadratic B-spline finite element method", *J Comput. Appl. Math.* , 167: 21–33.
- [23] I. Dag, D. Irk and B. Saka, (2005), "A numerical solution of the Burgers' equation using cubic B-splines", *Appl. Math. Comput.*, 163: 199–211.
- [24] H. Nguyen and J. Reynen, (1982), "A space–time finite element approach to Burgers' equation", *Numer. Meth. Non-Linear Prob.*, 2: 718–728.
- [25] L. L. Schumaker, (1981), "**Spline Functions: Basic Theory**", Krieger Publishing Company, Florida.
- [26] J. M. Ahlberg, E. N. Nilson and J. L. Walsh, (1967), "**The Theory of Splines and Their Applications**", Academic Press, NewYork.
- [27] P. M. Prenter, (1975), "**Splines and Variational Methods**", John Wiley, New York.
- [28] G. Micula and S. Micula, (1999), "**Handbook of Splines**", Kluwer Academic Publishers, Dordrecht Netherlands.

- [29] B. Saka and I. D (2009), "Quartic B-spline Galerkin approach to the numerical solution of the KdVB equation", **Appl. Math. Comput.** , 215: 746-758.
- [30] B. Saka and I. Dač, (2007), "Quartic B-spline collocation method to the numerical solutions of the Burgers equation", **Chaos Solitons Fractals** , 32: 1125-1137.
- [31] F. Gao and C. M Chi, (2006), "Solving third-order obstacle problems with quartic B-splines", **Appl. Math. Comput.** , 180: 270-274.
- [32] K. R. Raslan, (2005), "Collocation method using quartic B-spline for the equal width (EW) equation", **Appl. Math. Comput.**, 168: 795-805.
- [33] F. i. Haq, S. u. Islam and I. A. Tirmizi, (2010), "A numerical technique for solution of the MRLW equation using quartic B-splines", **Appl. Math. Modell.**, 34: 4151-4160.
- [34] A. Quarteroni, R. Sacco and F. Saleri,(2007), "**Numerical Mathematics**", second edition, Springer-Verlag, Berlin.
- [35] G. Roussy and J.A. Percy, (1995), "**Foundations and Industrial Applications of Microwaves and Radio Frequency Fields**", John Wiley, New York.
- [36] D. M. Pozar, (1990), "**Microwave Engineering**", Addison-Wesley, New York.
- [37] A. Mohebbi, M. Dehghan, (2008), "High order compact solution of the one-space- dimensional linear hyperbolic equation", **Numer. Meth. P. D. E.**, 24: 1222-1235.
- [38] A. Jeffrey, (2002), "**Advanced Engineering Mathematics**", Academic Press, Harcourt.
- [39] A. Jeffrey, (2002), "**Applied Partial Differential Equations**", Academic Press, New York.

- [40] R. K. Mohanty, (2008), "New unconditionally stable difference schemes for the solution of multi-dimensional telegraphic equations", *Int. J. Comput. Math.*, 86: 2061 - 2071.
- [41] H. Pascal, (1986), "Pressure wave propagation in a fluid flowing through a porous medium and problems related to interpretation of Stoneley's wave attenuation in acoustical well logging", *Int. J. Eng. Sci.*, 24: 1553-1570.
- [42] G. Bohme, (1987), "Non-Newtonian Fluid Mechanics", North-Holland, New York.
- [43] D. J. Evans and H. Bulut, (2003), "The numerical solution of the telegraph equation by the alternating group explicit method", *Int. J. Comput. Math.*, 80: 1289 - 1297.
- [44] P. M. Jordan, M. R. Meyer and A. Puri, (2000), "Causal implications of viscous damping in compressible fluid flows", *Phys. Rev.*, 62: 7918-7926.
- [45] G. Farin, (2001), "Curves and Surfaces for CAGD," fifth ed., Morgan Kaufman, San Francisco.
- [46] P. Sablonniere, (2000), "Quasi-interpolants splines sobre particiones uniformes", First Meeting in Approximation Theory of the University of Jaen, P00-38, Ubeda.
- [47] P. Sablonniere, (2005), "Univariate spline quasi-interpolants and applications to numerical analysis", *Rend. Sem. Mat. Univ. Pol. Torino*, 63: 211-222.
- [48] G.B. Whitham, (1967), "Variational methods and applications to water wave", *Proc. R. Soc. London Ser. A*, 299: 6-25.
- [49] A.M. Wazwaz, (1999), "A reliable modification of Adomian decomposition method", *Appl. Math. Comput.*, 102: 77-86.

-
- [50] J.H. He, (2000), "A coupling method of homotopy technique and perturbation technique for nonlinear problems", *Int. J. Non-Linear Mech.*, 35 (1): 37-43.
- [51] J.H. He, (1997), "Variational iteration method for delay differential equations", *Commun. Nonlinear Sci. Numer. Simul.*, 2 (4): 235-236.

واژه‌نامه فارسی به انگلیسی

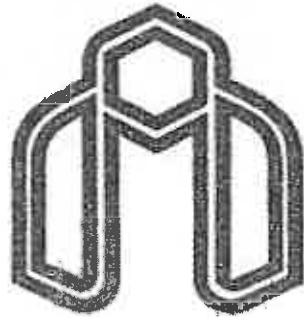
Fluid dynamics	دینامیک سیالات
Quantum	کوانتوم
Newton's law of cooling	قانون تبرید نیوتن
Navier-stokes equation	معادلات ناویه - استوکس
Flux	شار
Current	شدت جریان
Coefficient	ضریب
Recursion	بازگشتی
Numerical Procedure	رویه عددی
Continuity	پیوستگی
Linear independent	مستقل خطی
Norm	نرم
Absolute error	خطای مطلق
Relative error	خطای نسبی
Approximation	تقریب
Minimum	مینیمم
Quasi-inverse	شبه معکوس
Taylor theorem	قضیه تیلور
Differentiable	مشتق پذیر
Linear combination	ترکیب خطی
nonlinear	غیر خطی
Unique solution	جواب یکتا
modified Burgers equation	معادله برگرز اصلاح شده
Uniform	یکنواخت
Univariate	یک متغیره
Partition	افراز
Accuracy	دقت
Signal	سیگنال
Network	شبکه
Ill-condition	بدوضع، نامساعد

Intrgration	انتگرال گیری
Differentiation	مشتق گیری
Wave	موج
Control	کنترل
Optimization	بهینه سازی

Abstract

In this thesis, we solve partial differential equations with initial conditions and boundary conditions using B-spline function. At first, we introduce the partial differential equations and B-spline function. Then the collocation method using quartic B-splines is described for the numerical solutions of the Burgers' equation and we solved the Burgers' equation with septic b-splines and collocation method. In chapter 3 and 4 we use a numerical method based on B-spline function and collocation method to solve second-order linear hyperbolic telegraph equation. In chapter 5, the telegraph equation is solved numerically by cubic B-spline quasi-interpolation. Finally the quartic B-spline collocation scheme is implemented to find numerical solution of the non-linear Fornberg-Whitham equation. At the end of each chapter the efficiency of the mentioned methods are showed by several numerical examples. Note that we have computed the numerical results by Matlab programming.

Keywords: *B-spline, Telegraph equation, Fornberg-Whitham equation, Collocation method, Stability*



Shahrood University of Technology
Faculty of Mathematical Sciences
Department of Mathematics

M.S Thesis

**Solving a class of partial differential equations
using B-spline function**

By:
Marzieh Dosti

Supervisor:
Ph.D. Ahmad Nezakati Rezazadeh
P.hD. Alireza Nazemi

Date
17 Sep 2011